

МИНИСТЕРСТВО НАУКИ И ВЫСШЕГО ОБРАЗОВАНИЯ РОССИЙСКОЙ ФЕДЕРАЦИИ  
ФЕДЕРАЛЬНОЕ ГОСУДАРСТВЕННОЕ БЮДЖЕТНОЕ ОБРАЗОВАТЕЛЬНОЕ УЧРЕЖДЕНИЕ  
ВЫСШЕГО ОБРАЗОВАНИЯ  
«НОВОСИБИРСКИЙ ГОСУДАРСТВЕННЫЙ ТЕХНИЧЕСКИЙ УНИВЕРСИТЕТ»

Кафедра Прикладной математики  
(полное название кафедры)

УТВЕРЖДАЮ

Зав. кафедрой

Соловейчик Ю.Г.  
(фамилия, имя, отчество)

(подпись)

«11» марта 2024 г.

ВЫПУСКНАЯ КВАЛИФИКАЦИОННАЯ РАБОТА БАКАЛАВРА

Янковского Егора Владимовича

(фамилия, имя, отчество студента – автора работы)

*Расчет трехмерного нестационарного поля индукционного источника с  
помощью многоэтапной схемы разделения поля*

(тема работы)

Факультет Прикладной математики и информатики

(полное название факультета)

Направление подготовки 01.03.02. Прикладная математика и информатика

(код и наименование направления подготовки бакалавра)

Руководитель  
от НГТУ

Соловейчик Ю.Г.  
(фамилия, имя, отчество)

д.т.н., профессор  
(ученая степень, ученое звание)

(подпись, дата)

Автор выпускной  
квалификационной работы

Янковский Е.В.  
(фамилия, И.О.)

ФПМИ, ПМ-02  
(факультет, группа)

(подпись, дата)

Новосибирск, 2024 г.

МИНИСТЕРСТВО НАУКИ И ВЫСШЕГО ОБРАЗОВАНИЯ РОССИЙСКОЙ ФЕДЕРАЦИИ  
ФЕДЕРАЛЬНОЕ ГОСУДАРСТВЕННОЕ БЮДЖЕТНОЕ ОБРАЗОВАТЕЛЬНОЕ УЧРЕЖДЕНИЕ  
ВЫСШЕГО ОБРАЗОВАНИЯ  
«НОВОСИБИРСКИЙ ГОСУДАРСТВЕННЫЙ ТЕХНИЧЕСКИЙ УНИВЕРСИТЕТ»

Кафедра Прикладной математики  
(полное название кафедры)

УТВЕРЖДАЮ

Зав. кафедрой Соловейчик Ю.Г.  
(фамилия, имя, отчество)

«11» марта 2024 г.

\_\_\_\_\_  
(подпись)

**ЗАДАНИЕ  
НА ВЫПУСКНУЮ КВАЛИФИКАЦИОННУЮ РАБОТУ БАКАЛАВРА**

студенту Янковскому Егору Вадимовичу  
(фамилия, имя, отчество студента)

Направление подготовки 01.03.02. Прикладная математика и информатика

Факультет Прикладной математики и информатики

Тема Расчет трехмерного нестационарного поля индукционного источника с помощью многоэтапной схемы разделения поля  
.....  
.....

Исходные данные (или цель работы):

Разработка программы для моделирования трёхмерного нестационарного поля индукционного источника с помощью многоэтапной схемы разделения поля.  
\_\_\_\_\_  
\_\_\_\_\_  
\_\_\_\_\_

Структурные части работы:

Изучение теоретических материалов  
Реализация программного модуля для решения осесимметричной задачи  
Реализация программного модуля для решения трехмерной векторной задачи  
Тестирование разработанной программы

Проведение исследования на многоэтапную схему разделения поля

Задание согласовано и принято к исполнению.

**Руководитель  
от НГТУ**

Соловейчик Ю.Г.

(фамилия, имя, отчество)

д.т.н., профессор

(ученая степень, ученое звание)

11.03.2024 г.

(подпись, дата)

**Студент**

Янковский Е.В.

(фамилия, имя, отчество)

ФПМИ, ПМ-02

(факультет, группа)

11.03.2024 г.

(подпись, дата)

Тема утверждена приказом по НГТУ № 1308/2 от «11» марта 2024 г.

ВКР сдана в ГЭК №\_\_\_\_, тема сверена с данными приказа

\_\_\_\_\_  
(подпись секретаря экзаменационной комиссии по защите ВКР, дата)

\_\_\_\_\_  
(фамилия, имя, отчество секретаря экзаменационной комиссии по защите ВКР)

# АННОТАЦИЯ

Отчёт 91 с., 4 ч., 24 рис., 26 табл., 13 источников, 1 прил.

## ЧИСЛЕННОЕ МОДЕЛИРОВАНИЕ ЭЛЕКТРОМАГНИТНОГО ПОЛЯ, МЕТОД КОНЕЧНЫХ ЭЛЕМЕНТОВ, МНОГОЭТАПНАЯ СХЕМА РАЗДЕЛЕНИЯ ПОЛЕЙ

Цель работы: разработка программы для численного моделирования нестационарного электромагнитного поля в трёхмерной среде, создаваемого индукционным источником тока, при помощи многоэтапной схемы разделения полей.

В процессе работы был разработан и протестирован программный модуль численного моделирования электромагнитного поля с помощью многоэтапной схемы разделения полей.

С помощью программы проводилось исследование поведения поля в приповерхностных слоях земной коры с различными значениями удельной электропроводности горизонтально-слоистой среды и аномальных объектов.

# СОДЕРЖАНИЕ

<b>Введение. . . . .</b>	<b>6</b>
<b>1. Постановка задачи . . . . .</b>	<b>9</b>
1.1. Аппарат математического моделирования . . . . .	9
1.2. Описание расчётной области . . . . .	11
<b>2. Теоретическая часть . . . . .</b>	<b>12</b>
2.1. Многоэтапная схема разделения поля . . . . .	12
2.2. Вариационная постановка двумерной задачи . . . . .	12
2.3. Конечноэлементная дискретизация двумерной задачи. . . . .	14
2.4. Построение матриц масс и жёсткости для двумерной задачи . .	15
2.5. Связь компонент электромагнитного поля в декартовой и цилиндрической системе координат . . . . .	20
2.6. Вариационная постановка трёхмерной задачи . . . . .	21
2.7. Конечноэлементная дискретизация трёхмерной задачи . . . . .	21
2.8. Построение матриц масс и жёсткости для трёхмерной задачи .	23
<b>3. Практическая часть. . . . .</b>	<b>25</b>
3.1. Формат входных данных . . . . .	25
3.2. Сборка глобальной матрицы и глобального вектора правой части . . . . .	26
3.3. Учёт краевых условий . . . . .	27
3.4. Решение СЛАУ. . . . .	27
3.5. Определение значения вектор-потенциала и напряжённости электрического поля . . . . .	28
3.6. Тестирование двумерной задачи на полиномах . . . . .	28
3.7. Тестирование трёхмерной задачи на полиномиальных вектор-функциях. . . . .	34

3.8. Проверка полученных результатов. . . . .	43
<b>4. Исследования . . . . .</b>	<b>44</b>
4.1. Описание исследований и расположение приёмников . . . . .	44
4.2. Исследование нормального поля без аномалий . . . . .	45
4.3. Исследование в среде с двумя аномалиями . . . . .	48
4.4. Исследование многоэтапного разделения полей . . . . .	51
4.5. Исследование явления взаимоиндукции . . . . .	54
<b>Заключение . . . . .</b>	<b>58</b>
<b>Список используемых источников. . . . .</b>	<b>59</b>
<b>Приложение 3. Текст программы . . . . .</b>	<b>61</b>

# ВВЕДЕНИЕ

С увеличением потребности в природных ресурсах с конца XIX-ого – начала XX-ого века развивались методы поиска и исследования земных пород и руд. Одним из наиболее распространенных методов является электроразведка. Конкретно в электроразведке сейчас насчитывается свыше пятидесяти различных методов и модификаций, предназначенных как для глубинных исследований, так и для изучения верхней части разреза земной коры. Одним из наиболее распространённым в наши дни является индукционный метод. Его принцип заключается в следующем: под влиянием переменного электрического или магнитного поля в земле за счет феномена магнитной индукции возникает электромагнитное поле. Зная точно параметры источника поля, можно измерять различные электрические и магнитные компоненты индуцированного поля, восстанавливая по ним значения параметров среды.

Помимо возможности нахождения параметров среды, что является обратной задачей по определению, можно изучать и поведение самого индукционного поля. Зная значения силы тока на источнике и физические характеристики верхних слоёв земной коры можно смоделировать электромагнитное поле и изучать характер его поведения в зависимости, например, от количества неоднородностей в земной среде или параметров горизонтально-слоистой среды Земли [1].

Однако на тот момент аналитических методов для моделирования электромагнитных полей в трёхмерном пространстве не существовало. Достаточно быстро решать такие задачи стало возможно лишь с развитием ЭВМ – в 30-х – 70-х годах XX-го века. Использование компьютеров позволило численно моделировать сложные поля, для которых было необходимо преобразовывать их таким образом, чтобы разделить аномалии в зависимости от глубины

расположения источников поля и обособлять такие изменения поля, которые соответствуют аномалиям тел простейших форм [2].

В это же время для решения сложных уравнений в частных производных, описывающих большинство всех физических процессов в природе, были разработаны такие методы как: метод конечных элементов (МКЭ), метод конечных объемов (МКО) и метод конечных разностей (МКР). МКР известен своей простотой в реализации и используется при решении очень большого класса задач математической физики. Однако данный метод имеет ряд существенных недостатков, например, невозможность решения задачи на объектах, имеющих сложную геометрию. Куда более универсальными численными методами решения задач математической физики являются МКО и МКЭ. Оба метода применяются для решения задач аэрогидродинамики, электростатики, упругости и прочности материалов. Данные методы позволяют решать задачи для предметов любой геометрической сложности, а также находить значение искомой функции в любом месте расчетной области без дополнительного применения интерполяции полученного результата. Сегодня есть очень много профессионального коммерческого программного обеспечения для анализа проблем методом конечных элементов или контрольных объёмов, например американская ANSYS или российская Штуцер-МКЭ.

При численном моделировании электромагнитных полей, большее предпочтение отдаётся МКЭ нежели МКО, поскольку при решении задачи методом конечных элементов можно воспользоваться модификацией данного метода - векторным МКЭ. Данная модификация позволяет куда лучше найти решение задачи при наличии, например, разрывности напряженности электрического поля и удельной электрической проводимости среды.

В данной работе будет рассмотрена возможность расчёта нестационарного электромагнитного поля, создаваемого индукционным источником при использовании как скалярного, так и векторного МКЭ, а также с применением многоэтапной технологии разделения полей.



Исследования будем проводить на области размером  $\Omega \in [-55000; 55000]_x \times [-55000; 55000]_y \times [-25000; 25000]_z$ . Данная область включает в себя несколько разных слоев земных пород, имеющих различные удельные значения физических величин. Также рассмотрим процесс добавления нескольких аномальных пород, характерных различным земным рудам.

При написании программы для выпускной квалификационной работы использовались следующие языки программирования: для математических расчётов – C# 12 на платформе .NET 8.0, для визуализации полученных результатов – Python 3.12.2 с пакетами matplotlib версии 3.8.2 и numpy версии 1.26.4.

# 1. ПОСТАНОВКА ЗАДАЧИ

## 1.1. АППАРАТ МАТЕМАТИЧЕСКОГО МОДЕЛИРОВАНИЯ

Математическая модель, описывающая поведение электромагнитного поля в пространстве, известна в наши дни, как система уравнений Максвелла. Она позволяет описывать взаимосвязь сразу нескольких физических величин: напряжённости электрического  $\vec{E}$  и магнитного  $\vec{H}$  полей, а также индукцию магнитного поля  $\vec{B}$ . Большинство вычислительных задач электромагнетизма базируются на дифференциальной форме системы уравнений Максвелла:

$$\operatorname{rot} \vec{H} = \vec{J}^{\text{св}} + \sigma \vec{E} + \frac{\partial (\varepsilon \vec{E})}{\partial t}, \quad (1.1)$$

$$\operatorname{rot} \vec{E} = -\frac{\partial \vec{B}}{\partial t}, \quad (1.2)$$

$$\operatorname{div} \vec{B} = 0, \quad (1.3)$$

$$\operatorname{div} \varepsilon \vec{E} = \rho, \quad (1.4)$$

где  $\vec{J}^{\text{св}}$  – вектор плотностей сторонних токов,  $\sigma$  – удельная электрическая проводимость среды,  $\varepsilon$  – диэлектрическая проницаемость среды, а  $\rho$  – объёмная плотность стороннего электрического заряда.

Основное преимущество использования системы уравнений (1.1) – (1.4) в дифференциальной форме, заключается в возможности учитывать нелинейность, анизотропию и другие нетривиальные аспекты среды [3].

Пусть электромагнитное поле возбуждается индукционным источником. В таком случае, при отсутствии аномальных объектов, будем решать задачу в цилиндрических координатах. Источник поля в таком случае описывается точкой, расположенной на некотором расстоянии, достаточно далёком от границы расчётной области. Тогда при условии однородности среды по магнитной проницаемости и отсутствия токов смещения электромагнитное поле полностью описывается одной компонентой  $A_\varphi = A_\varphi(r, z, t)$  вектор-потенциала  $\vec{\mathbf{A}}$ . Функция  $A_\varphi(r, z, t)$  может быть найдена из решения двумерного уравнения (1.5):

$$-\frac{1}{\mu_0}\Delta A_\varphi + \frac{A_\varphi}{\mu_0 r^2} + \sigma \frac{\partial A_\varphi}{\partial t} = J_\varphi, \quad (1.5)$$

где  $\mu_0 = 4 \cdot \pi \cdot 10^{-7} = 1.25663753 \cdot 10^{-6}$  Гн/м – магнитная постоянная,  $J_\varphi$  - источник стороннего тока, описываемый дельта-функцией, равной 1 в одной из подобласти, описывающей источник поля, и 0 во всех остальных [4]. Удельную электропроводность  $\sigma$  представим в виде кусочно-постоянной функции, описывающей физические характеристики горизонтально-слоистой среды. Потребуем, чтобы на всех границах было главное краевое условие  $A_\varphi(r, z, t)|_s = 0$ . Тогда решение задачи (1.5) с главными однородными условиями на границах будем называть первичным или нормальным полем.

Решением задачи на оценку влияния аномальных объектов в горизонтально-слоистой среде будем называть вторичным (добавочным) полем. Также, как и в (1.5) потребуем на всех границах главное однородное краевое условие  $\vec{\mathbf{A}} \times \vec{\mathbf{n}}|_s = 0$ . Тогда, нестационарный процесс, возникающий после выключения источника тока в круглой обмотке, описывается следствием из уравнения (1.1) [5]:

$$\text{rot} \left( \frac{1}{\mu_o} \text{rot} \vec{A}^+ \right) + \sigma \frac{\partial \vec{A}^+}{\partial t} = (\sigma - \sigma_n) \vec{E}^n, \quad (1.6)$$

где  $\sigma_n$  – значение удельной электрической проводимости среды на нормальном слое,  $\vec{E}^n$  – напряжённость первичного электрического поля,  $\vec{A}^+$  – значение вектор-потенциала на добавочном поле.

## 1.2. ОПИСАНИЕ РАСЧЁТНОЙ ОБЛАСТИ

Пусть у нас имеется расчётная область, геометрически представленная в виде параллелепипеда:  $\Omega \in [-55000, 55000]_x \times [-55000, 55000]_y \times [-25000, 25000]_z$ . Внутри неё имеются слои воздуха, и некоторых пород верхних слоёв земной коры. Тогда половина продольного диагонального среза горизонтально-слоистой среды изображена на рисунке 1.1. Будем её использовать в качестве расчётной области для двумерной задачи. В среде, обозначенной коричневым цветом задано значение  $\sigma_1 = 0.01$  См/м, в бледной  $\sigma_2 = 0.005$  См/м и в зелёной  $\sigma_3 = 0.001$  См/м. Поскольку воздух является диэлектриком, значение удельной электропроводности для него  $\sigma_{\text{возд.}} = 0$  См/м.

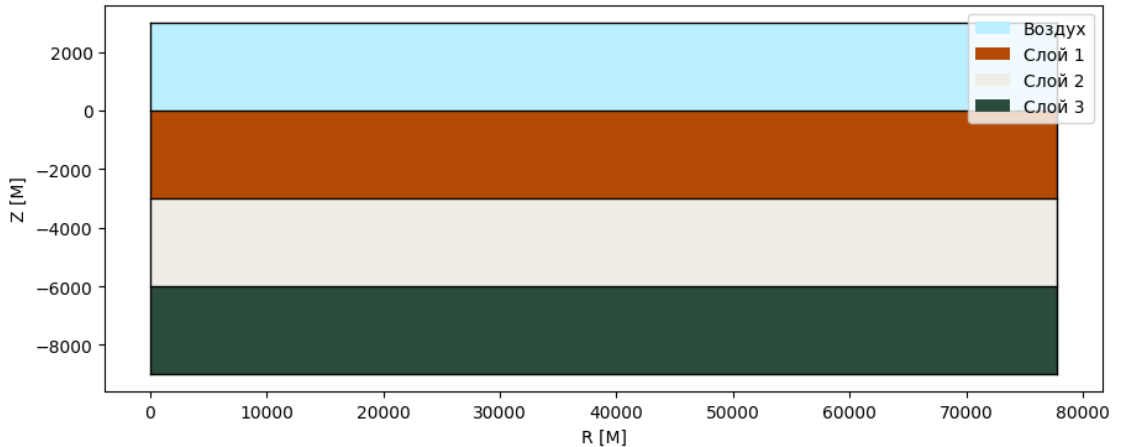


Рисунок 1.1 – Срез горизонтально-слоистой среды

## 2. ТЕОРЕТИЧЕСКАЯ ЧАСТЬ

### 2.1. МНОГОЭТАПНАЯ СХЕМА РАЗДЕЛЕНИЯ ПОЛЯ

Предлагаемый в работе подход к численному моделированию основан на технологии разделения полей, позволяющей существенно сократить вычислительные затраты. В рассматриваемой задаче под неоднородностями (аномалиями) будем понимать трёхмерные геологические объекты, существенно отличные от сопротивления вмещающей горизонтально-слоистой среды [6]. Сначала решение ищется на поле, создаваемом в среде, максимально упрощённой относительно исходной. Её решение, которое может быть меньшей размерности, берётся в качестве основного поля первого уровня. На основе этого поля решается задача на добавочное поле, в которую включается часть неоднородностей исходной задачи, дающих максимальный вклад в искомое решение. Используемая для нахождения этого добавочного поля сетка строится так, чтобы максимально учесть влияние источников, порождённых включёнными в на этом этапе неоднородностями [7].

Далее в качестве основного поля будет учитываться сумма основного и добавочного на предыдущем этапе выделения. Новое добавочное поле будет формироваться из учёта следующих по влиянию на решение исходной задачи. Процесс можно продолжать до тех пор, пока не будут учтены все неоднородности среды.

### 2.2. ВАРИАЦИОННАЯ ПОСТАНОВКА ДВУМЕРНОЙ ЗАДАЧИ

Перед тем, как приступить к решению задачи на нормальное поле, необходимо перевести уравнение (1.5) в вариационную форму. В основе исполь-

зования МКЭ лежит вариационная постановка, в которой решение краевой задачи заменяется минимизацией функционала невязки. Областью определения этого функционала обычно является Гильбертово пространство функций  $H^m$ , содержащее в качестве одного из своих элементов решение данной краевой задачи. Потребуем, чтобы невязка  $R(A_\varphi) = -\frac{1}{\mu_0}\Delta A_\varphi + \frac{A_\varphi}{\mu_0 r^2} + \sigma \frac{\partial A_\varphi}{\partial t} - J_\varphi$  дифференциального уравнения (1.5) была ортогональна в смысле скалярного произведения пространства  $L^2(\Omega) \equiv H_0$  некоторому пространству  $\Phi$  функций  $v$ , которое называется пространством пробных функций, т.е.:

$$\int_{\Omega} \left( -\frac{1}{\mu_0}\Delta A_\varphi + \frac{A_\varphi}{\mu_0 r^2} + \sigma \frac{\partial A_\varphi}{\partial t} - J_\varphi \right) v d\Omega = 0, \quad (2.1)$$

$$\int_{\Omega} \left( -\frac{1}{\mu_0}\Delta A_\varphi + \frac{A_\varphi}{\mu_0 r^2} + \sigma \frac{\partial A_\varphi}{\partial t} \right) v d\Omega = \int_{\Omega} J_\varphi v d\Omega. \quad (2.2)$$

Используя формулу Грина, получим:

$$\begin{aligned} \int_{\Omega} \frac{1}{\mu_0} \text{grad} A_\varphi \cdot \text{grad} v d\Omega - \int_S \frac{1}{\mu_0} \frac{\partial A_\varphi}{\partial n} v dS + \int_{\Omega} \frac{A_\varphi}{\mu_0 r^2} d\Omega + \\ + \int_{\Omega} \sigma \frac{\partial A_\varphi}{\partial t} v d\Omega = \int_{\Omega} J_\varphi v d\Omega. \end{aligned} \quad (2.3)$$

Так как пространство пробных функций  $H_0^1$  имеет след 0, то слагаемое  $\int_S \frac{1}{\mu_0} \frac{\partial A_\varphi}{\partial n} v dS$  не оказывает никакого вклада в (2.3). Таким образом для (1.5) получим уравнение в слабой форме:

$$\int_{\Omega} \frac{1}{\mu_0} \text{grad} A_\varphi \cdot \text{grad} v d\Omega + \int_{\Omega} \frac{A_\varphi}{\mu_0 r^2} v d\Omega + \int_{\Omega} \sigma \frac{\partial A_\varphi}{\partial t} v d\Omega = \int_{\Omega} J_\varphi v d\Omega. \quad (2.4)$$

## 2.3. КОНЕЧНОЭЛЕМЕНТНАЯ ДИСКРЕТИЗАЦИЯ ДВУМЕРНОЙ ЗАДАЧИ

Сетку для решения задачи будем строить используя прямоугольные элементы. При использовании многоэтапной схемы разделения поля для первичного слоя допускается, что сетка может быть равномерной, не сгущающейся к неоднородностям среды. Поэтому рассмотрим сетку на 26878 узлов, имеющей 302 узла по оси  $r$  и 89 узлов по оси  $z$ .

Для решения задачи будем использовать билинейные базисные функции, задаваемые линейными функциями на  $\Omega_{ps} = [r_p, r_{p+1}] \times [z_s, z_{s+1}]$  следующего вида:

$$\left\{ \begin{array}{l} \hat{\psi}_1(r, z) = R_1(r)Z_1(z), \\ \hat{\psi}_2(r, z) = R_2(r)Z_1(z), \\ \hat{\psi}_3(r, z) = R_1(r)Z_2(z), \\ \hat{\psi}_4(r, z) = R_2(r)Z_2(z). \end{array} \right. \quad (2.5)$$

где:

$$\left\{ \begin{array}{l} R_1(r) = \frac{r_{p+1}-r}{r_{p+1}-r_p}, \\ R_2(r) = \frac{r-r_p}{r_{p+1}-r_p}, \\ Z_1(z) = \frac{z_{p+1}-z}{z_{p+1}-z_p}, \\ Z_2(z) = \frac{z-z_p}{z_{p+1}-z_p}. \end{array} \right. \quad (2.6)$$

## 2.4. ПОСТРОЕНИЕ МАТРИЦ МАСС И ЖЁСТКОСТИ ДЛЯ ДВУМЕРНОЙ ЗАДАЧИ

Будем считать, что функции  $A_\varphi$  и  $v$  в вариационном уравнении (2.4) являются компонентами конечноэлементного функционального пространства, натянутого на базисные функции  $\hat{\psi}_j$ , где  $j = \overline{1, n}$ , т.е.

$$\begin{cases} A_\varphi = \sum_{j=1}^n q_j^{A_\varphi} \hat{\psi}_j, \\ v = \sum_{j=1}^n q_j^v \hat{\psi}_j, \end{cases} \quad (2.7)$$

где  $q_j^{A_\varphi}$  – веса в разложении функции  $u$  по базисным функциями  $\hat{\psi}_j$ , а  $q_j^v$  – веса в разложении функции  $v$  по тем же базисным функциями  $\hat{\psi}_j$ . Нетрудно убедиться, что с учётом разложения (2.7) вариационное уравнение (2.4) эквивалентно системе уравнений

$$\begin{aligned} \sum_{j=1}^n \left( \int_{\Omega} -\frac{1}{\mu_0} \text{grad} \hat{\psi}_i \cdot \text{grad} \hat{\psi}_j d\Omega + \int_{\Omega} \frac{\hat{\psi}_i \hat{\psi}_j}{\mu_0 r^2} d\Omega \right) + \\ + \sum_{j=1}^n \int_{\Omega} \sigma \frac{\partial \hat{\psi}_i}{\partial t} \hat{\psi}_j d\Omega \cdot q_j^u = \int_{\Omega} J_\varphi \hat{\psi}_i d\Omega. \end{aligned} \quad (2.8)$$

Так как задача решается в цилиндрических координатах, то в уравнении (2.8)  $d\Omega = r dr dz$ , где  $r$  – якобиан перехода от декартовых к цилиндрическим координатам.

$$\begin{aligned} \sum_{j=1}^n \left( \int_r \int_z r \frac{1}{\mu_0} \text{grad} \hat{\psi}_i \cdot \text{grad} \hat{\psi}_j dr dz + \int_r \int_z r \frac{\hat{\psi}_i \hat{\psi}_j}{\mu_0 r^2} dr dz \right) \cdot q_j^u + \\ + \sum_{j=1}^n \int_r \int_z r \sigma \frac{\partial \hat{\psi}_i}{\partial t} \hat{\psi}_j dr dz \cdot q_j^u = \int_r \int_z r J_\varphi \hat{\psi}_i dr dz. \end{aligned} \quad (2.9)$$



Рассмотрим аппроксимацию по пространству  $(r, z)$  в уравнении (2.9) для произвольных  $i$  и  $j$

$$\begin{aligned} & \left( \int_r \int_z r \frac{1}{\mu_0} \text{grad} \hat{\psi}_i \cdot \text{grad} \hat{\psi}_j dr dz + \int_r \int_z r \frac{\hat{\psi}_i}{\mu_0 r^2} \hat{\psi}_j dr dz \right) \cdot q_j^u = \\ & = \int_r \int_z r J_\varphi \hat{\psi}_i dr dz. \end{aligned} \quad (2.10)$$

Пусть  $\hat{\psi}_i = R_i(r) \cdot Z_i(z)$ , а  $\hat{\psi}_j = R_j(r) \cdot Z_j(z)$ , тогда

$$\begin{aligned} & \left( \int_r \int_z r \frac{1}{\mu_0} \text{grad}(R_i Z_i) \cdot \text{grad}(R_j Z_j) dr dz + \int_r \int_z r \frac{R_i Z_i}{\mu_0 r^2} R_j Z_j dr dz \right) \cdot q_j^u = \\ & = \int_r \int_z r J_\varphi R_i Z_i dr dz. \end{aligned} \quad (2.11)$$

Преобразовав (2.11) получим следующее

$$\begin{aligned} & \left( \frac{1}{\mu_0} \left( \int_r r \frac{dR_i}{dr} \frac{dR_j}{dr} dr \cdot \int_z Z_i Z_j dz + \int_r r R_i R_j dr \cdot \int_z \frac{dZ_i}{dz} \frac{dZ_j}{dz} dz \right) \right) q_j^u + \\ & + \left( \frac{1}{\mu_0} \int_r \frac{1}{r} R_i R_j dr \int_z Z_i Z_j dz \right) q_j^u = \int_r \int_z r J_\varphi R_i Z_i dr dz. \end{aligned} \quad (2.12)$$

Получим локальные матрицы масс  $\hat{\mathbf{M}}$  и жёсткости  $\hat{\mathbf{G}}$ , а также локальный вектор правой части  $\hat{\mathbf{b}}$ . Поскольку на одном элементе для аппроксимации билинейными базисными функциями необходимо 4 узла, то локальные матрицы будут иметь размерность  $4 \times 4$ , а векторы  $4 \times 1$ . Заметим, что каждый интеграл в уравнении (2.12) является компонентой интеграла, лежащего в основе построения локальных матриц масс и жёсткости для одномерных задач (2.13) – (2.17).

$$\hat{\mathbf{G}}_r^{1D} = \frac{r_k + \frac{h_k}{2}}{h_k} \begin{pmatrix} 1 & -1 \\ -1 & 1 \end{pmatrix}, \quad (2.13)$$

$$\hat{\mathbf{M}}_r^{1D} = \frac{\hat{\gamma} h_k}{6} \left( r_k \begin{pmatrix} 2 & 1 \\ 1 & 2 \end{pmatrix} + \frac{h_k}{2} \begin{pmatrix} 1 & 1 \\ 1 & 3 \end{pmatrix} \right), \quad (2.14)$$

$$\begin{aligned} \hat{\mathbf{M}}_{rr}^{1D} = \ln \left( 1 + \frac{1}{d} \right) & \begin{pmatrix} (1+d)^2 & -d(1+d) \\ -d(1+d) & d^2 \end{pmatrix} - d \begin{pmatrix} 1 & -1 \\ -1 & 1 \end{pmatrix} + \\ & + \frac{1}{2} \begin{pmatrix} -3 & 1 \\ 1 & 1 \end{pmatrix}, \end{aligned} \quad (2.15)$$

где  $d = \frac{r_k}{h_k}$ .

$$\hat{\mathbf{G}}_z^{1D} = \frac{\hat{\lambda}}{h_k} \begin{pmatrix} 1 & -1 \\ -1 & 1 \end{pmatrix}, \quad (2.16)$$

$$\hat{\mathbf{M}}_z^{1D} = \frac{\hat{\gamma} h_k}{6} \begin{pmatrix} 2 & 1 \\ 1 & 2 \end{pmatrix}. \quad (2.17)$$

Тогда элементы верхнего треугольника матрицы жесткости для двумерных задач, можем представить в виде:

$$\begin{aligned} \hat{\mathbf{G}}_{11} &= \left( \hat{\mathbf{G}}_{r11}^{1D} \hat{\mathbf{M}}_{z11}^{1D} + \hat{\mathbf{M}}_{r11}^{1D} \hat{\mathbf{G}}_{z11}^{1D} \right), & \hat{\mathbf{G}}_{12} &= \left( \hat{\mathbf{G}}_{r12}^{1D} \hat{\mathbf{M}}_{z11}^{1D} + \hat{\mathbf{M}}_{r12}^{1D} \hat{\mathbf{G}}_{z11}^{1D} \right), \\ \hat{\mathbf{G}}_{13} &= \left( \hat{\mathbf{G}}_{r11}^{1D} \hat{\mathbf{M}}_{z12}^{1D} + \hat{\mathbf{M}}_{r11}^{1D} \hat{\mathbf{G}}_{z12}^{1D} \right), & \hat{\mathbf{G}}_{14} &= \left( \hat{\mathbf{G}}_{r12}^{1D} \hat{\mathbf{M}}_{z12}^{1D} + \hat{\mathbf{M}}_{r12}^{1D} \hat{\mathbf{G}}_{z12}^{1D} \right), \\ \hat{\mathbf{G}}_{22} &= \left( \hat{\mathbf{G}}_{r22}^{1D} \hat{\mathbf{M}}_{z11}^{1D} + \hat{\mathbf{M}}_{r22}^{1D} \hat{\mathbf{G}}_{z11}^{1D} \right), & \hat{\mathbf{G}}_{23} &= \left( \hat{\mathbf{G}}_{r21}^{1D} \hat{\mathbf{M}}_{z12}^{1D} + \hat{\mathbf{M}}_{r21}^{1D} \hat{\mathbf{G}}_{z12}^{1D} \right), \\ \hat{\mathbf{G}}_{24} &= \left( \hat{\mathbf{G}}_{r22}^{1D} \hat{\mathbf{M}}_{z12}^{1D} + \hat{\mathbf{M}}_{r22}^{1D} \hat{\mathbf{G}}_{z12}^{1D} \right), & \hat{\mathbf{G}}_{33} &= \left( \hat{\mathbf{G}}_{r11}^{1D} \hat{\mathbf{M}}_{z22}^{1D} + \hat{\mathbf{M}}_{r11}^{1D} \hat{\mathbf{G}}_{z22}^{1D} \right), \\ \hat{\mathbf{G}}_{34} &= \left( \hat{\mathbf{G}}_{r12}^{1D} \hat{\mathbf{M}}_{z22}^{1D} + \hat{\mathbf{M}}_{r12}^{1D} \hat{\mathbf{G}}_{z22}^{1D} \right), & \hat{\mathbf{G}}_{44} &= \left( \hat{\mathbf{G}}_{r22}^{1D} \hat{\mathbf{M}}_{z22}^{1D} + \hat{\mathbf{M}}_{r22}^{1D} \hat{\mathbf{G}}_{z22}^{1D} \right). \end{aligned}$$

Верхний треугольник элементов матрицы масс, для слагаемого с коэффициентом  $\frac{1}{r^2}$  может быть представлен в виде:

$$\begin{aligned}\hat{\mathbf{M}}_{11} &= \hat{\mathbf{M}}_{rr11}^{1D} \hat{\mathbf{M}}_{z11}^{1D}, & \hat{\mathbf{M}}_{12} &= \hat{\mathbf{M}}_{rr12}^{1D} \hat{\mathbf{M}}_{z11}^{1D}, \\ \hat{\mathbf{M}}_{13} &= \hat{\mathbf{M}}_{rr11}^{1D} \hat{\mathbf{M}}_{z12}^{1D}, & \hat{\mathbf{M}}_{14} &= \hat{\mathbf{M}}_{rr12}^{1D} \hat{\mathbf{M}}_{z12}^{1D}, \\ \hat{\mathbf{M}}_{22} &= \hat{\mathbf{M}}_{rr22}^{1D} \hat{\mathbf{M}}_{z11}^{1D}, & \hat{\mathbf{M}}_{23} &= \hat{\mathbf{M}}_{rr21}^{1D} \hat{\mathbf{M}}_{z12}^{1D}, \\ \hat{\mathbf{M}}_{24} &= \hat{\mathbf{M}}_{rr22}^{1D} \hat{\mathbf{M}}_{z12}^{1D}, & \hat{\mathbf{M}}_{33} &= \hat{\mathbf{M}}_{rr11}^{1D} \hat{\mathbf{M}}_{z22}^{1D}, \\ \hat{\mathbf{M}}_{34} &= \hat{\mathbf{M}}_{rr12}^{1D} \hat{\mathbf{M}}_{z22}^{1D}, & \hat{\mathbf{M}}_{44} &= \hat{\mathbf{M}}_{rr22}^{1D} \hat{\mathbf{M}}_{z22}^{1D}.\end{aligned}$$

Верхние треугольники элементов матрицы масс, для слагаемых с коэффициентом  $\sigma$  могут быть представлены в виде:

$$\begin{aligned}\hat{\mathbf{C}}_{11} &= \hat{\mathbf{M}}_{r11}^{1D} \hat{\mathbf{M}}_{z11}^{1D}, & \hat{\mathbf{C}}_{12} &= \hat{\mathbf{M}}_{r12}^{1D} \hat{\mathbf{M}}_{z11}^{1D}, \\ \hat{\mathbf{C}}_{13} &= \hat{\mathbf{M}}_{r11}^{1D} \hat{\mathbf{M}}_{z12}^{1D}, & \hat{\mathbf{C}}_{14} &= \hat{\mathbf{M}}_{r12}^{1D} \hat{\mathbf{M}}_{z12}^{1D}, \\ \hat{\mathbf{C}}_{22} &= \hat{\mathbf{M}}_{r22}^{1D} \hat{\mathbf{M}}_{z11}^{1D}, & \hat{\mathbf{C}}_{23} &= \hat{\mathbf{M}}_{r21}^{1D} \hat{\mathbf{M}}_{z12}^{1D}, \\ \hat{\mathbf{C}}_{24} &= \hat{\mathbf{M}}_{r22}^{1D} \hat{\mathbf{M}}_{z12}^{1D}, & \hat{\mathbf{C}}_{33} &= \hat{\mathbf{M}}_{r11}^{1D} \hat{\mathbf{M}}_{z22}^{1D}, \\ \hat{\mathbf{C}}_{34} &= \hat{\mathbf{M}}_{r12}^{1D} \hat{\mathbf{M}}_{z22}^{1D}, & \hat{\mathbf{C}}_{44} &= \hat{\mathbf{M}}_{r22}^{1D} \hat{\mathbf{M}}_{z22}^{1D}.\end{aligned}$$

Так как мы имеем сосредоточенный в точке источник  $J_\varphi$ , то получим следующее:

$$\int_{\Omega} J_\phi \delta d\Omega = \begin{cases} 1, p \in \Omega_\epsilon \\ 0, p \notin \Omega_\epsilon \end{cases} \quad (2.18)$$

Преобразуем теперь нестационарную составляющую в уравнении (2.4) в матричную форму. Для аппроксимации задачи по времени будем использовать трёхслойную неявную схему. Тогда искомое решение  $A_\varphi$  на интервале  $(t_{j-2}, t_j)$  представим в следующем виде:

$$A_\varphi(r, z, t) \approx A_\varphi^{j-2}(r, z) \eta_2(t)^j + A_\varphi^{j-1}(r, z) \eta_1(t)^j + A_\varphi^j(r, z) \eta_0(t)^j, \quad (2.19)$$

где  $\eta_2(t)^j$ ,  $\eta_1(t)^j$ ,  $\eta_0(t)^j$  – базисные квадратичные полиномы Лагранжа, которые записываются в виде (2.20).

$$\begin{cases} \eta_2(t)^j = \frac{(t-t_{j-1})(t-t_j)}{(t_{j-1}-t_{j-2})(t_j-t_{j-2})}, \\ \eta_1(t)^j = -\frac{(t-t_{j-2})(t-t_j)}{(t_{j-1}-t_{j-2})(t_j-t_{j-1})}, \\ \eta_0(t)^j = \frac{(t-t_{j-2})(t-t_{j-1})}{(t_j-t_{j-2})(t_j-t_{j-1})}. \end{cases} \quad (2.20)$$

Подставим выражение (2.19) в нестационарное слагаемое уравнения (2.4) на временном слое  $t = t_j$ :

$$\begin{aligned} \frac{\partial}{\partial t} \left( A_\varphi^{j-2}(r, z) \eta_2^j(t) + A_\varphi^{j-1}(r, z) \eta_1^j(t) + A_\varphi^j(r, z) \eta_0^j(t) \right) \Big|_{t=t_j} = \\ = \tau_2 A_\varphi^{j-2}(r, z) + \tau_1 A_\varphi^{j-1}(r, z) + \tau_0 A_\varphi^j(r, z), \end{aligned} \quad (2.21)$$

где

$$\begin{cases} \tau_2 = \frac{\partial \eta_2^j(t)}{\partial t} \Big|_{t=t_j} = \frac{t_j - t_{j-1}}{(t_{j-1} - t_{j-2})(t_j - t_{j-2})}, \\ \tau_1 = \frac{\partial \eta_1^j(t)}{\partial t} \Big|_{t=t_j} = -\frac{t_j - t_{j-2}}{(t_{j-1} - t_{j-2})(t_j - t_{j-1})}, \\ \tau_0 = \frac{\partial \eta_0^j(t)}{\partial t} \Big|_{t=t_j} = \frac{(t_j - t_{j-2}) + (t_j - t_{j-1})}{(t_j - t_{j-2})(t_j - t_{j-1})}. \end{cases} \quad (2.22)$$

Выполняя конечноэлементную аппроксимацию краевой задачи для уравнения (2.4), получим СЛАУ следующего вида:

$$(\tau_0 \mathbf{C} + \mathbf{G} + \mathbf{M}) \mathbf{q}^j = \mathbf{b} - \tau_2 \mathbf{C} \mathbf{q}^{j-2} + \tau_1 \mathbf{C} \mathbf{q}^{j-1}. \quad (2.23)$$

## 2.5. СВЯЗЬ КОМПОНЕНТ ЭЛЕКТРОМАГНИТНОГО ПОЛЯ В ДЕКАРТОВОЙ И ЦИЛИНДРИЧЕСКОЙ СИСТЕМЕ КООРДИНАТ

Как мы уже выяснили, решение задачи в  $(r, z)$  координатах можно использовать в качестве нормального поля. Перед тем, как перейти к трёхмерной постановке задачи, найдем значение  $E_\varphi^0$ , через следующее преобразование:

$$E_\varphi^0(r, z, t) = -\frac{\partial A_\varphi^0(r, z, t)}{\partial t}. \quad (2.24)$$

Для перевода полученных результатов в трёхмерную задачу нужно перевести полученные значения вектора-потенциала  $A_\varphi^0$  и напряженности электрического поля  $E_\varphi^0$  из цилиндрической в декартову систему координат. По формулам преобразования векторов (2.25) – (2.26) найдем составляющие компоненты базисных вектор-функций уже для трёхмерной постановки задачи.

$$\left\{ \begin{array}{l} E_x^0(x, y, z, t) = -E_\varphi^0(\sqrt{x^2 + y^2}, z, t) \frac{y}{\sqrt{x^2 + y^2}}, \\ E_y^0(x, y, z, t) = E_\varphi^0(\sqrt{x^2 + y^2}, z, t) \frac{x}{\sqrt{x^2 + y^2}}, \\ E_z^0(x, y, z, t) = 0. \end{array} \right. \quad (2.25)$$

$$\left\{ \begin{array}{l} A_x^0(x, y, z, t) = -A_\varphi^0(\sqrt{x^2 + y^2}, z, t) \frac{y}{\sqrt{x^2 + y^2}}, \\ A_y^0(x, y, z, t) = A_\varphi^0(\sqrt{x^2 + y^2}, z, t) \frac{x}{\sqrt{x^2 + y^2}}, \\ A_z^0(x, y, z, t) = 0. \end{array} \right. \quad (2.26)$$

## 2.6. ВАРИАЦИОННАЯ ПОСТАНОВКА ТРЕХМЕРНОЙ ЗАДАЧИ

Принцип построения вариационного уравнения для трёхмерной задачи в целом похож на принцип построения вариационного уравнения для двумерной задачи [8], поэтому сразу получим слабую форму для (1.6): домножим обе части на пробную вектор-функцию  $\vec{\Psi}$  и проинтегрируем по всей области  $\Omega$ .

$$\int_{\Omega} \frac{1}{\mu_0} \text{rot} \left( \text{rot} \vec{A}^+ \right) \vec{\Psi} d\Omega + \int_{\Omega} \sigma \frac{\partial \vec{A}^+}{\partial t} \vec{\Psi} d\Omega = \int_{\Omega} (\sigma - \sigma_n) \vec{E}^n \vec{\Psi} d\Omega. \quad (2.27)$$

Применяя формулу Грина и учитывая главные краевые условия для (1.6), в итоге получим:

$$\int_{\Omega} \frac{1}{\mu_0} \text{rot} \vec{A}^+ \text{rot} \vec{\Psi} d\Omega + \int_{\Omega} \sigma \frac{\partial \vec{A}^+}{\partial t} \vec{\Psi} d\Omega = \int_{\Omega} (\sigma - \sigma_n) \vec{E}^n \vec{\Psi} d\Omega. \quad (2.28)$$

## 2.7. КОНЕЧНОЭЛЕМЕНТНАЯ ДИСКРЕТИЗАЦИЯ ТРЕХМЕРНОЙ ЗАДАЧИ

Сетку для решения задач на добавочное поле будем строить с помощью прямоугольных параллелепипедов. Будем сгущать сетку к аномальным элементам в расчётной области, чтобы не создавать лишних вычислительных затрат.

Для решения задачи будем использовать билинейные базисные вектор-функции, которые задаются на параллелепипеде  $\Omega_{rsp} = [x_p, x_{p+1}] \times [y_s, y_{s+1}] \times [z_p, z_{p+1}]$  следующим образом:

$$\vec{\psi}_1 = \begin{pmatrix} Y_1 \cdot Z_1 \\ 0 \\ 0 \end{pmatrix}, \quad \vec{\psi}_2 = \begin{pmatrix} Y_2 \cdot Z_1 \\ 0 \\ 0 \end{pmatrix}, \quad \vec{\psi}_3 = \begin{pmatrix} Y_1 \cdot Z_2 \\ 0 \\ 0 \end{pmatrix},$$

$$\vec{\psi}_4 = \begin{pmatrix} Y_2 \cdot Z_2 \\ 0 \\ 0 \end{pmatrix}, \quad \vec{\psi}_5 = \begin{pmatrix} 0 \\ X_1 \cdot Z_1 \\ 0 \end{pmatrix}, \quad \vec{\psi}_6 = \begin{pmatrix} 0 \\ X_2 \cdot Z_1 \\ 0 \end{pmatrix},$$

$$\vec{\psi}_7 = \begin{pmatrix} 0 \\ X_1 \cdot Z_2 \\ 0 \end{pmatrix}, \quad \vec{\psi}_8 = \begin{pmatrix} 0 \\ X_2 \cdot Z_2 \\ 0 \end{pmatrix}, \quad \vec{\psi}_9 = \begin{pmatrix} 0 \\ 0 \\ X_1 \cdot Y_1 \end{pmatrix},$$

$$\vec{\psi}_{10} = \begin{pmatrix} 0 \\ 0 \\ X_2 \cdot Y_1 \end{pmatrix}, \quad \vec{\psi}_{11} = \begin{pmatrix} 0 \\ 0 \\ X_1 \cdot Y_2 \end{pmatrix}, \quad \vec{\psi}_{12} = \begin{pmatrix} 0 \\ 0 \\ X_2 \cdot Y_2 \end{pmatrix},$$

где

$$X_1(x) = \frac{x_{r+1} - x}{x_{r+1} - x_r}, \quad X_2(x) = \frac{x - x_r}{x_{r+1} - x_r},$$

$$Y_1(y) = \frac{y_{s+1} - y}{y_{s+1} - y_s}, \quad Y_2(y) = \frac{y - y_s}{y_{s+1} - y_s},$$

$$Z_1(z) = \frac{z_{p+1} - z}{z_{p+1} - z_p}, \quad Z_2(z) = \frac{z - z_p}{z_{p+1} - z_p}.$$

## 2.8. ПОСТРОЕНИЕ МАТРИЦ МАСС И ЖЁСТКОСТИ ДЛЯ ТРЁХМЕРНОЙ ЗАДАЧИ

Формулы для вычисления глобальных матриц жёсткости  $\mathbf{G}$  и масс  $\mathbf{M}$  конечноэлементной СЛАУ имеют вид:

$$\hat{\mathbf{G}}_{ij} = \int_{\Omega} \frac{1}{\mu_0} \text{rot} \vec{\Psi}_i \cdot \text{rot} \vec{\Psi}_j d\Omega, \quad \hat{\mathbf{M}}_{ij} = \int_{\Omega} \sigma \vec{\Psi}_i \cdot \vec{\Psi}_j d\Omega.$$

Компоненты глобального вектора  $\mathbf{b}$  конечноэлементной СЛАУ определяются соотношением:

$$\mathbf{b}_i = \int_{\Omega} \vec{\mathbf{F}} \cdot \vec{\Psi}_i d\Omega.$$

Локальная матрица жёсткости  $\hat{\mathbf{G}}$  на параллелепипеде при  $\bar{\mu} = \text{const}$  принимает вид:

$$\hat{\mathbf{G}} = \frac{1}{\bar{\mu}} \begin{pmatrix} \frac{h_x h_y}{6 h_z} \mathbf{G}_1 + \frac{h_x h_z}{6 h_y} \mathbf{G}_2 & -\frac{h_z}{6} \mathbf{G}_2 & \frac{h_y}{6} \mathbf{G}_3 \\ -\frac{h_z}{6} \mathbf{G}_2 & \frac{h_x h_y}{6 h_z} \mathbf{G}_1 + \frac{h_y h_z}{6 h_x} \mathbf{G}_2 & -\frac{h_x}{6} \mathbf{G}_1 \\ \frac{h_y}{6} \mathbf{G}_3^T & -\frac{h_x}{6} \mathbf{G}_1 & \frac{h_x h_z}{6 h_y} \mathbf{G}_1 + \frac{h_y h_z}{6 h_x} \mathbf{G}_2 \end{pmatrix},$$

где

$$\mathbf{G}_1 = \begin{pmatrix} 2 & 1 & -2 & -1 \\ 1 & 2 & -1 & -2 \\ -2 & -1 & 2 & 1 \\ -1 & -2 & 1 & 2 \end{pmatrix}, \quad \mathbf{G}_2 = \begin{pmatrix} 2 & -2 & 1 & -1 \\ -2 & 2 & -1 & 2 \\ 1 & -1 & 2 & -2 \\ -1 & 1 & -2 & 2 \end{pmatrix},$$



$$\mathbf{G}_3 = \begin{pmatrix} -2 & 2 & -1 & 1 \\ -1 & 1 & -2 & 2 \\ 2 & -2 & 1 & -1 \\ 1 & -1 & 2 & -2 \end{pmatrix}.$$

Матрицу  $\hat{\mathbf{M}}$  можно представить в виде:

$$\mathbf{M} = \begin{pmatrix} \mathbf{D} & \mathbf{O} & \mathbf{O} \\ \mathbf{O} & \mathbf{D} & \mathbf{O} \\ \mathbf{O} & \mathbf{O} & \mathbf{D} \end{pmatrix},$$

где  $\mathbf{O}$  - матрица  $4 \times 4$ , состоящая из нулей подматрица, а  $\mathbf{D}$  определяется следующим образом:

$$\mathbf{D} = \begin{pmatrix} 4 & 2 & 2 & 1 \\ 2 & 4 & 1 & 2 \\ 2 & 1 & 4 & 2 \\ 1 & 2 & 2 & 4 \end{pmatrix}.$$

Локальный вектор правой части определяется в виде:

$$\hat{\mathbf{b}}_i = \hat{\mathbf{M}} \cdot \hat{\mathbf{f}}_i, \quad (2.29)$$

где  $\hat{\mathbf{f}}_i = \vec{\mathbf{F}}(\hat{x}_c, \hat{y}_c, \hat{z}_c) \cdot \vec{\mathbf{v}}/l$ , для которого  $\hat{x}_c, \hat{y}_c, \hat{z}_c$  - координаты центра ребра,  $\vec{\mathbf{v}}$  - вектор, направленный вдоль ребра  $\Gamma$  и сонаправленный с базисной вектор-функцией  $\vec{\Psi}_i$ ,  $l$  - длина вектора  $\vec{\mathbf{F}}$ .

Применяя трехслойную неявную схему аппроксимации по времени, получим итоговое СЛАУ для вариационного уравнения (2.28):

$$(\mathbf{G} + \tau_0 \mathbf{M}^\sigma) \mathbf{q} = \mathbf{M}^{\sigma - \sigma_n} \cdot \mathbf{E} + \tau_1 \mathbf{M}^\sigma \mathbf{q}^{\leftarrow 1} - \tau_2 \mathbf{M}^\sigma \mathbf{q}^{\leftarrow 2}. \quad (2.30)$$

## 3. ПРАКТИЧЕСКАЯ ЧАСТЬ

### 3.1. ФОРМАТ ВХОДНЫХ ДАННЫХ

Входные данные содержатся в папке "Data/Input/". Файл "WholeMesh.txt" содержит данные о трёхмерной сетке, из которой автоматически строится сетка для решения двумерной задачи на нормальном поле. В файле содержится информация о границах расчётной области по  $x$ ,  $y$ ,  $z$ , количество необходимых разбиений для каждой оси, коэффициенты разрядки, количество областей с разными значениями удельной электропроводности и информация о границах расчётной области. Полностью формат изображен на рисунке 3.1.

```
1  [x0] ... [xn]
2  [n_x_0] [k_x_0] ... [n_x_n-1] [k_x_n-1]
3  [y0] ... [ym]
4  [n_y_0] [k_y_0] ... [n_y_m-1] [k_y_m-1]
5  [z0] ... [zk]
6  [n_z_0] [k_z_0] ... [n_z_k-1] [k_z_k-1]
7  [r0] ... [rl]
8  [n_r_0] [k_r_0] ... [n_r_l-1] [k_r_l-1]
9  [radius_of_the_induction_current_source]
10 [areas_amount]
11 [area_num_i] [x0_i] [x1_i] [y0_i] [y1_i] [z0_i] [z1_i] [sigma_i]
12 [borders_amount]
13 [border_i_type] [formula_num] [x0_i] [x1_i] [y0_i] [y1_i] [z0_i] [z1_i]
```

Рисунок 3.1 – Входной формат сетки по пространству

Входные данные для учёта поля влияния хранятся в папке "Data/Input/Anomalies/". Каждый файл, находящийся в этой папке,

содержит примерно похожий формат хранения, как и для основной сетки. Задаются границы по осям  $x$ ,  $y$ ,  $z$ , количество необходимых разбиений для каждой оси, коэффициенты разрядки, значения удельной электропроводности на аномальной области и границы этой области. Полностью формат изображен на рисунке 3.2.

```

1  [x0] ... [xn]
2  [n_x_0] [k_x_0] ... [n_x_n-1] [k_x_n-1]
3  [y0] ... [ym]
4  [n_y_0] [k_y_0] ... [n_y_m-1] [k_y_m-1]
5  [z0] ... [zk]
6  [n_z_0] [k_z_0] ... [n_z_k-1] [k_z_k-1]
7  [areas_amount]
8  [area_num_i] [x0_i] [x1_i] [y0_i] [y1_i] [z0_i] [z1_i] [sigma_i]
9  [anomaly_borders]
```

Рисунок 3.2 – Входной формат сетки по пространству для аномалии

Входные данные для сетки по времени, содержатся в файле "Time.txt" в папке "Data/Input/" и содержат четыре значения: время начала и конца, количество разбиений и коэффициент разрядки.

## 3.2. СБОРКА ГЛОБАЛЬНОЙ МАТРИЦЫ И ГЛОБАЛЬНОГО ВЕКТОРА ПРАВОЙ ЧАСТИ

При формировании матрицы  $\mathbf{A}$  для решения СЛАУ необходимо учитывать соответствие локальной к глобальной нумерации каждого узла. Глобальная нумерация узлов сетки однозначно определяет вклад локальной матрицы в соответствующие строчки и столбцы матрицы  $\mathbf{A}$ . Поэтому, зная глобальную нумерацию узлов конечного элемента, можно определить какие элементы гло-

бальной матрицы изменятся при добавлении в нее локальной. Аналогичным образом определяется вклад локального вектора правой части в глобальный.

### 3.3. УЧЁТ КРАЕВЫХ УСЛОВИЙ

Поскольку в решаемой задаче у нас на всех границах задаётся однородное краевое условие первого рода, технически необходимо в соответствующей строчке матрицы обнулить вне диагональные элементы, на диагонали поставить значение 1, а в соответствующую строчку вектора правой части поставить значение краевого условия на этой границе, т.е. в нашем случае тоже обнулить.

### 3.4. РЕШЕНИЕ СЛАУ

Для решения СЛАУ мы будем использовать локально-оптимальную схему с ILU-предобуславливанием [9]. Это хороший и быстрый метод решения систем уравнений для несимметричных матриц. Перед решением СЛАУ задаются параметры для досрочного выхода из итерационного процесса, а именно: выход по максимальному количеству совершённых итераций и минимальному значению нормы вектора невязки.

В результате решения СЛАУ мы получим вектор  $q$  весов базисных функций, на которые раскладывается функция  $A_\varphi^0$  или вектор-функция  $\vec{A}^+$ . Учитывая построение базисных функций, компонентами этого вектора будут значения функции в соответствующих узлах сетки.

### 3.5. ОПРЕДЕЛЕНИЕ ЗНАЧЕНИЯ ВЕКТОР-ПОТЕНЦИАЛА И НАПРЯЖЁННОСТИ ЭЛЕКТРИЧЕСКОГО ПОЛЯ

После решения СЛАУ вида (2.23) или (2.30), необходимо найти напряжённость электрического поля по формуле (2.24). Пользуясь аналитическим представлением из (2.21), программная реализация будет выглядеть следующим образом.

Поскольку в качестве конечных элементов использовались прямоугольники для двумерной и прямые параллелепипеды для трёхмерной задач, то можно упростить алгоритм нахождения значения функции на элементе. Можно не перебирать каждый элемент отдельно и проверять значение интересующей точки на принадлежность ему, а последовательно сравнивать координаты точки со значениями на разбиениях по осям координат. Тогда сложность алгоритма будет не  $O(n^2)$  для двумерной или  $O(n^3)$  для трёхмерной задач, а  $O(k \cdot n)$ , где  $n$  – количество отрезков, на которые разбиваются оси координат.

### 3.6. ТЕСТИРОВАНИЕ ДВУМЕРНОЙ ЗАДАЧИ НА ПОЛИНОМАХ

Проведем сначала тестирование программы на работоспособность для уравнения (3.1). В таблицах 3.1 – 3.9 представлен результат тестирования на полиномиальных функциях. Образец расчетной области изображен на рисунке 3.3. Это область  $\Omega = [1.0, 2.0]_r \times [1.0, 2.0]_z$ , она содержит 16 узлов, а на всех границах будем задавать первые краевые условия.

$$-\frac{1}{r} \frac{\partial}{\partial r} \left( r \frac{\partial u}{\partial r} \right) - \frac{\partial^2 u}{\partial z^2} + \frac{u}{r^2} + \sigma \frac{\partial u}{\partial t} = f, \quad (3.1)$$

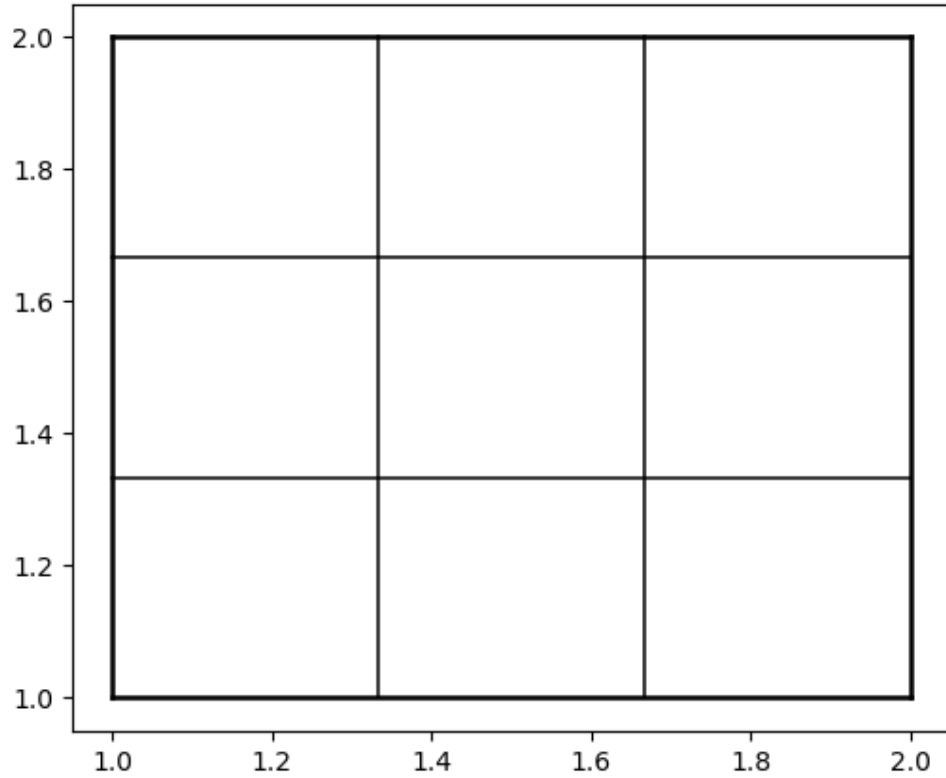


Рисунок 3.3 – Расчетная область

Таблица 3.1 – Тестирование при  $u = 2$ ,  $f = \frac{2}{r^2}$ ,  $\sigma = 0$

Узел	Значение	Абсолютная погрешность	Относительная погрешность
$(\frac{4}{3}; \frac{4}{3})$	2.00226896E+000	2.26896083E-003	1.13448042E-003
$(\frac{5}{3}; \frac{4}{3})$	2.00130487E+000	1.30486533E-003	6.52432666E-004
$(\frac{4}{3}; \frac{5}{3})$	2.00226896E+000	2.26896083E-003	1.13448042E-003
$(\frac{5}{3}; \frac{5}{3})$	2.00130487E+000	1.30486533E-003	6.52432666E-004

Таблица 3.2 – Тестирование при  $u = r$ ,  $f = 0$ ,  $\sigma = 0$

Узел	Значение	Абсолютная погрешность	Относительная погрешность
$(\frac{4}{3}; \frac{4}{3})$	1.33333333E+000	1.33226763E-015	9.99200722E-016
$(\frac{5}{3}; \frac{4}{3})$	1.66666667E+000	6.66133815E-016	3.99680289E-016
$(\frac{4}{3}; \frac{5}{3})$	1.33333333E+000	1.77635684E-015	1.33226763E-015
$(\frac{5}{3}; \frac{5}{3})$	1.66666667E+000	6.66133815E-016	3.99680289E-016

Таблица 3.3 – Тестирование при  $u = z$ ,  $f = \frac{z}{r^2}$ ,  $\sigma = 0$ 

Узел	Значение	Абсолютная погрешность	Относительная погрешность
$(\frac{4}{3}; \frac{4}{3})$	1.33491362E+000	1.58028263E-003	1.18521198E-003
$(\frac{5}{3}; \frac{4}{3})$	1.33426439E+000	9.31054340E-004	6.98290755E-004
$(\frac{4}{3}; \frac{5}{3})$	1.66848983E+000	1.82315862E-003	1.09389517E-003
$(\frac{5}{3}; \frac{5}{3})$	1.66769291E+000	1.02624366E-003	6.15746195E-004

Таблица 3.4 – Тестирование при  $u = r + z$ ,  $f = \frac{z}{r^2}$ ,  $\sigma = 0$ 

Узел	Значение	Абсолютная погрешность	Относительная погрешность
$(\frac{4}{3}; \frac{4}{3})$	2.66824695E+000	1.58028263E-003	5.92605988E-004
$(\frac{5}{3}; \frac{4}{3})$	3.00093105E+000	9.31054340E-004	3.10351447E-004
$(\frac{4}{3}; \frac{5}{3})$	3.00182316E+000	1.82315862E-003	6.07719539E-004
$(\frac{5}{3}; \frac{5}{3})$	3.33435958E+000	1.02624366E-003	3.07873097E-004

Таблица 3.5 – Тестирование при  $u = rz$ ,  $f = 0$ ,  $\sigma = 0$ 

Узел	Значение	Абсолютная погрешность	Относительная погрешность
$(\frac{4}{3}; \frac{4}{3})$	1.77777778E+000	1.11022302E-015	6.24500451E-016
$(\frac{5}{3}; \frac{4}{3})$	2.22222222E+000	3.10862447E-015	1.39888101E-015
$(\frac{4}{3}; \frac{5}{3})$	2.22222222E+000	8.88178420E-016	3.99680289E-016
$(\frac{5}{3}; \frac{5}{3})$	2.77777778E+000	4.88498131E-015	1.75859327E-015

Таблица 3.6 – Тестирование при  $u = r^2 + z^2$ ,  $f = \frac{z^2}{r^2} - 5$ ,  $\sigma = 0$ 

Узел	Значение	Абсолютная погрешность	Относительная погрешность
$(\frac{4}{3}; \frac{4}{3})$	3.55717205E+000	1.61649660E-003	4.54639669E-004
$(\frac{5}{3}; \frac{4}{3})$	4.55644336E+000	8.87803368E-004	1.94883666E-004
$(\frac{4}{3}; \frac{5}{3})$	4.55790068E+000	2.34512455E-003	5.14783438E-004
$(\frac{5}{3}; \frac{5}{3})$	5.55672893E+000	1.17337132E-003	2.11206838E-004

Таблица 3.7 – Тестирование при  $u = r^2 z^2$ ,  $f = -3z^2 - 2r^2$ ,  $\sigma = 0$

Узел	Значение	Абсолютная погрешность	Относительная погрешность
$(\frac{4}{3}; \frac{4}{3})$	3.15919390E+000	1.29993140E-003	4.11306418E-004
$(\frac{5}{3}; \frac{4}{3})$	4.93728492E+000	9.86688136E-004	1.99804348E-004
$(\frac{4}{3}; \frac{5}{3})$	4.93658403E+000	1.68757555E-003	3.41734049E-004
$(\frac{5}{3}; \frac{5}{3})$	7.71481536E+000	1.23402231E-003	1.59929291E-004

Таблица 3.8 – Тестирование при  $u = r^3 + z^3$ ,  $f = -8r - 6z + \frac{z^3}{r^2}$ ,  $\sigma = 0$

Узел	Значение	Абсолютная погрешность	Относительная погрешность
$(\frac{4}{3}; \frac{4}{3})$	4.73874864E+000	1.99210278E-003	4.20209180E-004
$(\frac{5}{3}; \frac{4}{3})$	6.99757994E+000	2.42006018E-003	3.45722883E-004
$(\frac{4}{3}; \frac{5}{3})$	6.99968104E+000	3.18957115E-004	4.55653022E-005
$(\frac{5}{3}; \frac{5}{3})$	9.25749495E+000	1.76431155E-003	1.90545647E-004

Таблица 3.9 – Тестирование при  $u = r^3 z^3$ ,  $f = -8r z^3 - 6r^3 z$ ,  $\sigma = 0$

Узел	Значение	Абсолютная погрешность	Относительная погрешность
$(\frac{4}{3}; \frac{4}{3})$	5.60268110E+000	1.59745896E-002	2.84313374E-003
$(\frac{5}{3}; \frac{4}{3})$	1.09603120E+001	1.36249123E-002	1.24157014E-003
$(\frac{4}{3}; \frac{5}{3})$	1.09509327E+001	2.30042146E-002	2.09625906E-003
$(\frac{5}{3}; \frac{5}{3})$	2.14142095E+001	1.92609735E-002	8.98639979E-004

Исходя из полученных данных, можно сказать, что программа верно находит численное решение задачи.

Рассмотрим решение функции  $u = e^{r \cdot z}$ , последовательно разбивая сетку в 2 раза. Результаты тестирования приведены в таблице 3.10.



Таблица 3.10 – Тестирование при  $u = e^{r \cdot z}$ ,  $\sigma = 0$

Количество разбиений	Средняя погрешность	$\log_2 \left( \frac{\sigma_{i-1}}{\sigma_i} \right)$
2	1.7116567E-004	-
4	5.2066366E-005	1.716969754
8	1.4089198E-005	1.885762274
16	3.6602112E-006	1.94459064
32	9.3301457E-007	1.971955381

Порядок сходимости стремится к 2.

Теперь проведём тестирование уравнения (3.1) на порядок аппроксимации и сходимости для аппроксимации по времени. Для чистоты исследования мы не будем учитывать слагаемое  $\propto 1/r^2$ . Сетка по времени равномерная  $t \in [0, 1]$ ,  $h_t = 0.2$ . При тестировании на порядок сходимости будем рассматривать функцию  $u = e^t$  и  $f = e^t$ . Результат тестирования представлен в таблице 3.11.

Таблица 3.11 – Тестирование при  $u = e^t$ ,  $f = e^t$

Количество разбиений	Средняя погрешность	$\log_2 \left( \frac{\sigma_{i-1}}{\sigma_i} \right)$
4	8.4940866E-003	-
8	2.4848144E-003	1.77332095
16	6.6533732E-004	1.90098023
32	1.7191414E-004	1.95239775

Порядок сходимости стремится к 2.

Поскольку мы использовали трёхслойную неявную схему, то для тестирования на порядок аппроксимации рассмотрим функцию  $u = t^2$ , и  $f = 2 \cdot t$ . Результат тестирования представлен в таблице 3.12.

Таблица 3.12 – Тестирование при  $u = t^2$ ,  $f = 2 \cdot t$ ,  $\sigma = 1$

Временной слой	Абсолютная погрешность	Относительная погрешность
0.0	0.0000000E+000	-
	0.0000000E+000	-
	0.0000000E+000	-
	0.0000000E+000	-
0.2	0.0000000E+000	0.0000000E+000
	0.0000000E+000	0.0000000E+000
	0.0000000E+000	0.0000000E+000
	0.0000000E+000	0.0000000E+000
0.4	8.3266727E-017	5.2041704E-016
	2.7755576E-017	1.7347235E-016
	2.7755576E-017	1.7347235E-016
	8.3266727E-017	5.2041704E-016
0.6	5.5511151E-017	1.5419764E-016
	5.5511151E-017	1.5419764E-016
	5.5511151E-017	1.5419764E-016
	5.5511151E-017	1.5419764E-016
0.8	5.5511151E-016	8.6736174E-016
	0.0000000E+000	0.0000000E+000
	1.1102230E-016	1.7347235E-016
	2.2204460E-016	3.4694470E-016
1.0	4.4408921E-016	4.4408921E-016
	0.0000000E+000	0.0000000E+000
	0.0000000E+000	0.0000000E+000
	4.4408921E-016	4.4408921E-016

Как и предполагалось, квадратичная функция по времени находится без численной погрешности.

### 3.7. ТЕСТИРОВАНИЕ ТРЁХМЕРНОЙ ЗАДАЧИ НА ПОЛИНОМИАЛЬНЫХ ВЕКТОР-ФУНКЦИЯХ

Проведем сначала тестирование разработанной программы по векторному МКЭ на работоспособность. Образец расчетной области изображен на рисунке 3.4. Это область  $\Omega = [0.0, 3.0]_x \times [0.0, 3.0]_y \times [0.0, 3.0]_z$ , она содержит 144 ребра, на всех границах будем задавать первые краевые условия.

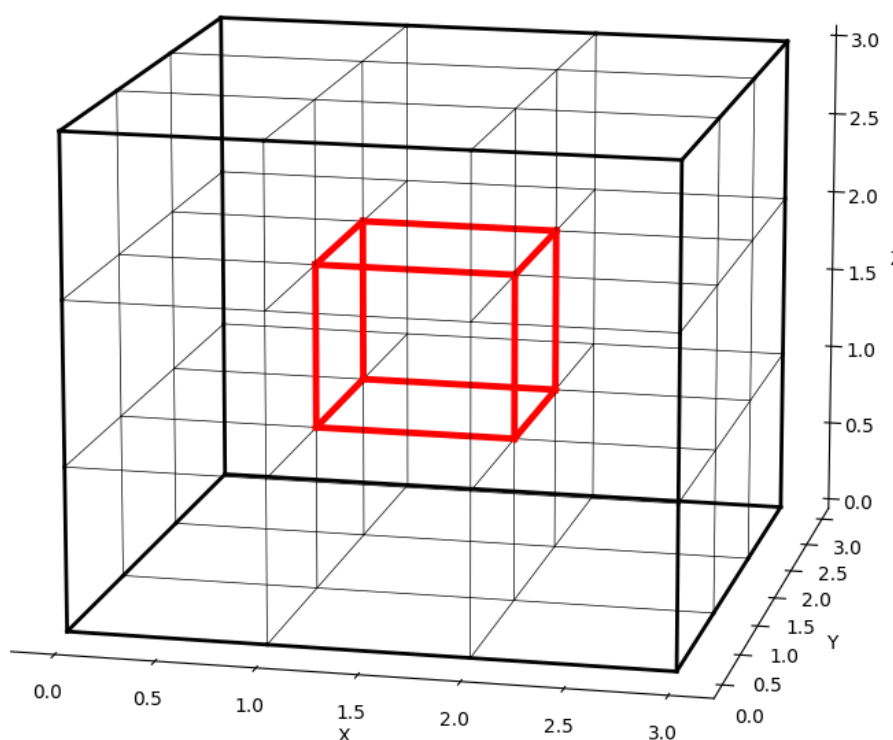


Рисунок 3.4 – Расчетная область

Тестирование будем проводить дифференциального уравнения (3.2):

$$\operatorname{rot} \left( \frac{1}{\mu} \operatorname{rot} \vec{\mathbf{A}} \right) + \gamma \vec{\mathbf{A}} + \sigma \frac{\partial \vec{\mathbf{A}}}{\partial t} = \vec{\mathbf{F}}. \quad (3.2)$$

В таблицах 3.13 – 3.21 приведено тестирование на работоспособность программы. Для искомым  $\vec{\mathbf{A}}$  будем выводить значения функции в центрах рёбер сетки, отмеченных красным цветом на рисунке 3.4.

Таблица 3.13 – Тестирование при  $\vec{\mathbf{A}} = (1.0, 1.0, 1.0)^T$ ,  $\vec{\mathbf{F}} = (1.0, 1.0, 1.0)^T$ ,  
 $\mu = 1$ ,  $\gamma = 1$ ,  $\sigma = 0$

Ребро	Значение	Абсолютная погрешность	Относительная погрешность
$(x; 1.0; 1.0)$	1.00000000E+000	0.00000000E+000	0.00000000E+000
$(x; 2.0; 1.0)$	1.00000000E+000	0.00000000E+000	0.00000000E+000
$(x; 1.0; 2.0)$	1.00000000E+000	0.00000000E+000	0.00000000E+000
$(x; 2.0; 2.0)$	1.00000000E+000	0.00000000E+000	0.00000000E+000
$(1.0; y; 1.0)$	1.00000000E+000	0.00000000E+000	0.00000000E+000
$(2.0; y; 1.0)$	1.00000000E+000	0.00000000E+000	0.00000000E+000
$(1.0; y; 2.0)$	1.00000000E+000	0.00000000E+000	0.00000000E+000
$(2.0; y; 2.0)$	1.00000000E+000	0.00000000E+000	0.00000000E+000
$(1.0; 1.0; z)$	1.00000000E+000	0.00000000E+000	0.00000000E+000
$(2.0; 1.0; z)$	1.00000000E+000	0.00000000E+000	0.00000000E+000
$(1.0; 2.0; z)$	1.00000000E+000	0.00000000E+000	0.00000000E+000
$(2.0; 2.0; z)$	1.00000000E+000	0.00000000E+000	0.00000000E+000

Таблица 3.14 – Тестирование при  $\vec{\mathbf{A}} = (y, z, x)^T$ ,  $\vec{\mathbf{F}} = (y, z, x)^T$ ,  $\mu = 1$ ,  
 $\gamma = 1$ ,  $\sigma = 0$

Ребро	Значение	Абсолютная погрешность	Относительная погрешность
$(x; 1.0; 1.0)$	1.00000000E+000	0.00000000E+000	0.00000000E+000
$(x; 2.0; 1.0)$	2.00000000E+000	0.00000000E+000	0.00000000E+000
$(x; 1.0; 2.0)$	1.00000000E+000	0.00000000E+000	0.00000000E+000
$(x; 2.0; 2.0)$	2.00000000E+000	0.00000000E+000	0.00000000E+000
$(1.0; y; 1.0)$	1.00000000E+000	0.00000000E+000	0.00000000E+000
$(2.0; y; 1.0)$	1.00000000E+000	0.00000000E+000	0.00000000E+000
$(1.0; y; 2.0)$	2.00000000E+000	0.00000000E+000	0.00000000E+000
$(2.0; y; 2.0)$	2.00000000E+000	0.00000000E+000	0.00000000E+000
$(1.0; 1.0; z)$	1.00000000E+000	0.00000000E+000	0.00000000E+000
$(2.0; 1.0; z)$	2.00000000E+000	0.00000000E+000	0.00000000E+000
$(1.0; 2.0; z)$	1.00000000E+000	0.00000000E+000	0.00000000E+000
$(2.0; 2.0; z)$	2.00000000E+000	0.00000000E+000	0.00000000E+000

Таблица 3.15 – Тестирование при  $\vec{\mathbf{A}} = (1 + y + x; 1 + x + z; 1 + x + y)^T$ ,  
 $\vec{\mathbf{F}} = (1 + y + x; 1 + x + z; 1 + x + y)^T$ ,  $\mu = 1$ ,  $\gamma = 1$ ,  $\sigma = 0$

Ребро	Значение	Абсолютная погрешность	Относительная погрешность
$(x; 1.0; 1.0)$	3.00000000E+000	0.00000000E+000	0.00000000E+000
$(x; 2.0; 1.0)$	4.00000000E+000	0.00000000E+000	0.00000000E+000
$(x; 1.0; 2.0)$	4.00000000E+000	0.00000000E+000	0.00000000E+000
$(x; 2.0; 2.0)$	5.00000000E+000	0.00000000E+000	0.00000000E+000
$(1.0; y; 1.0)$	3.00000000E+000	0.00000000E+000	0.00000000E+000
$(2.0; y; 1.0)$	4.00000000E+000	0.00000000E+000	0.00000000E+000
$(1.0; y; 2.0)$	4.00000000E+000	0.00000000E+000	0.00000000E+000
$(2.0; y; 2.0)$	5.00000000E+000	0.00000000E+000	0.00000000E+000
$(1.0; 1.0; z)$	3.00000000E+000	0.00000000E+000	0.00000000E+000
$(2.0; 1.0; z)$	4.00000000E+000	0.00000000E+000	0.00000000E+000
$(1.0; 2.0; z)$	4.00000000E+000	0.00000000E+000	0.00000000E+000
$(2.0; 2.0; z)$	5.00000000E+000	0.00000000E+000	0.00000000E+000

Таблица 3.16 – Тестирование при  $\vec{\mathbf{A}} = (y - z; x - z; x - y)^T$ ,  
 $\vec{\mathbf{F}} = (y - x; x - z; x - y)^T$ ,  $\mu = 1$ ,  $\gamma = 1$ ,  $\sigma = 0$

Ребро	Значение	Абсолютная погрешность	Относительная погрешность
$(x; 1.0; 1.0)$	2.35132600E-016	2.35132600E-016	0.00000000E+000
$(x; 2.0; 1.0)$	1.00000000E+000	0.00000000E+000	0.00000000E+000
$(x; 1.0; 2.0)$	-1.00000000E+000	0.00000000E+000	0.00000000E+000
$(x; 2.0; 2.0)$	-5.55111512E-016	-5.55111512E-016	0.00000000E+000
$(1.0; y; 1.0)$	-3.97378607E-016	-3.97378607E-016	0.00000000E+000
$(2.0; y; 1.0)$	1.00000000E+000	0.00000000E+000	0.00000000E+000
$(1.0; y; 2.0)$	-1.00000000E+000	0.00000000E+000	0.00000000E+000
$(2.0; y; 2.0)$	-1.94289029E-016	-1.94289029E-016	0.00000000E+000
$(1.0; 1.0; z)$	-2.74847895E-016	-2.74847895E-016	0.00000000E+000
$(2.0; 1.0; z)$	1.00000000E+000	0.00000000E+000	0.00000000E+000
$(1.0; 2.0; z)$	-1.00000000E+000	0.00000000E+000	0.00000000E+000
$(2.0; 2.0; z)$	4.27842044E-016	4.27842044E-016	0.00000000E+000

Таблица 3.17 – Тестирование при  $\vec{\mathbf{A}} = (y \cdot z; x \cdot z; x \cdot y)^T$ ,  
 $\vec{\mathbf{F}} = (y \cdot z; x \cdot z; x \cdot y)^T$ ,  $\mu = 1$ ,  $\gamma = 1$ ,  $\sigma = 0$

Ребро	Значение	Абсолютная погрешность	Относительная погрешность
$(x; 1.0; 1.0)$	1.00000000E+000	0.00000000E+000	0.00000000E+000
$(x; 2.0; 1.0)$	2.00000000E+000	0.00000000E+000	0.00000000E+000
$(x; 1.0; 2.0)$	2.00000000E+000	0.00000000E+000	0.00000000E+000
$(x; 2.0; 2.0)$	4.00000000E+000	0.00000000E+000	0.00000000E+000
$(1.0; y; 1.0)$	1.00000000E+000	0.00000000E+000	0.00000000E+000
$(2.0; y; 1.0)$	2.00000000E+000	0.00000000E+000	0.00000000E+000
$(1.0; y; 2.0)$	2.00000000E+000	0.00000000E+000	0.00000000E+000
$(2.0; y; 2.0)$	4.00000000E+000	0.00000000E+000	0.00000000E+000
$(1.0; 1.0; z)$	1.00000000E+000	0.00000000E+000	0.00000000E+000
$(2.0; 1.0; z)$	2.00000000E+000	0.00000000E+000	0.00000000E+000
$(1.0; 2.0; z)$	2.00000000E+000	0.00000000E+000	0.00000000E+000
$(2.0; 2.0; z)$	4.00000000E+000	0.00000000E+000	0.00000000E+000

Таблица 3.18 – Тестирование при  $\vec{\mathbf{A}} = (y^2; z^2; x^2)^T$ ,  
 $\vec{\mathbf{F}} = (y^2 - 2; z^2 - 2; x^2 - 2)^T$ ,  $\mu = 1$ ,  $\gamma = 1$ ,  $\sigma = 0$

Ребро	Значение	Абсолютная погрешность	Относительная погрешность
$(x; 1.0; 1.0)$	1.00000000E+000	0.00000000E+000	0.00000000E+000
$(x; 2.0; 1.0)$	4.00000000E+000	0.00000000E+000	0.00000000E+000
$(x; 1.0; 2.0)$	1.00000000E+000	0.00000000E+000	0.00000000E+000
$(x; 2.0; 2.0)$	4.00000000E+000	0.00000000E+000	0.00000000E+000
$(1.0; y; 1.0)$	1.00000000E+000	0.00000000E+000	0.00000000E+000
$(2.0; y; 1.0)$	1.00000000E+000	0.00000000E+000	0.00000000E+000
$(1.0; y; 2.0)$	4.00000000E+000	0.00000000E+000	0.00000000E+000
$(2.0; y; 2.0)$	4.00000000E+000	0.00000000E+000	0.00000000E+000
$(1.0; 1.0; z)$	1.00000000E+000	0.00000000E+000	0.00000000E+000
$(2.0; 1.0; z)$	4.00000000E+000	0.00000000E+000	0.00000000E+000
$(1.0; 2.0; z)$	1.00000000E+000	0.00000000E+000	0.00000000E+000
$(2.0; 2.0; z)$	4.00000000E+000	0.00000000E+000	0.00000000E+000

Таблица 3.19 – Тестирование при  $\vec{A} = (y^2 + z^2; x^2 + z^2; x^2 + y^2)^T$ ,  
 $\vec{F} = (y^2 + z^2 - 4; x^2 + z^2 - 4; x^2 + y^2 - 4)^T$ ,  $\mu = 1$ ,  $\gamma = 1$ ,  $\sigma = 0$

Ребро	Значение	Абсолютная погрешность	Относительная погрешность
$(x; 1.0; 1.0)$	2.00000000E+000	0.00000000E+000	0.00000000E+000
$(x; 2.0; 1.0)$	5.00000000E+000	0.00000000E+000	0.00000000E+000
$(x; 1.0; 2.0)$	5.00000000E+000	0.00000000E+000	0.00000000E+000
$(x; 2.0; 2.0)$	8.00000000E+000	0.00000000E+000	0.00000000E+000
$(1.0; y; 1.0)$	2.00000000E+000	0.00000000E+000	0.00000000E+000
$(2.0; y; 1.0)$	5.00000000E+000	0.00000000E+000	0.00000000E+000
$(1.0; y; 2.0)$	5.00000000E+000	0.00000000E+000	0.00000000E+000
$(2.0; y; 2.0)$	8.00000000E+000	0.00000000E+000	0.00000000E+000
$(1.0; 1.0; z)$	2.00000000E+000	0.00000000E+000	0.00000000E+000
$(2.0; 1.0; z)$	5.00000000E+000	0.00000000E+000	0.00000000E+000
$(1.0; 2.0; z)$	5.00000000E+000	0.00000000E+000	0.00000000E+000
$(2.0; 2.0; z)$	8.00000000E+000	0.00000000E+000	0.00000000E+000

Таблица 3.20 – Тестирование при  $\vec{A} = (y^3; 0; 0)^T$ ,  $\vec{F} = (y^3 - 6y; 0; 0)^T$ ,  $\mu = 1$ ,  
 $\gamma = 1$ ,  $\sigma = 0$

Ребро	Значение	Абсолютная погрешность	Относительная погрешность
$(x; 1.0; 1.0)$	1.00000000E+000	0.00000000E+000	0.00000000E+000
$(x; 2.0; 1.0)$	8.00000000E+000	0.00000000E+000	0.00000000E+000
$(x; 1.0; 2.0)$	1.00000000E+000	0.00000000E+000	0.00000000E+000
$(x; 2.0; 2.0)$	8.00000000E+000	0.00000000E+000	0.00000000E+000
$(1.0; y; 1.0)$	0.00000000E+000	0.00000000E+000	0.00000000E+000
$(2.0; y; 1.0)$	0.00000000E+000	0.00000000E+000	0.00000000E+000
$(1.0; y; 2.0)$	0.00000000E+000	0.00000000E+000	0.00000000E+000
$(2.0; y; 2.0)$	0.00000000E+000	0.00000000E+000	0.00000000E+000
$(1.0; 1.0; z)$	0.00000000E+000	0.00000000E+000	0.00000000E+000
$(2.0; 1.0; z)$	0.00000000E+000	0.00000000E+000	0.00000000E+000
$(1.0; 2.0; z)$	0.00000000E+000	0.00000000E+000	0.00000000E+000
$(2.0; 2.0; z)$	0.00000000E+000	0.00000000E+000	0.00000000E+000

Таблица 3.21 – Тестирование при  $\vec{A} = (y^2 \cdot z^2; x^2 \cdot z^2; x^2 \cdot y^2)^T$ ,  
 $\vec{F} = (y^2 \cdot z^2 - 2(y^2 + z^2); x^2 \cdot z^2 - 2(x^2 + z^2); x^2 \cdot y^2 - 2(x^2 + y^2))^T$ ,  
 $\mu = 1, \gamma = 1, \sigma = 0$

Ребро	Значение	Абсолютная погрешность	Относительная погрешность
$(x; 1.0; 1.0)$	1.00000000E+000	0.00000000E+000	0.00000000E+000
$(x; 2.0; 1.0)$	4.00000000E+000	0.00000000E+000	0.00000000E+000
$(x; 1.0; 2.0)$	4.00000000E+000	0.00000000E+000	0.00000000E+000
$(x; 2.0; 2.0)$	1.60000000E+001	0.00000000E+000	0.00000000E+000
$(1.0; y; 1.0)$	1.00000000E+000	0.00000000E+000	0.00000000E+000
$(2.0; y; 1.0)$	4.00000000E+000	0.00000000E+000	0.00000000E+000
$(1.0; y; 2.0)$	4.00000000E+000	0.00000000E+000	0.00000000E+000
$(2.0; y; 2.0)$	1.60000000E+001	0.00000000E+000	0.00000000E+000
$(1.0; 1.0; z)$	1.00000000E+000	0.00000000E+000	0.00000000E+000
$(2.0; 1.0; z)$	4.00000000E+000	0.00000000E+000	0.00000000E+000
$(1.0; 2.0; z)$	4.00000000E+000	0.00000000E+000	0.00000000E+000
$(2.0; 2.0; z)$	1.60000000E+001	0.00000000E+000	0.00000000E+000

Проведём тестирование на порядок аппроксимации. Для оценки будем брать значения вектор-функции в центрах параллелепипедов. Сетка по пространству для данных тестов изображена на рисунке 3.5.

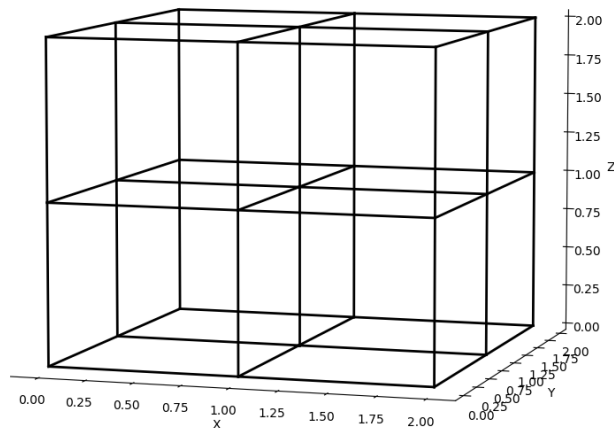


Рисунок 3.5 – Расчетная область



В таблицах 3.22 – 3.23 представлены результаты тестирования для постоянной и линейной вектор-функциях.

Таблица 3.22 – Тестирование при  $\vec{\mathbf{A}} = (1.0; 1.0; 1.0)^T$ ,  $\vec{\mathbf{F}} = (1.0; 1.0; 1.0)^T$ ,  
 $\mu = 1$ ,  $\gamma = 1$ ,  $\sigma = 0$

Ребро	Значение	Абсолютная погрешность	Относительная погрешность
(0.5; 0.5; 0.5)	1.00000000E+000	0.00000000E+000	0.00000000E+000
	1.00000000E+000	0.00000000E+000	0.00000000E+000
	1.00000000E+000	0.00000000E+000	0.00000000E+000
(1.5; 0.5; 0.5)	1.00000000E+000	0.00000000E+000	0.00000000E+000
	1.00000000E+000	0.00000000E+000	0.00000000E+000
	1.00000000E+000	0.00000000E+000	0.00000000E+000
(0.5; 1.5; 0.5)	1.00000000E+000	0.00000000E+000	0.00000000E+000
	1.00000000E+000	0.00000000E+000	0.00000000E+000
	1.00000000E+000	0.00000000E+000	0.00000000E+000
(1.5; 1.5; 0.5)	1.00000000E+000	0.00000000E+000	0.00000000E+000
	1.00000000E+000	0.00000000E+000	0.00000000E+000
	1.00000000E+000	0.00000000E+000	0.00000000E+000
(0.5; 0.5; 1.5)	1.00000000E+000	0.00000000E+000	0.00000000E+000
	1.00000000E+000	0.00000000E+000	0.00000000E+000
	1.00000000E+000	0.00000000E+000	0.00000000E+000
(1.5; 0.5; 1.5)	1.00000000E+000	0.00000000E+000	0.00000000E+000
	1.00000000E+000	0.00000000E+000	0.00000000E+000
	1.00000000E+000	0.00000000E+000	0.00000000E+000
(0.5; 1.5; 1.5)	1.00000000E+000	0.00000000E+000	0.00000000E+000
	1.00000000E+000	0.00000000E+000	0.00000000E+000
	1.00000000E+000	0.00000000E+000	0.00000000E+000
(1.5; 1.5; 1.5)	1.00000000E+000	0.00000000E+000	0.00000000E+000
	1.00000000E+000	0.00000000E+000	0.00000000E+000
	1.00000000E+000	0.00000000E+000	0.00000000E+000

Таблица 3.23 – Тестирование при  $\vec{\mathbf{A}} = (y; z; x)^T$ ,  $\vec{\mathbf{F}} = (y; z; x)^T$ ,  $\mu = 1$ ,  
 $\gamma = 1$ ,  $\sigma = 0$

Ребро	Значение	Абсолютная погрешность	Относительная погрешность
(0.5; 0.5; 0.5)	5.00000000E-001	0.00000000E+000	0.00000000E+000
	5.00000000E-001	0.00000000E+000	0.00000000E+000
	5.00000000E-001	0.00000000E+000	0.00000000E+000
(1.5; 0.5; 0.5)	5.00000000E-001	0.00000000E+000	0.00000000E+000
	5.00000000E-001	0.00000000E+000	0.00000000E+000
	1.50000000E+000	0.00000000E+000	0.00000000E+000
(0.5; 1.5; 0.5)	1.50000000E+000	0.00000000E+000	0.00000000E+000
	5.00000000E-001	0.00000000E+000	0.00000000E+000
	5.00000000E-001	0.00000000E+000	0.00000000E+000
(1.5; 1.5; 0.5)	1.50000000E+000	0.00000000E+000	0.00000000E+000
	5.00000000E-001	0.00000000E+000	0.00000000E+000
	1.50000000E+000	0.00000000E+000	0.00000000E+000
(0.5; 0.5; 1.5)	5.00000000E-001	0.00000000E+000	0.00000000E+000
	1.50000000E+000	0.00000000E+000	0.00000000E+000
	5.00000000E-001	0.00000000E+000	0.00000000E+000
(1.5; 0.5; 1.5)	5.00000000E-001	0.00000000E+000	0.00000000E+000
	1.50000000E+000	0.00000000E+000	0.00000000E+000
	5.00000000E-001	0.00000000E+000	0.00000000E+000
(0.5; 1.5; 1.5)	1.50000000E+000	0.00000000E+000	0.00000000E+000
	1.50000000E+000	0.00000000E+000	0.00000000E+000
	5.00000000E-001	0.00000000E+000	0.00000000E+000
(1.5; 1.5; 1.5)	1.50000000E+000	0.00000000E+000	0.00000000E+000
	1.50000000E+000	0.00000000E+000	0.00000000E+000
	1.50000000E+000	0.00000000E+000	0.00000000E+000

Как и предполагали, при использовании билинейных вектор-функций точное решение находится вплоть до линейной вектор-функции без численной погрешности.

Проведём теперь тестирование на порядок сходимости на сетке изображённой на рисунке 3.4. Для этого последовательно будем разбивать сетку в 2 раза сначала по оси  $x$ , потом по  $y$  и затем по  $z$ . Результаты тестирования приведены в таблицах 3.24 – 3.26.

Таблица 3.24 – Тестирование при  $\vec{A} = (0; 0; e^x)^T$ ,  $\vec{F} = (0; 0; 0)^T$ ,  $\mu = 1$ ,  
 $\gamma = 1$ ,  $\sigma = 0$

Шаг по оси $x$	Средняя погрешность	$\log_2 \left( \frac{\sigma_{i-1}}{\sigma_i} \right)$
$h$	4.1223218E-001	-
$h/2$	6.9015889E-002	2.57845668
$h/4$	1.4360912E-002	2.26478117
$h/8$	3.28952607E-003	2.1261957

Таблица 3.25 – Тестирование при  $\vec{A} = (e^y; 0; 0)^T$ ,  $\vec{F} = (0; 0; 0)^T$ ,  $\mu = 1$ ,  
 $\gamma = 1$ ,  $\sigma = 0$

Шаг по оси $y$	Средняя погрешность	$\log_2 \left( \frac{\sigma_{i-1}}{\sigma_i} \right)$
$h$	4.1223218E-001	-
$h/2$	6.9015889E-002	2.57845668
$h/4$	1.4360912E-002	2.26478117
$h/8$	3.28952607E-003	2.1261957

Таблица 3.26 – Тестирование при  $\vec{A} = (0; e^z; 0)^T$ ,  $\vec{F} = (0; 0; 0)^T$ ,  $\mu = 1$ ,  
 $\gamma = 1$ ,  $\sigma = 0$

Шаг по оси $z$	Средняя погрешность	$\log_2 \left( \frac{\sigma_{i-1}}{\sigma_i} \right)$
$h$	4.1223218E-001	-
$h/2$	6.9015889E-002	2.57845668
$h/4$	1.4360912E-002	2.26478117
$h/8$	3.28952607E-003	2.1261957

Во всех трёх случаях порядок сходимости стремится к 2. Исходя из полученных данных, можно сказать, что программа верно находит численное решение эллиптической задачи.

### 3.8. ПРОВЕРКА ПОЛУЧЕННЫХ РЕЗУЛЬТАТОВ

Проверку полученных результатов решения СЛАУ будем из закона индукции Фарадея (1.2) и теоремы о циркуляции магнитного поля (1.1). Учитывая (2.23) – (2.25), получим выражение для  $\vec{\mathbf{B}}$ , которое будем использовать для проверки:

$$\vec{\mathbf{B}} = \text{rot} \vec{\mathbf{A}} = \begin{vmatrix} \mathbf{i} & \mathbf{j} & \mathbf{k} \\ \frac{\partial}{\partial x} & \frac{\partial}{\partial y} & \frac{\partial}{\partial z} \\ A_x & A_y & 0 \end{vmatrix} = -\frac{\partial A_y}{\partial z} \mathbf{i} + \frac{\partial A_x}{\partial z} \mathbf{j} + \left( \frac{\partial A_y}{\partial x} - \frac{\partial A_x}{\partial y} \right) \mathbf{k}. \quad (3.3)$$

Исходя из теории конечно-разностных схем [10], численно определим значения для частных первых производных в выражении (3.3):

$$\frac{\partial A_{x_i}}{\partial x_k} + o(h_{x_k}^3) = \frac{A_{x_i}^{j+1} - A_{x_i}^{j-1}}{2h_{x_k}}, \quad (3.4)$$

где  $x_k$  – переменная по которой проводится дифференцирование,  $x_i$  – соответствующая компонента вектора-потенциала  $\vec{\mathbf{A}}$ ,  $A_{x_i}^{j+1} = A_{x_i}(x_{0i} + h_{x_k})$ ,  $A_{x_i}^{j-1} = A_{x_i}(x_{0i} - h_{x_k})$ ,  $h_{x_k}$  – шаг от точки, в которой необходимо найти значение производной, равный  $10^{-10}$ .

## 4. ИССЛЕДОВАНИЯ

### 4.1. ОПИСАНИЕ ИССЛЕДОВАНИЙ И РАСПОЛОЖЕНИЕ ПРИЁМНИКОВ

Для начала будем проводить исследования в горизонтально-слоистой среде без каких-либо аномалий. Напомню, что на рисунке 1.1 изображен срез горизонтально-слоистой среды, который мы используем в качестве решения нормального поля на первом этапе разделения полей. Далее рассмотрим горизонтально-слоистую среду с двумя аномалиями вместе, т.е. для решения задачи на добавочное поле будем использовать сетку, учитывающую сразу две аномалии. После этого последовательно рассмотрим добавление в среду сначала первой аномалии потом второй, а затем сначала второй и после первой. На заключительном этапе рассмотрим временные затраты на решение задачи при использовании многоэтапной схемы разделения поля и при разбиении поля на нормальное и добавочное.

Пусть источник индукционного поля имеет радиус  $R = 100$  м. от оси симметрии и имеет силу тока, равную  $J_\varphi = 1.0$  А. Также условимся, что источник работал достаточно долго, чтобы создать стабильное электромагнитное поле. Сетка по времени:  $t \in [0.0; 1.0]$  на 100 временных слоёв с начальным шагом  $h_t = 10^{-5}$  с. и коэффициентом разрядки  $t_k = 1.1$ . После отключим наш источник, т.е.  $J_\varphi = 0.0$  А при  $t > 0.0$ . Возьмём 4 приемника и расположим их вдоль линии  $x = 0$  между аномалиями. Пусть они будут располагаться на расстояниях 101 м., 1000 м., 2000 м., 3000 м. от центра симметрии. На рисунке 4.1 тёмно-бирюзовой кривой нарисован индукционный источник тока, контурными линиями нарисованы положение аномальных объектов в среде, точками – расположение приёмников.

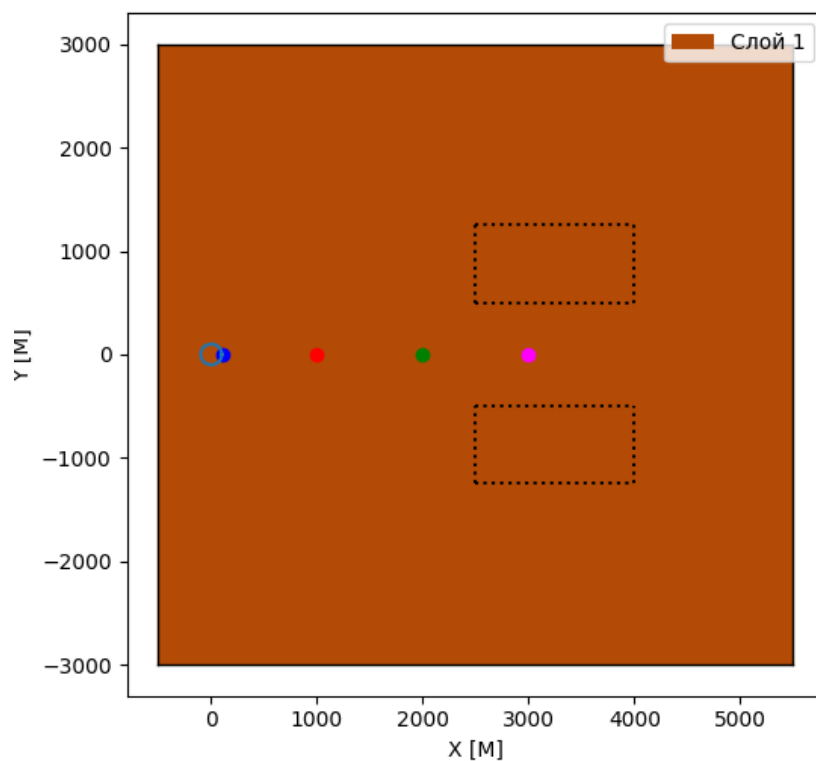


Рисунок 4.1 – Расположение приёмников

## 4.2. ИССЛЕДОВАНИЕ НОРМАЛЬНОГО ПОЛЯ БЕЗ АНОМАЛИЙ

На рисунках 4.2 – 4.5 представлено распространение этого поля в среде в начальный, промежуточные и последний моменты времени. Также, проведём замеры значения напряжённости электрического поля в них. Полученные зависимости  $E^0$  от времени изображены на рисунке 4.6.

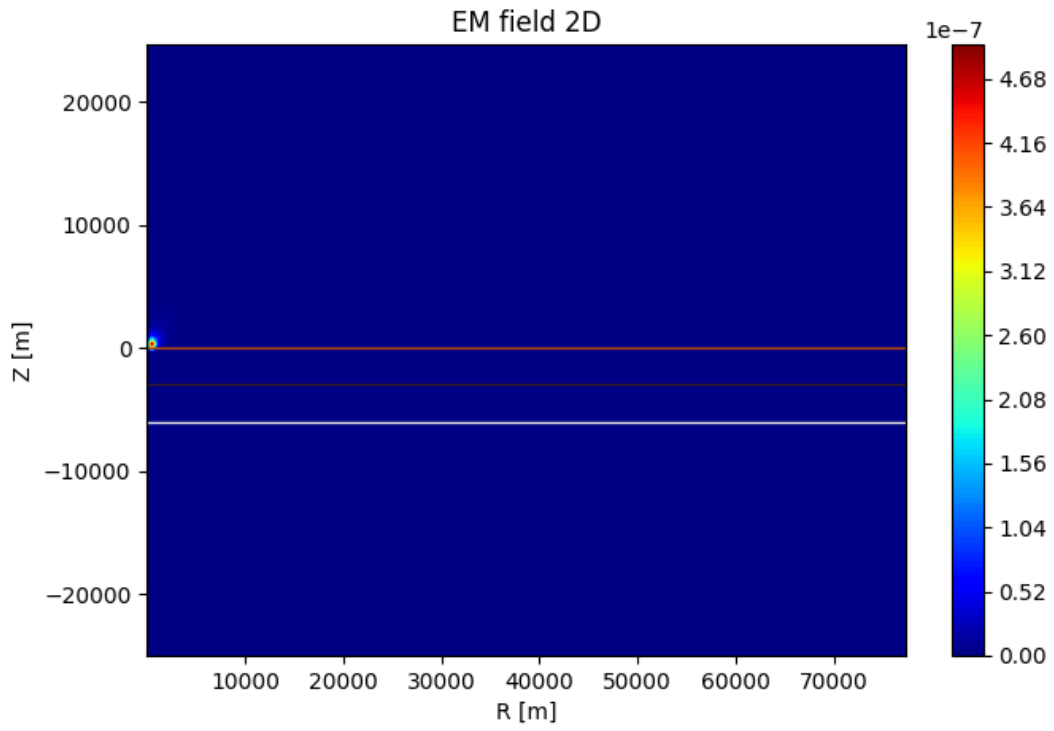


Рисунок 4.2 – Решение  $E_\varphi$  при  $t = 10^{-5}c$

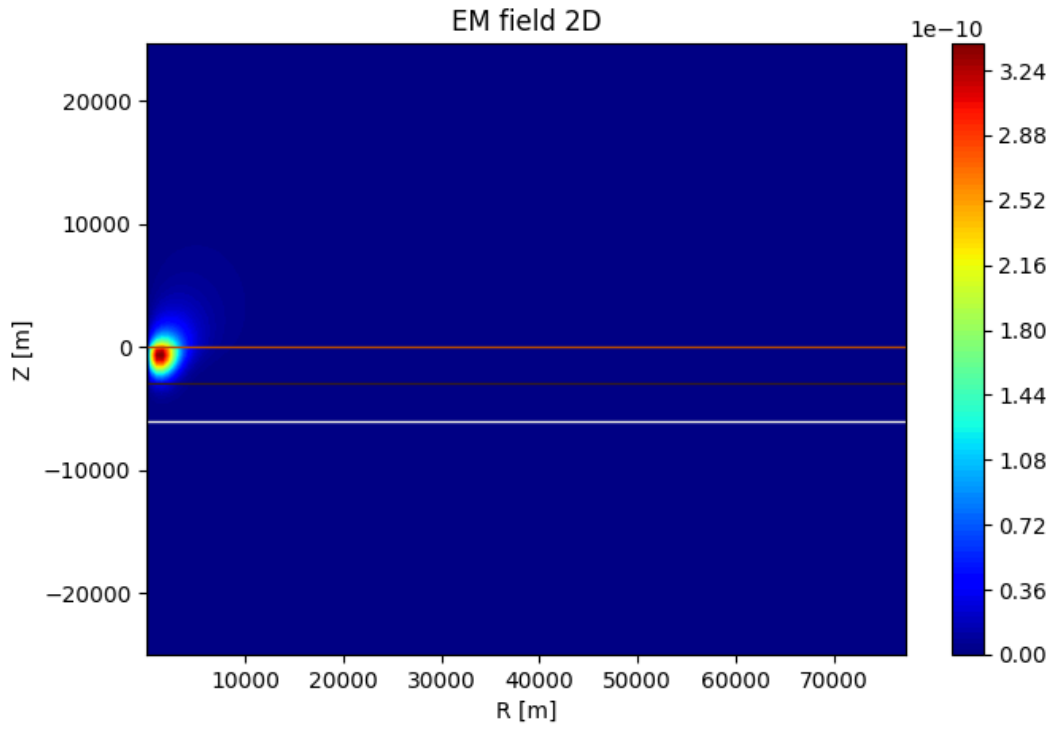


Рисунок 4.3 – Решение  $E_\varphi$  при  $t = 0.01c$

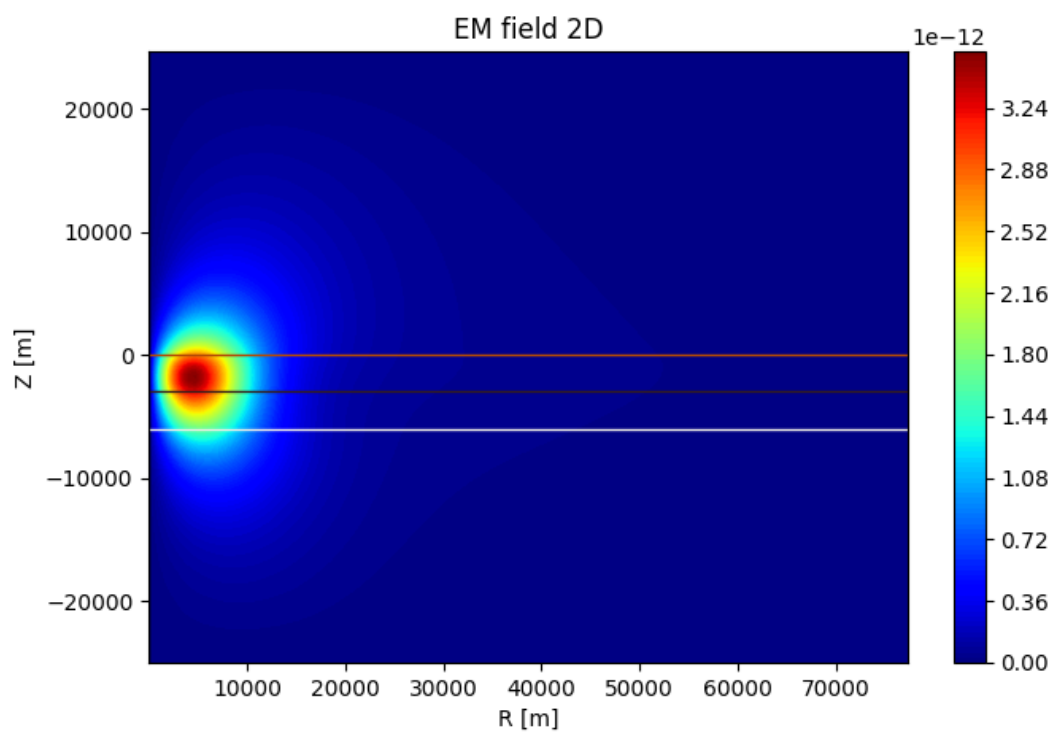


Рисунок 4.4 – Решение  $E_\varphi$  при  $t = 0.1\text{c}$

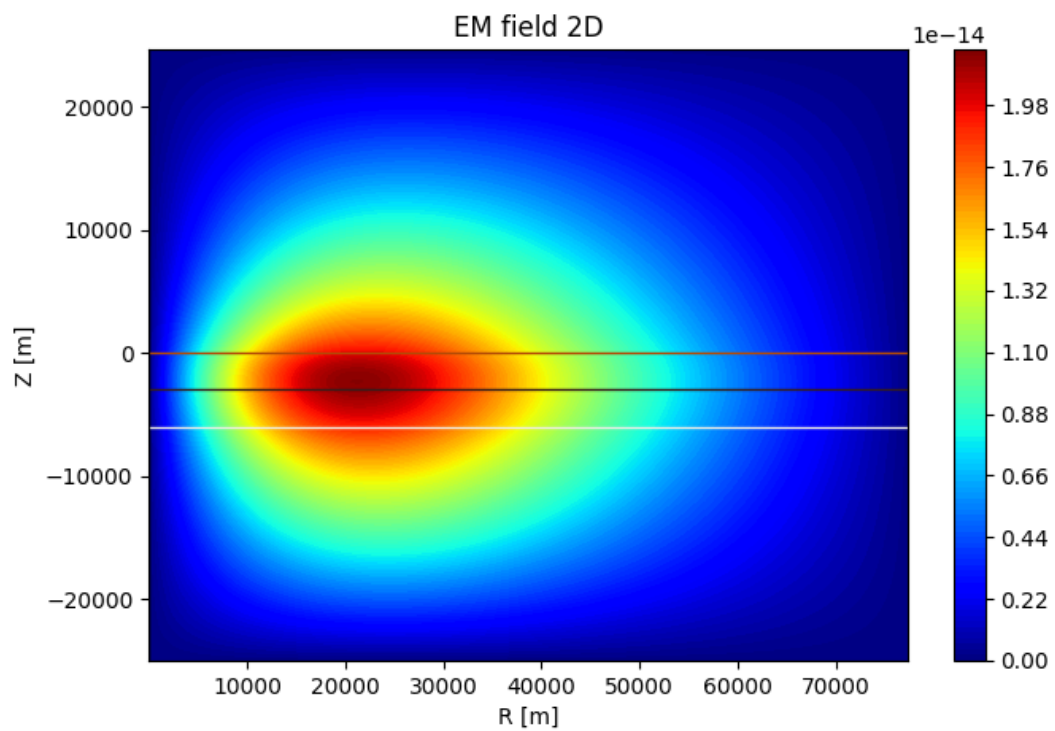


Рисунок 4.5 – Решение  $E_\varphi$  при  $t = 1\text{c}$



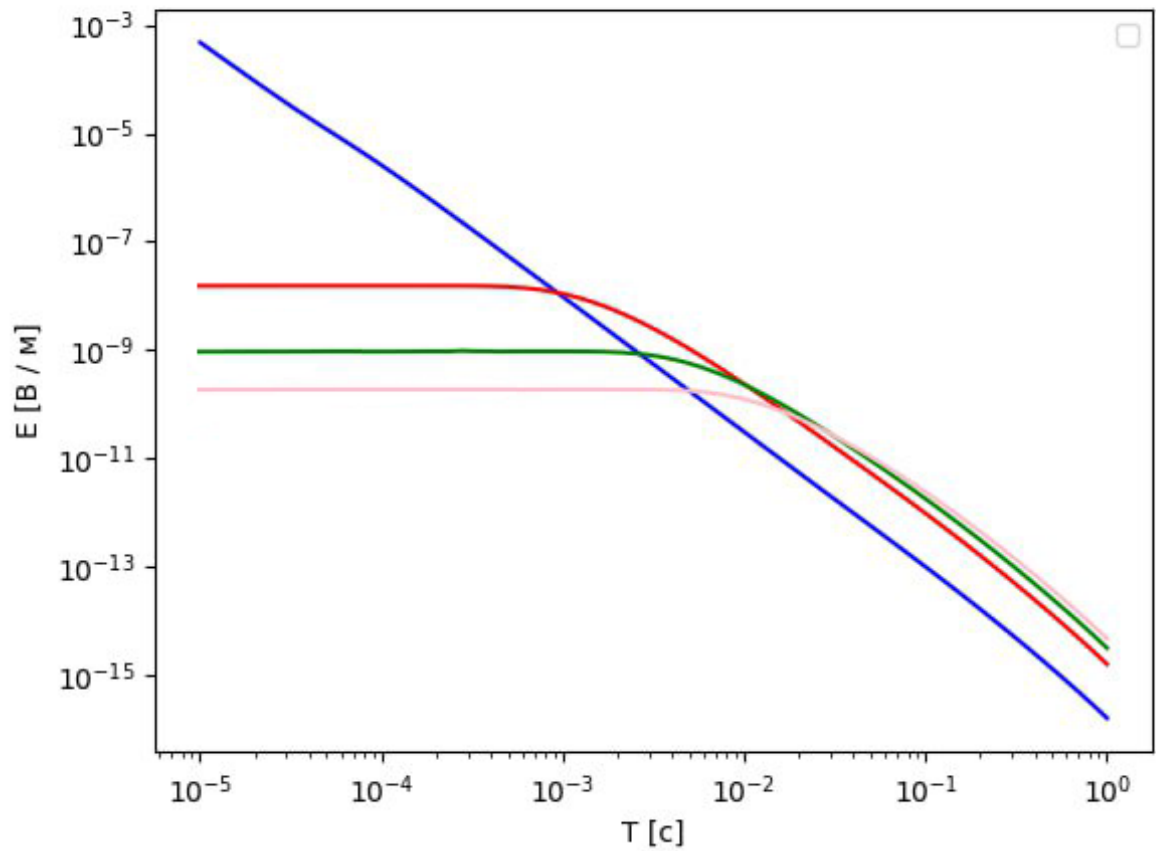


Рисунок 4.6 – Зависимость значения модуля  $E^0$  от времени в разных приёмниках

Как видим, значения электрической напряжённости поля на приёмниках не имеют каких-либо резких колебаний и постепенно снижаются. Из этого можно заключить, что, как и предполагалось, никаких аномальных зон в исследуемой области нет.

### 4.3. ИССЛЕДОВАНИЕ В СРЕДЕ С ДВУМЯ АНОМАЛИЯМИ

Теперь расположим в расчётной области два аномальных объекта. Пусть первый объект имеет удельную электропроводность  $\sigma_1 = 5.0$  См/м и находится в  $\Omega_1 \in [2500, 4000]_x \times [500, 1250]_y \times [-2000, -750]_z$ , а второй  $\sigma_2 = 10.0$

См/м и находится в  $\Omega_2 \in [2500, 4000]_x \times [-1250, -500]_y \times [-2000, -750]_z$ . Их расположение в сечениях изображено на рисунках 4.7 – 4.8.

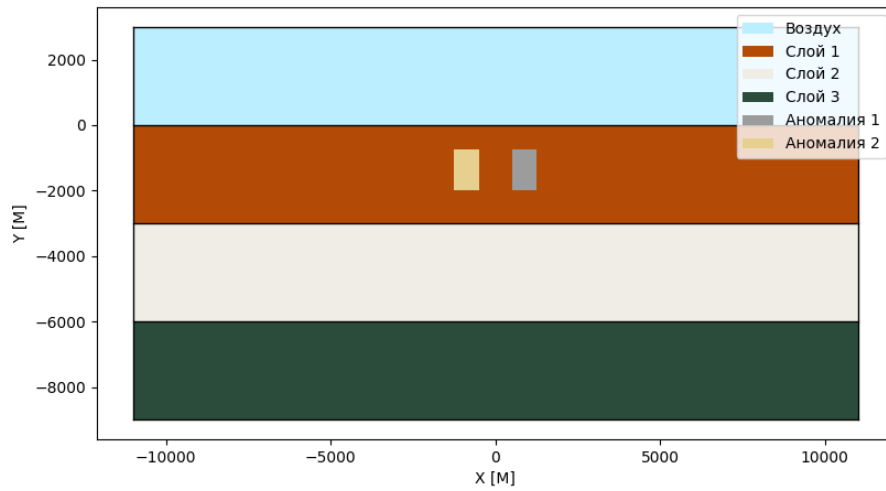


Рисунок 4.7 – Срез среды при  $x = 2500$ м

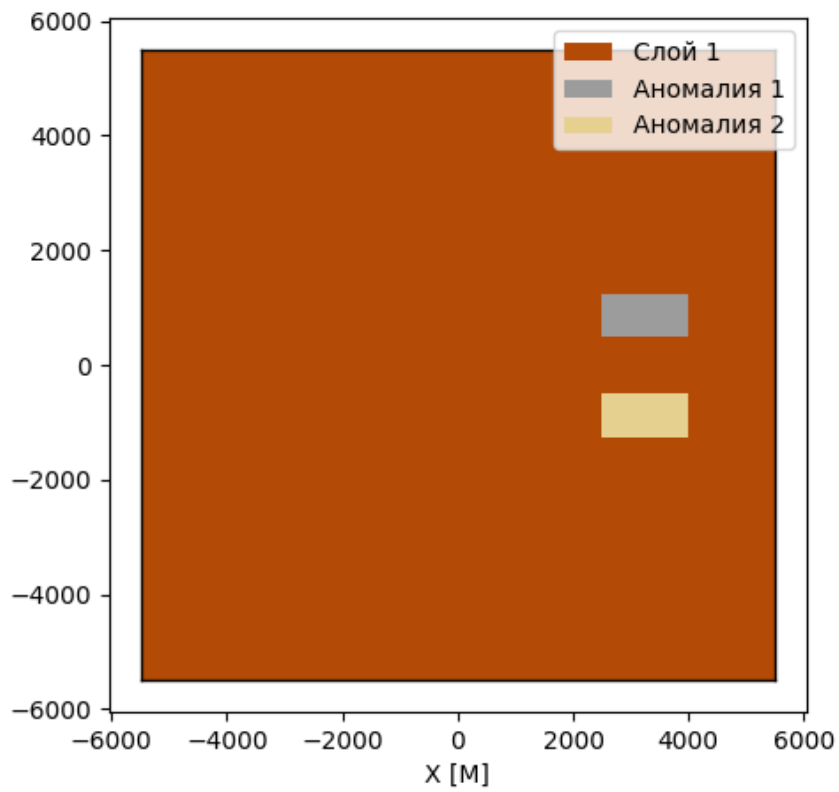


Рисунок 4.8 – Срез среды при  $z = -1000$ м

Тогда графики зависимости значения напряжённости электрического поля  $E$  от времени на выбранных нами приёмниках представлены на рисунке 4.9. Процесс рассматривался с 0.002 секунды.

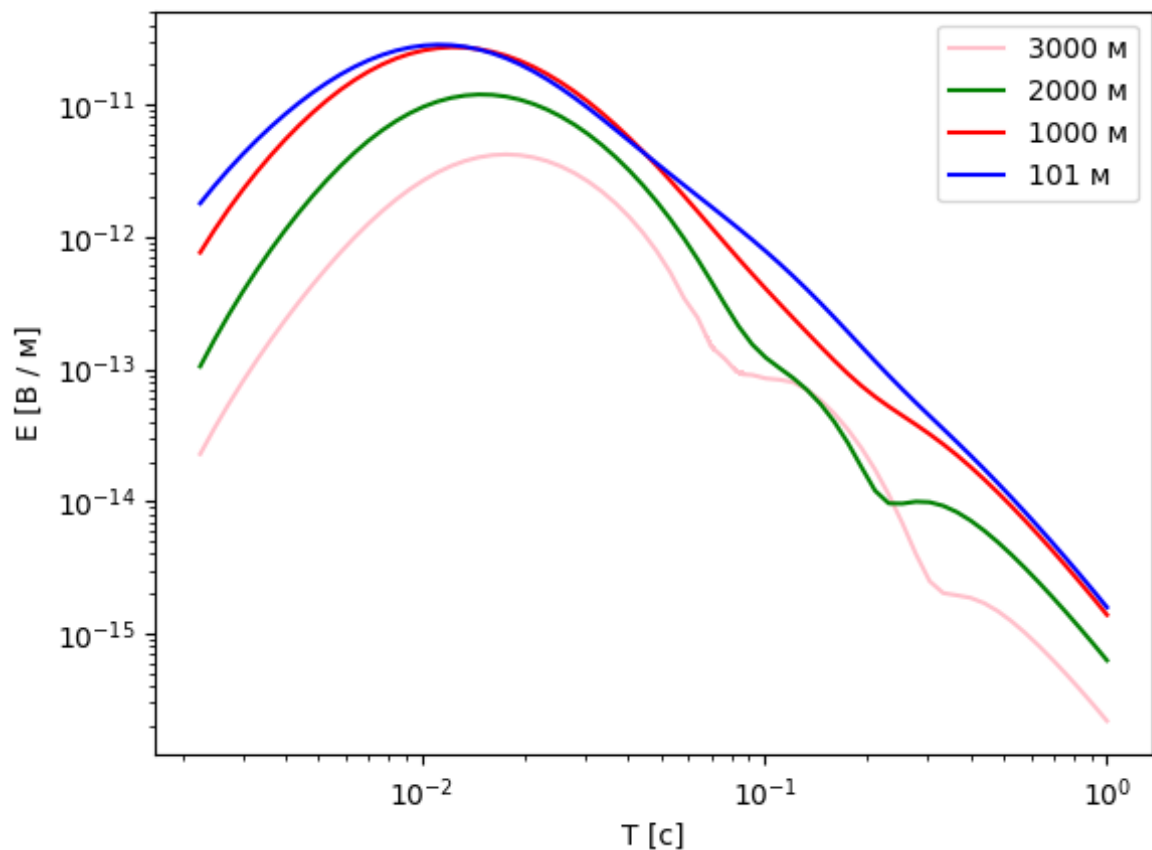


Рисунок 4.9 – Зависимость значения модуля  $E^+$  от времени в приёмниках при одновременном разделении аномалий

Как можно заметить, со временем, значение модуля напряжённости электрического поля добавочных объектов сначала увеличивается, а затем уменьшается. Объяснить это можно тем, что рассеиваемое поле горизонтально-слоистой среды со временем начинает оказывать влияние на аномальный по электропроводности объект. Из-за этого модуль значения напряжённости электромагнитного поля сначала растёт, а затем плавно также рассеивается вместе с полем горизонтально-слоистой среды.

## 4.4. ИССЛЕДОВАНИЕ МНОГОЭТАПНОГО РАЗДЕЛЕНИЯ ПОЛЕЙ

Теперь рассмотрим постепенное добавление аномальных зон в расчётную область. Пусть на первом этапе, в качестве добавочного поля будем считать поле, создаваемое объектом с удельной электропроводностью  $\sigma = 5.0$  См/м. На втором этапе в качестве нормального поля будем рассматривать поле, полученное на предыдущем этапе, а в качестве добавочного, поле создаваемое объектом с электропроводностью  $\sigma = 10.0$  См/м. Графики изменения значения напряжённости электрического поля от времени после добавления первой аномалии, а затем второй изображены на рисунке 4.10.

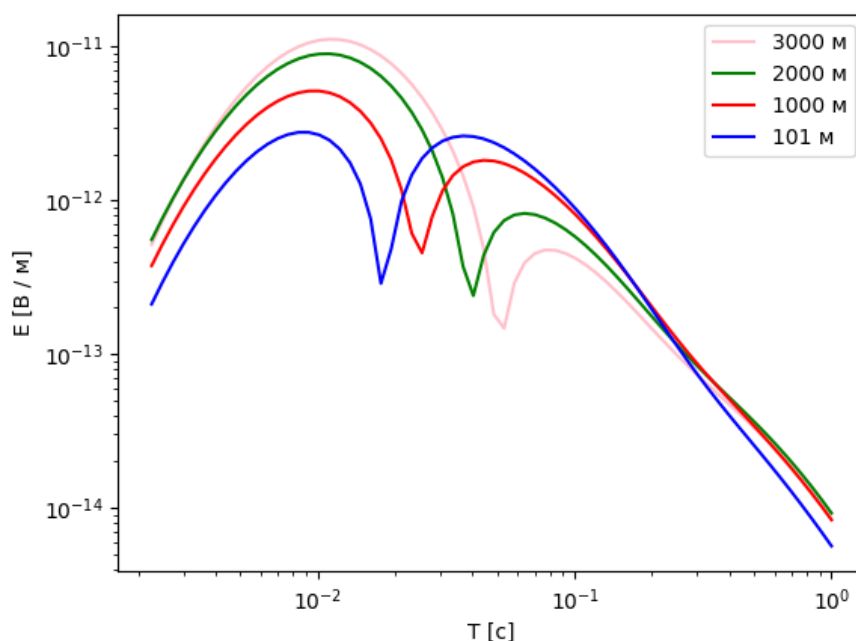


Рисунок 4.10 – Зависимость значения модуля  $E^+$  от времени в разных приёмниках при разделении сначала первой, а затем второй аномалии

По началу значения напряжённости поля повышаются. Резкий скачок вниз можно объяснить инверсией электромагнитного поля – направление распространения может измениться на противоположное по знаку значение.

Теперь рассмотрим постепенное добавление аномальных зон в расчётную область наоборот. На первом этапе, в качестве добавочного поля будем считать поле, создаваемое объектом с удельной электропроводностью  $\sigma = 10.0$  См/м. На втором этапе в качестве нормального поля будем рассматривать поле, полученное на предыдущем этапе, а в качестве добавочного, поле создаваемое объектом с электропроводностью  $\sigma = 5.0$  См/м. График изменения значения напряжённости электрического поля от времени после добавления первой аномалии, а затем второй изображён на рисунке 4.11.

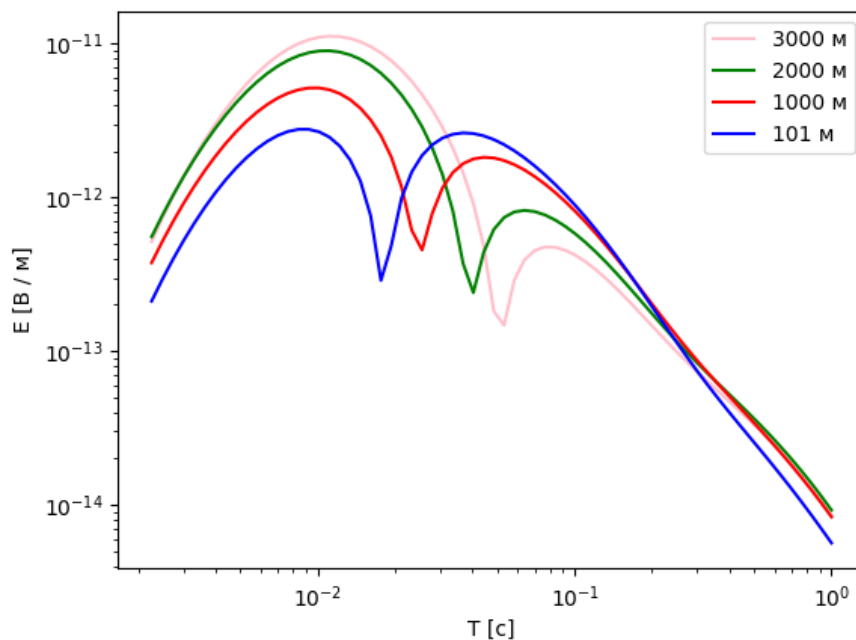


Рисунок 4.11 – Зависимость значения модуля  $E^+$  от времени в разных приёмниках при разделении сначала второй, а затем первой аномалии

На рисунке 4.12 изображено сравнение результатов первого и второго подхода к многоэтапному разделению полей. Цветными линиями показано

значение напряжённости электрического поля при разделении сначала второй, а затем первой, чёрным пунктиром значение напряжённости при разделении сначала первой, а затем второй аномалий.

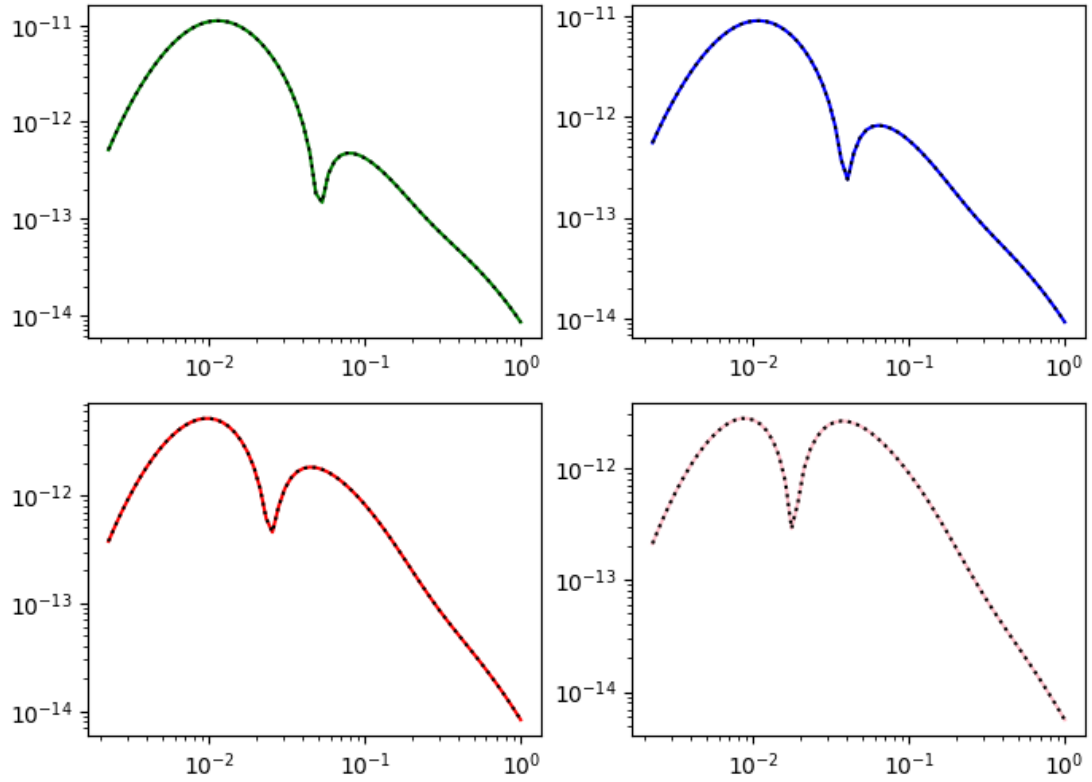


Рисунок 4.12 – Сравнение значений модуля  $E^+$  от времени на разных приёмниках при разной очередности разделении аномалий

Как выяснилось, очередность разделения полей не дала видимых различий, следовательно результат не зависит от очередности добавления аномалий в расчётную область.

Поскольку очередность добавления аномальных объектов в расчётную область не даёт очевидной разницы, то рассмотрим на рисунке 4.13 сравнение значений  $E^+$  при одновременном разделении сразу двух объектов и при использовании многоэтапной схемы, сначала выделяя первый, а затем второй объект. Цветными линиями показаны значения при использовании

многоэтапной схемы разделения полей, пунктиром при одновременном разделении сразу двух аномалий.

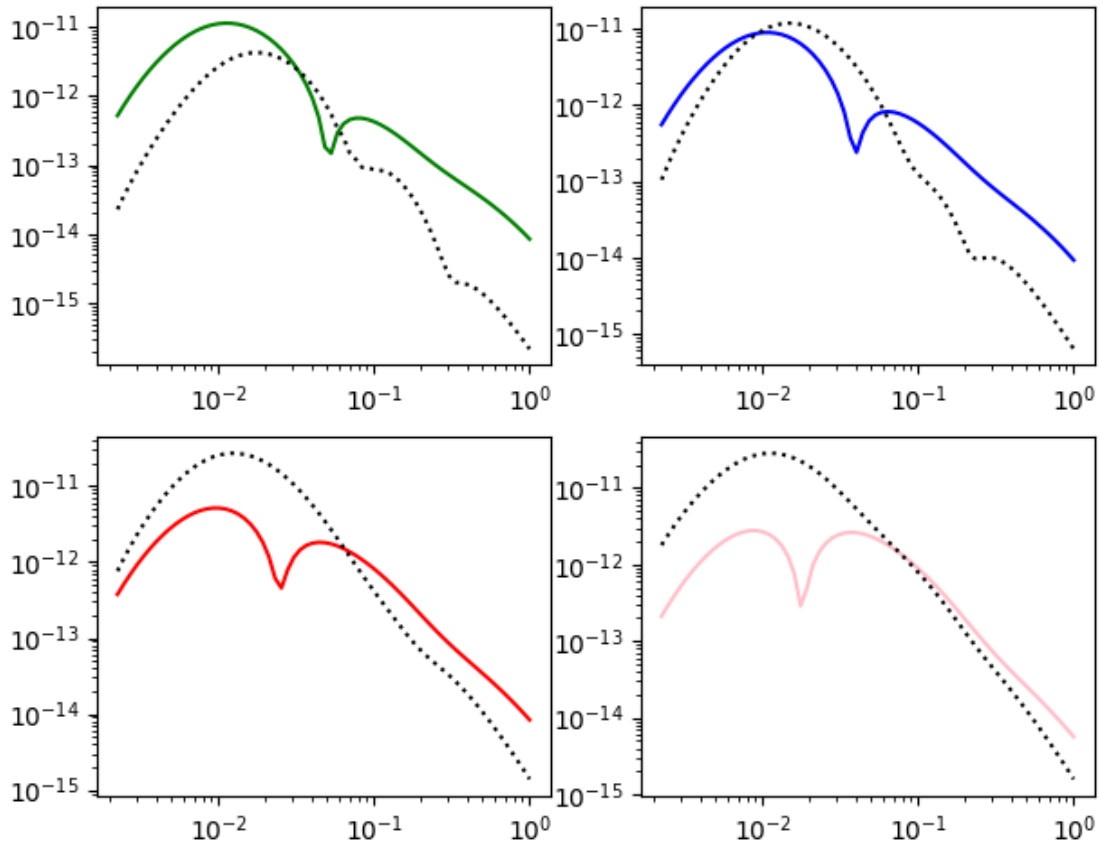


Рисунок 4.13 – Сравнение значений модуля  $E^+$  от времени в разных приёмниках при одноэтапном и многоэтапном разделении

## 4.5. ИССЛЕДОВАНИЕ ЯВЛЕНИЯ ВЗАИМОИНДУКЦИИ

Теперь предположим, что при использовании многоэтапной схемы разделения полей для обоих наших объектов можно найти, не учитывая влияния другого объекта, а учитывая лишь влияние поля в горизонтально-слоистой среде. Иными словами, значение  $\vec{E}^n$  при учёте второй по очереди аномалии

в уравнении (1.6) будет рассматриваться не суммой  $E^0 + E^a$  как мы делали это прежде, а просто через  $E^0$ , где  $E^0$  – напряжённость электрического поля от влияния горизонтально-слоистой среды, а  $E^a$  – напряжённость электрического поля от влияния первой аномалии. На рисунках 4.14 – 4.17 приведены сравнения значений для разных приёмников. Сплошной линией отображена зависимость при учёте напряжённости электрического поля только горизонтально-слоистой среды (то есть просто  $E^0$ ), а пунктиром с учётом ещё и влияния другой аномалии (то есть  $E^0 + E^a$ ).

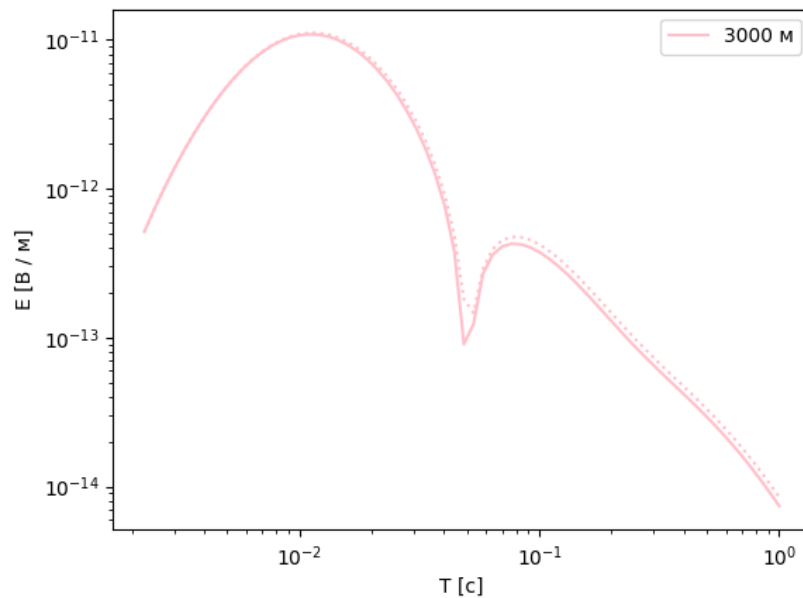


Рисунок 4.14 – Сравнение аномалии от двух объектов с суммой аномалий от одиночных объектов на приёмнике удалённом на 3000 м



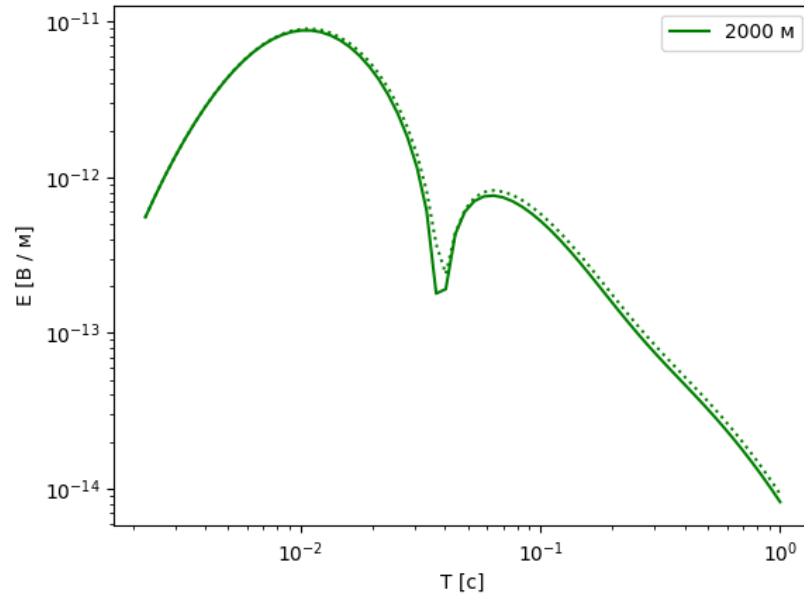


Рисунок 4.15 – Сравнение аномалии от двух объектов с суммой аномалий от одиночных объектов на приёмнике удалённом на 2000 м

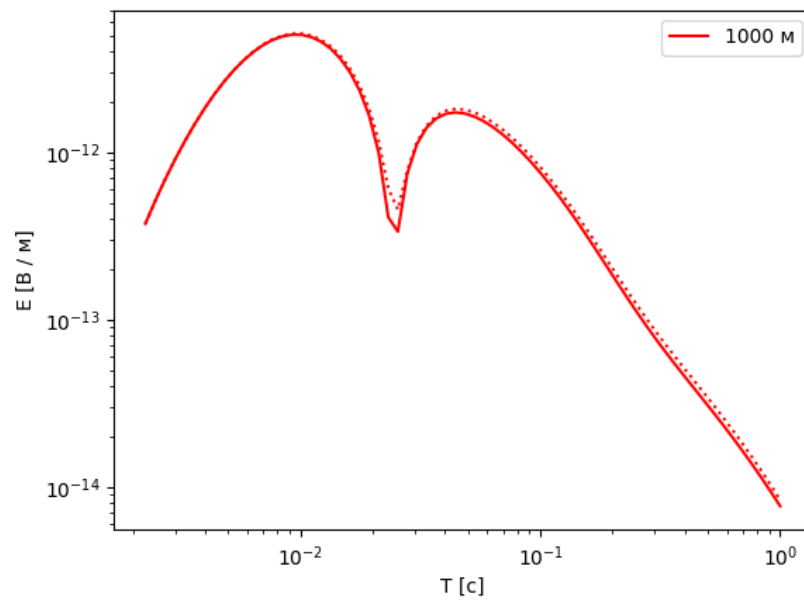


Рисунок 4.16 – Сравнение аномалии от двух объектов с суммой аномалий от одиночных объектов на приёмнике удалённом на 1000 м

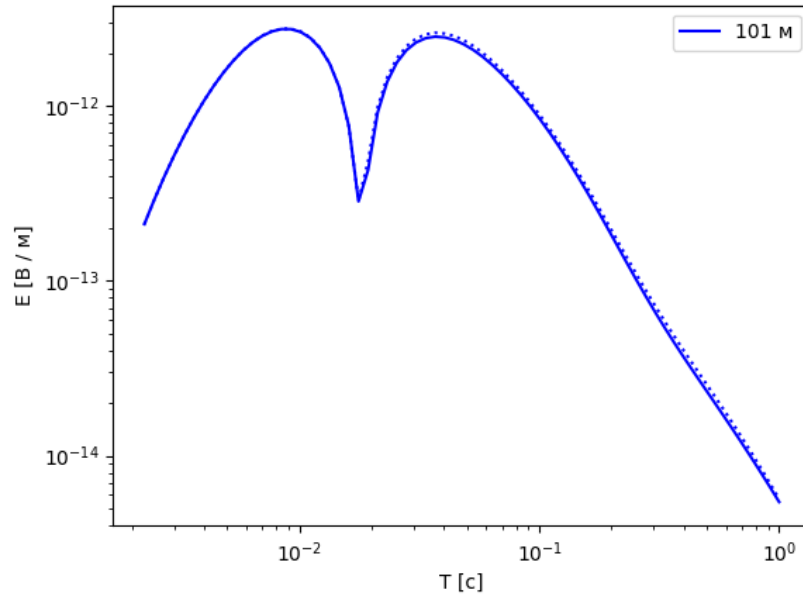


Рисунок 4.17 – Сравнение аномалии от двух объектов с суммой аномалий от одиночных объектов на приёмнике удалённом на 101 м

На рисунках 4.14 – 4.16 отчётливо видно, что пунктирная прямая, начиная примерно с 0.01 секунды, несколько выше, чем сплошная. Такую разницу можно объяснить явлением взаимоиндукции электромагнитных полей. Соответственно, такой учёт аномальных объектов при многоэтапном разделении полей не стоит применять если аномальные объекты находятся достаточно близко друг к другу.

## ЗАКЛЮЧЕНИЕ

В выпускной квалификационной работе была разработанная программа для расчёта электромагнитного поля в трёхмерном пространстве.

Для проверки корректности работы программы была проведена ее верификация на полиномиальных функциях и вектор-функциях. В процессе тестирования осесимметричной задачи было получено, что на полиномах первой степени задача решается без погрешности, однако начиная с полинома второй степени появлялась погрешность, которая уменьшалась при дроблении сетки. Был рассчитан порядок сходимости метода решения, который, как и предполагалось, оказался равен порядку сходимости билинейных базисных функций. В процессе тестирования трёхмерных задач векторным методом конечных элементов результат оказался аналогичный результату осесимметричной задачи.

Было проведено исследование на поведение электромагнитного поля, при добавлении аномалий в разные места горизонтально-слоистой среды многоэтапной схемой разделения полей. По итогам исследования была проведена оценка поведения поля при различном использовании схемы разделения. Порядок добавления аномалий в область не дал никакого влияния, т.е. порядок добавления объектов не имеет разницы при разделении полей. Также было выяснено, что при достаточно близком расположении аномальных объектов друг к другу может возникать явление взаимоиндукции двух тел. Соответственно, при использовании многоэтапной схемы разделения полей не рекомендуется пренебрегать учётом влияния других аномальных тел, расположенных на достаточно близком друг к другу расстоянии.

# СПИСОК ИСПОЛЬЗУЕМЫХ ИСТОЧНИКОВ

1. М.С. Жданов Электроразведка. - М.: Недра, 1986. - 316 с.
2. А.А. Логачев, В.П. Захаров Магниторазведка. - 5 изд. - Ленинград: Недра, 1979. - 350 с.
3. Pavel Solin Partial Differential Equations and the Finite Element Method. - Hoboken, New Jersey: A JOHN WILEY & SONS, INC., 2006.
4. А.Н. Тихонов, А.А. Самарский Уравнения математической физики: Учеб.пособие. / А.Н. Тихонов, А.А. Самарский — 6-е изд., — М: Изд-во МГУ, 1999 — 799 с.
5. М.Г. Персова, Ю.Г. Соловейчик, М.Г. Токарева, М.В. Абрамов 3D-моделирование процессов индукционной вызванной поляризации при возбуждении токовой петлей и проблема эквивалентности // Научный вестник НГТУ. - 2013. - №2(51). - С. 53 - 61.
6. М. Г. Персова, Ю. Г. Соловейчик, Г. М. Тригубович, М. В. Абрамов, А. А. Заборцева О вычислении трёхмерного нестационарного поля вертикальной электрической линии в удалённой обсаженной скважине // Сибирский журнал индустриальной математики. - 2007. - №3(31). - С. 114 - 127.
7. Ю.Г. Соловейчик, М.Э. Рояк, М.Г. Персова Метод конечных элементов для скалярных и векторных задач Учеб. пособие. — Новосибирск: Изд-во НГТУ, 2007 — 896 с.
8. М.Ю.Баландин, Э.П.Шурина Векторный метод конечных элементов: Учеб. пособие. - Новосибирск: Изд-во НГТУ, 2001 — 69 с.

9. М.Ю.Баландин, Э.П.Шурина Методы решения СЛАУ большой размерности: Учеб. пособие. - Новосибирск: Изд-во НГТУ, 2000 — 70 с.
10. М.Г. Персова, Ю.Г. Соловейчик, Д.В. Вагин, П.А. Домников, Ю.И. Кошкина Численные методы в уравнениях математической физики. - Новосибирск: Изд-во НГТУ, 2016 — 60 с.
11. Вагин Денис Владимирович Разработка методов конечноэлементного моделирования трехмерных электромагнитных полей на неструктурированных сетках: автореф. дис. канд. техн. наук: 05.13.18. - Новосибирск, 2012.
12. Тракимус Юрий Викторович Разработка и применение схем конечно-элементного моделирования электромагнитных полей в задачах электроразведки с использованием скважин: автореф. дис. канд. техн. наук: 05.13.18. - Новосибирск, 2007.
13. П.А. Домников Решение систем конечноэлементных уравнений при моделировании гармонических геоэлектромагнитных полей в трехмерных задачах морской электроразведки // Доклады Академии наук высшей школы Российской Федерации. - 2013. - №1 (20).

# ПРИЛОЖЕНИЕ 3. ТЕКСТ ПРОГРАММЫ

## Program.cs

```
1 using Project;
2 using System.Globalization;
3 using Solver;
4 using Processor;
5 using Grid;
6 using static Grid.MeshReader;
7 using static Grid.MeshGenerator;
8 using static Manager.FolderManager;
9 using DataStructs;
10
11 CultureInfo.CurrentCulture = CultureInfo.InvariantCulture;
12
13 string InputDirectory = Path.GetFullPath("../.../Data/Input/");
14 string SubtotalsDirectory = Path.GetFullPath("../.../Data/Subtotals/");
15 string OutputDirectory = Path.GetFullPath("../.../Data/Output/");
16 string PicturesDirectory = Path.GetFullPath("../.../Drawer/Pictures/");
17 bool isSolving2DimTask = Checker(OutputDirectory);
18
19 // Pre-processor. Clearing output folders.
20 if (isSolving2DimTask)
21     ClearFolders(new List<string> {SubtotalsDirectory + "/2_dim/",
22                                     PicturesDirectory + "/E_phi/",
23                                     PicturesDirectory + "/A_phi/",
24                                     OutputDirectory});
25
26 // Reading mesh.
27 ReadMesh(InputDirectory + "WholeMesh.txt");
28 ReadTimeMesh(InputDirectory + "Time.txt");
29
30 // Set receivers
31 List<Point3D> receivers = [new(681.9, -681.9, 0.0), new(1331.4, -1331.4, 0.0),
32                             new(1980.8, -1980.8, 0.0), new(2630.3, -2630.3, 0.0)];
33
34 Mesh3Dim mesh3D = new(NodesX, InfoAboutX, NodesY, InfoAboutY,
35                       NodesZ, InfoAboutZ, Elems, Borders);
36 Mesh2Dim mesh2D = new(NodesR, InfoAboutR, NodesZ, InfoAboutZ,
37                       Elems, Math.Sqrt(Math.Pow(mesh3D.nodesX[^1], 2) +
38                                             ↳ Math.Pow(mesh3D.nodesY[^1], 2)));
39 mesh2D.SetBorders(mesh3D.borders);
40 var timeMesh = GenerateTimeMesh(Time.Item1, Time.Item2, tn, tk);
41
42 // Main process of 2-dim task.
43 ConstructMesh(ref mesh2D);
44 FEM2D myFEM2D = new(mesh2D, timeMesh);
45 if (isSolving2DimTask)
46 {
47     myFEM2D.SetSolver(new LU_LOS());
48     myFEM2D.Solve();
49     myFEM2D.GenerateVectorEphi();
50     myFEM2D.WriteData(OutputDirectory);
51     myFEM2D.WritePointsToDraw(OutputDirectory + "ToDraw\\2_dim\\Aphi\\",
52                               ↳ OutputDirectory + "ToDraw\\2_dim\\Ephi\\");
53     myFEM2D.MeasureValuesOnReceivers(receivers, OutputDirectory +
54                                       ↳ "ToDraw\\2_dim\\Receivers\\");
55 }
56 else
57 {
58     myFEM2D.ReadAnswer(OutputDirectory);
59     Console.WriteLine("2D answer read");
60 }
61 myFEM2D.MeasureValuesOnReceivers(receivers, OutputDirectory +
62                                   ↳ "ToDraw\\2_dim\\Receivers\\");
63 ConstructMesh(ref mesh3D);
64 Console.WriteLine("3D mesh constructed");
```

```

62 FEM3D myFEM3D = new(mesh3D, timeMesh);
63 myFEM3D.ConvertResultTo3Dim(myFEM2D);
64 myFEM3D.GenerateVectorB();
65 Console.WriteLine("2D answer converted to 3D");
66
67 // Solving first layer: groundwater.
68 ReadAnomaly(InputDirectory + "Anomalies\\Anomaly1.txt");
69 Console.WriteLine("Anomaly read");
70
71 Mesh3Dim mesh3D_a1 = new(NodesX, InfoAboutX, NodesY, InfoAboutY,
72     NodesZ, InfoAboutZ, Elems, Borders);
73 mesh3D_a1.CommitAnomalyBorders(FieldBorders);
74 ConstructMeshAnomaly(ref mesh3D_a1, SubtotalsDirectory + "3_dim\\Anomaly0\\");
75 Console.WriteLine("Anomaly mesh built");
76 FEM3D fem3D_a1 = new(mesh3D_a1, timeMesh, myFEM3D, 0);
77 fem3D_a1.SetSolver(new LU_LOS(15_000, 1e-15));
78 Console.WriteLine("Solving begun");
79 fem3D_a1.Solve();
80 fem3D_a1.WriteData(OutputDirectory + $"A_phi\\Answer3D\\AfterField1\\");
81 Console.WriteLine("Solved");
82 fem3D_a1.GenerateVectorE();
83 Console.WriteLine("E generated");
84 myFEM3D.AddSolution(fem3D_a1);
85 myFEM3D.MeasureValuesOnReceivers(recivers, OutputDirectory +
    ↪ "ToDraw\\3_dim\\Receivers\\");
86
87 // Solving second layer: groundwater.
88 ReadAnomaly(InputDirectory + "Anomalies\\Anomaly2.txt");
89 Console.WriteLine("Anomaly read");
90 Mesh3Dim mesh3D_a2 = new(NodesX, InfoAboutX, NodesY, InfoAboutY,
91     NodesZ, InfoAboutZ, Elems, Borders);
92 mesh3D_a2.CommitAnomalyBorders(FieldBorders);
93 ConstructMeshAnomaly(ref mesh3D_a2, SubtotalsDirectory + "3_dim\\Anomaly1\\");
94 Console.WriteLine("Anomaly mesh built");
95 FEM3D fem3D_a2 = new(mesh3D_a2, timeMesh, myFEM3D, 1);
96 fem3D_a2.SetSolver(new LU_LOS(15_000, 1e-15));
97 Console.WriteLine("Solving begun");
98 fem3D_a2.Solve();
99 fem3D_a2.WriteData(OutputDirectory + $"A_phi\\Answer3D\\AfterField2\\");
100 Console.WriteLine("Solved");
101 fem3D_a2.GenerateVectorE();
102 Console.WriteLine("E generated");
103 myFEM3D.AddSolution(fem3D_a2);
104 myFEM3D.WriteDrawingForSecond(OutputDirectory + "ToDraw\\3_dim\\");
105 myFEM3D.MeasureValuesOnReceivers(recivers, OutputDirectory +
    ↪ "ToDraw\\3_dim\\Receivers\\");
106 Console.WriteLine($"{e}");
107
108 // Solving both anomalies.
109 ReadBothAnomalies(InputDirectory + "Anomalies\\AnomalyBoth.txt");
110 Console.WriteLine("Anomalies read");
111 Mesh3Dim mesh3D_ab = new(NodesX, InfoAboutX, NodesY, InfoAboutY,
112     NodesZ, InfoAboutZ, Elems, Borders);
113 mesh3D_ab.CommitAnomalyBorders(FieldBorders);
114 mesh3D_ab.CommitSecondAnomalyBorders(FieldBorders1);
115 ConstructMeshAnomaly(ref mesh3D_ab, SubtotalsDirectory + "3_dim\\Anomaly2\\");
116 Console.WriteLine("Anomalies mesh built");
117 FEM3D fem3D_ab = new(mesh3D_ab, timeMesh, myFEM3D, 2);
118 fem3D_ab.SetSolver(new LU_LOS(15_000, 1e-15));
119 Console.WriteLine("Solving begun");
120 fem3D_ab.Solve();
121 fem3D_ab.WriteData(OutputDirectory + $"A_phi\\Answer3D\\AfterFieldBoth\\");
122 Console.WriteLine("Solved");
123 fem3D_ab.GenerateVectorE();
124 Console.WriteLine("E generated");
125 myFEM3D.AddSolution(fem3D_ab);
126 myFEM3D.WriteDataToDraw2DimSolution(OutputDirectory + "ToDraw\\3_dim\\");
127 myFEM3D.MeasureValuesOnReceivers(recivers, OutputDirectory +
    ↪ "ToDraw\\3_dim\\Receivers\\");
128 return 0;
129
130 static bool Checker(string Answer)
131 {
132     if (CountFilesAmount(Answer + "A_phi/Answer/") == CountFilesAmount(Answer +
        ↪ "E_phi/Answer/"))

```

```

133     while (true)
134     {
135         string? ans;
136         Console.WriteLine("Detected answer for 2-dim task. Would you like to solve
            ↪ 2-dim task again? [Y/n]");
137         ans = Console.ReadLine()?.ToLower();
138         if (ans == "y" || ans == "yes" || ans == "да" || ans == "д")
139             return true;
140         else if (ans == "n" || ans == "no" || ans == "нет" || ans == "н")
141             return false;
142         Console.WriteLine("Unexpected answer!");
143     }
144     return true;
145 }

```

## LocalMatrix.cs

```

1  using DataStructs;
2  using static Functions.BasisFunctions2D;
3  using Solution;
4
5  namespace MathObjects;
6
7
8  public class LocalMatrix : Matrix
9  {
10     private TypeOfMatrixM _typeOfMatrixM;
11     private readonly double _lambda;
12     private readonly double _gamma;
13     private readonly double _rk;
14     private readonly double _hr;
15     private readonly double _hz;
16
17     public override double this[int i, int j]
18     {
19         get
20         {
21             if (i > 3 || j > 3) throw new IndexOutOfRangeException("Local matrix error.");
22             return _typeOfMatrixM switch
23             {
24                 TypeOfMatrixM.Mr => _gamma * (_Mr[i % 2, j % 2] * _Mz[i / 2, j / 2]),
25                 TypeOfMatrixM.Mrr => _lambda * (_Gr[i % 2, j % 2] * _Mz[i / 2, j / 2] +
                    ↪ _Mr[i % 2, j % 2] * _Gz[i / 2, j / 2]) +
                    _lambda * (_Mrr[i % 2, j % 2] * _Mz[i / 2, j / 2]),
26                 _ => throw new Exception("Unexpected matrix"),
27             };
28         }
29         set{}
30     }
31 }
32
33 private readonly double[,] _G = {{ 1.0, -1.0},
34                                   {-1.0, 1.0}};
35 private readonly double[,] _Mz = {{2.0, 1.0},
36                                   {1.0, 2.0}};
37 private readonly double[,] _Mr1;
38 private readonly double[,] _Mir = {{2.0, 1.0},
39                                   {1.0, 2.0}};
40 private readonly double[,] _M2r = {{1.0, 1.0},
41                                   {1.0, 3.0}};
42 private readonly double[,] _Mr2 = {{-3.0D, 1.0D},
43                                   { 1.0D, 1.0D}};
44 private readonly double[,] _Gr = new double[2, 2];
45 private readonly double[,] _Mr = new double[2, 2];
46 private readonly double[,] _Gz = new double[2, 2];
47 private readonly double[,] _Mrr = new double[2, 2];
48 double[,] matr = new double[4, 4];
49
50 public LocalMatrix(double lambda, double rk, double hz, double hr)
51 {
52     _rk = rk;
53     _hr = hr;
54     _hz = hz;
55     double _d = _rk / _hr;

```



```

56     _lambda = lambda;
57     _gamma = _lambda;
58     _Mr1 = new double[2,2] {{ (1 + _d) * (1 + _d), -1.0 * _d * (1 + _d)},
59                             {-1.0 * _d * (1 + _d), _d * _d}};
60     _typeOfMatrixM = TypeOfMatrixM.Mrr;
61     for (int i = 0; i < 2; i++)
62     {
63         for (int j = 0; j < 2; j++)
64         {
65             _Gr[i, j] = ((_rk + _hr / 2.0D) / _hr) * _G[i, j];
66             _Mr[i, j] = (_hr / 6.0D) * (_rk * _M1r[i, j] + (_hr / 2.0D) * _M2r[i, j]);
67             _Mrr[i, j] = Math.Log(1.0D + 1.0D / _d) * _Mr1[i, j] - _d * _G[i, j] +
68                 ↪ 0.5 * _Mr2[i, j];
69             _Gz[i, j] = _G[i, j] / _hz;
70             _Mz[i, j] = (_hz / 6.0D) * _Mz[i, j];
71         }
72     }
73
74     public LocalMatrix(List<int> elem, ArrayOfPoints2D arrPt, TypeOfMatrixM
75     ↪ typeOfMatrixM, double lambda = 0.0D, double gamma = 0.0D)
76     {
77         _typeOfMatrixM = typeOfMatrixM;
78         _rk = arrPt[elem[0]].R;
79         _hr = arrPt[elem[1]].R - arrPt[elem[0]].R;
80         _hz = arrPt[elem[2]].Z - arrPt[elem[0]].Z;
81         double _d = _rk / _hr;
82         _lambda = 1.0D / lambda;
83         _gamma = gamma;
84         _Mr1 = new double[2,2] {{ (1 + _d) * (1 + _d), -1.0 * _d * (1 + _d)},
85                                 {-1.0 * _d * (1 + _d), _d * _d}};
86
87         for (int i = 0; i < 2; i++)
88         {
89             for (int j = 0; j < 2; j++)
90             {
91                 _Gr[i, j] = ((_rk + _hr / 2.0D) / _hr) * _G[i, j];
92                 _Mr[i, j] = (_hr / 6.0D) * (_rk * _M1r[i, j] + (_hr / 2.0D) * _M2r[i, j]);
93                 _Mrr[i, j] = Math.Log(1.0D + 1.0D / _d) * _Mr1[i, j] - _d * _G[i, j] +
94                     ↪ 0.5 * _Mr2[i, j];
95                 _Gz[i, j] = _G[i, j] / _hz;
96                 _Mz[i, j] = (_hz / 6.0D) * _Mz[i, j];
97             }
98         }
99     }

```

## LocalVector.cs

```

1  using System.Drawing;
2  using DataStructs;
3  using Functions;
4
5  namespace MathObjects;
6
7  public class LocalVector : Vector
8  {
9
10     private readonly double _r0;
11     private readonly double _r1;
12     private readonly double _z0;
13     private readonly double _z1;
14     private readonly double _hr;
15     private readonly double _hz;
16     private readonly double _t;
17     public override int Size => 4;
18
19     private readonly double[,] _M2R = {{1.0D, 1.0D},
20                                         {1.0D, 3.0D}};
21     private readonly double[,] _Mz = {{2.0D, 1.0D},
22                                         {1.0D, 2.0D}};
23     private readonly double[,] _M1R = {{2.0D, 1.0D},
24                                         {1.0D, 2.0D}};

```

```

25
26 public override double this[int i] => i switch
27 {
28     0 => _Mr[0, 0] * _Mz[0, 0] * Function.F(_r0, _z0, _t) +
29         _Mr[0, 1] * _Mz[0, 0] * Function.F(_r1, _z0, _t) +
30         _Mr[0, 0] * _Mz[0, 1] * Function.F(_r0, _z1, _t) +
31         _Mr[0, 1] * _Mz[0, 1] * Function.F(_r1, _z1, _t),
32
33     1 => _Mr[1, 0] * _Mz[0, 0] * Function.F(_r0, _z0, _t) +
34         _Mr[1, 1] * _Mz[0, 0] * Function.F(_r1, _z0, _t) +
35         _Mr[1, 0] * _Mz[0, 1] * Function.F(_r0, _z1, _t) +
36         _Mr[1, 1] * _Mz[0, 1] * Function.F(_r1, _z1, _t),
37
38     2 => _Mr[0, 0] * _Mz[1, 0] * Function.F(_r0, _z0, _t) +
39         _Mr[0, 1] * _Mz[1, 0] * Function.F(_r1, _z0, _t) +
40         _Mr[0, 0] * _Mz[1, 1] * Function.F(_r0, _z1, _t) +
41         _Mr[0, 1] * _Mz[1, 1] * Function.F(_r1, _z1, _t),
42
43     3 => _Mr[1, 0] * _Mz[1, 0] * Function.F(_r0, _z0, _t) +
44         _Mr[1, 1] * _Mz[1, 0] * Function.F(_r1, _z0, _t) +
45         _Mr[1, 0] * _Mz[1, 1] * Function.F(_r0, _z1, _t) +
46         _Mr[1, 1] * _Mz[1, 1] * Function.F(_r1, _z1, _t),
47
48     _ => throw new IndexOutOfRangeException("Vector out of index"),
49 };
50
51 private double[,] _Mr = new double[2, 2];
52
53 public LocalVector(List<int> elem, ArrayOfPoints2D arrPt, double t)
54 {
55     _r0 = arrPt[elem[0]].R;
56     _r1 = arrPt[elem[1]].R;
57     _t = t;
58
59     _z0 = arrPt[elem[0]].Z;
60     _z1 = arrPt[elem[2]].Z;
61     _hr = _r1 - _r0;
62     _hz = _z1 - _z0;
63
64     for (int i = 0; i < 2; i++)
65     {
66         for (int j = 0; j < 2; j++)
67         {
68             _Mr[i, j] = (_hr / 6.0) * (_r0 * _M1R[i, j] + (_hr / 2.0) * _M2R[i, j]);
69             _Mz[i, j] = (_hz / 6.0) * _Mz[i, j];
70         }
71     }
72 }
73
74 private void WriteVector()
75 {
76     for (int i = 0; i < 4; i++)
77         Console.WriteLine($"{this[i]:E5}");
78 }
79
80 public LocalVector(double r0, double r1, double z0, double z1)
81 {
82     _r0 = r0;
83     _r1 = r1;
84     _z0 = z0;
85     _z1 = z1;
86     _hr = _r1 - _r0;
87     _hz = _z1 - _z0;
88 }
89 }

```

## FEM.cs

```

1 namespace Project;
2 using System.Collections.Immutable;
3 using System.Numerics;
4 using MathObjects;
5 using Solver;

```

```

6  using Grid;
7  using DataStructs;
8  using System.Diagnostics;
9  using Functions;
10 using System.ComponentModel.DataAnnotations;
11 using System.Timers;
12
13 public enum EquationType
14 {
15     Elliptic,
16     Parabolic
17 }
18
19 public abstract class FEM(TimeMesh time)
20 {
21     protected static string _3dValuesPath =
22         ↪ Path.GetFullPath("../Data/Subtotals/3_dim/");
23     protected static string _elemspath2D =
24         ↪ Path.GetFullPath("../Data/Subtotals/2_dim/Elms.poly");
25     protected static string _pointspath2D =
26         ↪ Path.GetFullPath("../Data/Subtotals/2_dim/Points.poly");
27     protected static string _borderspath2D =
28         ↪ Path.GetFullPath("../Data/Subtotals/2_dim/Borders.poly");
29     protected static string _elemspath3D =
30         ↪ Path.GetFullPath("../Data/Subtotals/3_dim/Elms.poly");
31     protected static string _pointspath3D =
32         ↪ Path.GetFullPath("../Data/Subtotals/3_dim/Points.poly");
33     protected static string _borderspath3D =
34         ↪ Path.GetFullPath("../Data/Subtotals/3_dim/Borders.poly");
35
36     public TimeMesh Time = time;
37     protected internal EquationType equationType;
38     public ISolver? solver;
39     public ArrayOfElms elemsArr;
40     public ArrayOfBorders bordersArr;
41     public GlobalMatrix? Matrix;
42     public GlobalVector? Vector;
43     public GlobalVector? Answer;
44     public GlobalVector[] Solutions = new GlobalVector[time.Count];
45     public GlobalVector[] Discrepancy = new GlobalVector[time.Count];
46
47     public void SetSolver(ISolver solver)
48     {
49         this.solver = solver;
50         Debug.WriteLine("Solvset set");
51     }
52 }

```

## FEM2D.cs

```

1  using MathObjects;
2  using DataStructs;
3  using Grid;
4  using System.Diagnostics;
5  using Functions;
6
7  namespace Project;
8
9  public class FEM2D : FEM
10 {
11     public ArrayOfPoints2D pointsArr = new(_pointspath2D);
12
13     public FEM2D(Mesh2Dim mesh, TimeMesh timeMesh) : base(timeMesh)
14     {
15         mesh2Dim = mesh;
16         if (timeMesh[0] == timeMesh[~1])
17             equationType = EquationType.Elliptic;
18         else
19             equationType = EquationType.Parabolic;
20
21         elemsArr = new(_elemspath2D);
22         bordersArr = new(_borderspath2D);
23
24         A_phi = new GlobalVector[Time.Count];

```

```

25     E_phi = new GlobalVector[Time.Count];
26     Debug.WriteLine("Generated data submitted");
27 }
28
29 private readonly Mesh2Dim mesh2Dim;
30 public GlobalVector[] A_phi;
31 public GlobalVector[] E_phi;
32
33 public void Solve()
34 {
35     if (solver is null) throw new ArgumentNullException("solver is null !");
36     if (Time is null) throw new ArgumentNullException("Time is null!");
37
38     Stopwatch solutionStopwatch = new();
39     solutionStopwatch.Start();
40
41     Debug.WriteLine($"Time layer: before BC");
42     Thread.Sleep(1500);
43
44     Matrix = new GlobalMatrix(pointsArr.GetLength());
45     Generator.BuildPortait(ref Matrix, pointsArr.GetLength(), elemsArr);
46     Generator.FillMatrix(ref Matrix, pointsArr, elemsArr, TypeOfMatrixM.Mrr);
47
48     Vector = new GlobalVector(pointsArr.GetLength());
49     Generator.FillVector(ref Vector, pointsArr, elemsArr, Time[0]);
50
51     Generator.ConsiderBoundaryConditions(ref Matrix, ref Vector, pointsArr,
52     ↪ bordersArr, Time[0]);
53     (Solutions[0], Discrepancy[0]) = solver.Solve(Matrix, Vector);
54
55     if (Time.Count > 1)
56     {
57         (Solutions[1], Discrepancy[1]) = (Solutions[0], Discrepancy[0]);
58         if (Time.Count > 2)
59         for (int i = 2; i < Time.Count; i++)
60         {
61             Console.WriteLine($"Time layer: {Time[i]}");
62             //Thread.Sleep(1500);
63
64             double delT = Time[i] - Time[i - 2];
65             double delT0 = Time[i] - Time[i - 1];
66             double delT1 = Time[i - 1] - Time[i - 2];
67             double tau0 = (delT + delT0) / (delT * delT0);
68             double tau1 = delT / (delT1 * delT0);
69             double tau2 = delT0 / (delT * delT1);
70             double delT = Time[i] - Time[i - 1];
71             double tau = 1.0D / delT;
72
73             var matrix1 = new GlobalMatrix(pointsArr.GetLength());
74             Generator.BuildPortait(ref matrix1, pointsArr.GetLength(), elemsArr);
75             Generator.FillMatrix(ref matrix1, pointsArr, elemsArr, TypeOfMatrixM.Mrr);
76             var M = new GlobalMatrix(pointsArr.GetLength()); // ???
77             Generator.BuildPortait(ref M, pointsArr.GetLength(), elemsArr);
78             Generator.FillMatrix(ref M, pointsArr, elemsArr, TypeOfMatrixM.Mr);
79
80             var bi = new GlobalVector(pointsArr.GetLength());
81             Matrix = (tau0 * M) + matrix1;
82             Vector = bi + (tau1 * (M * Solutions[i - 1])) - (tau2 * (M * Solutions[i
83             ↪ - 2]));
84             Generator.ConsiderBoundaryConditions(ref Matrix, ref Vector, pointsArr,
85             ↪ bordersArr, Time[i]);
86             (Solutions[i], Discrepancy[i]) = solver.Solve(Matrix, Vector);
87         }
88     }
89     A_phi = Solutions;
90     solutionStopwatch.Stop();
91     var milseconds = solutionStopwatch.ElapsedMilliseconds;
92     Console.WriteLine($"Lin eq solved for {milseconds / 60000} min {(milseconds %
93     ↪ 60000) / 1000} sec");
94 }
95
96 public void WriteData()
97 {
98     if (Answer is null)
99         throw new Exception("Vector _answer is null");

```

```

96         for (int i = 0; i < Answer.Size; i++)
97             Console.WriteLine($"{Answer[i]:E15}");
98     }
99
100     public void WriteData(string _path)
101     {
102         if (A_phi is null) throw new ArgumentNullException();
103         if (E_phi is null) throw new ArgumentNullException();
104
105         if (Time.Count != 1)
106         {
107             for (int i = 0; i < Time.Count; i++)
108             {
109                 using var sw = new StreamWriter($"{_path}\\A_phi\\Answer\\Answer_Aphi_tim_
110                     ↪ e={Time[i]}.dat");
111                 for (int j = 0; j < A_phi[i].Size; j++)
112                     sw.WriteLine($"{A_phi[i][j]:E8}");
113                 sw.Close();
114             }
115             for (int i = 0; i < Time.Count; i++)
116             {
117                 using var sw = new StreamWriter($"{_path}\\E_phi\\Answer\\Answer_Ephi_tim_
118                     ↪ e={Time[i]}.dat");
119                 for (int j = 0; j < E_phi[i].Size; j++)
120                     sw.WriteLine($"{E_phi[i][j]:E8}");
121                 sw.Close();
122             }
123         }
124         else
125         {
126             using var sw = new StreamWriter($"{_path}\\A_phi\\Answer\\Answer.dat");
127             for (int j = 0; j < A_phi[0].Size; j++)
128                 sw.WriteLine($"{A_phi[0][j]:E8}");
129             sw.Close();
130             using var sw1 = new StreamWriter($"{_path}\\E_phi\\Answer\\Answer.dat");
131             for (int j = 0; j < E_phi[0].Size; j++)
132                 sw1.WriteLine($"{E_phi[0][j]:E8}");
133             sw1.Close();
134         }
135     }
136
137     public void WriteDiscrepancy(string _path)
138     {
139         if (A_phi is null) throw new ArgumentNullException();
140         if (E_phi is null) throw new ArgumentNullException();
141
142         if (Time.Count != 1)
143         {
144             for (int i = 0; i < Time.Count; i++)
145             {
146                 using var sw_d = new StreamWriter($"{_path}\\A_phi\\Discrepancy\\Discrepa_
147                     ↪ ncy_Aphi_time={Time[i]}.dat");
148
149                 int NotNaNamount = 0;
150                 double maxDisc = 0.0;
151                 double avgDisc = 0.0;
152                 double sumU = 0.0D;
153                 double sumD = 0.0D;
154
155                 List<double> TheorAnswer = [];
156                 foreach (var Z in mesh2Dim.nodesZ)
157                     foreach (var R in mesh2Dim.nodesR)
158                         TheorAnswer.Add(Function.U(R, Z, Time[i]));
159
160                 for (int j = 0; j < A_phi[i].Size; j++)
161                 {
162                     double absDiff = Math.Abs(A_phi[i][j] - TheorAnswer[j]);
163                     double currDisc = Math.Abs((A_phi[i][j] - TheorAnswer[j]) /
164                         ↪ TheorAnswer[j]);
165
166                     if (Math.Abs(maxDisc) < Math.Abs(currDisc))
167                         maxDisc = currDisc;
168
169                     if (!double.IsNaN(currDisc) && currDisc > 1E-14)
170                     {

```

```

167         avgDisc += currDisc;
168         NotNaNamount++;
169         sumU += absDiff * absDiff;
170         sumD += TheorAnswer[j] * TheorAnswer[j];
171     }
172     sw_d.WriteLine($"{absDiff:E8} {currDisc:E8}");
173 }
174 avgDisc = Math.Sqrt(sumU) / Math.Sqrt(sumD);
175 sw_d.WriteLine($"Средняя невязка: {avgDisc:E15}");
176 sw_d.WriteLine($"Максимальная невязка: {maxDisc:E15}");
177 sw_d.WriteLine($"C: {avgDisc:E7}");
178 sw_d.WriteLine($"M: {maxDisc:E7}");
179 sw_d.Close();
180 }
181 }
182 else
183 {
184     using var sw_d = new
185         ↳ StreamWriter($"{_path}\\A_phi\\Discrepancy\\Discrepancy_Aphi.dat");
186
187     int NotNaNamount = 0;
188     double maxDisc = 0.0;
189     double avgDisc = 0.0;
190     double sumU = 0.0D;
191     double sumD = 0.0D;
192     List<double> TheorAnswer = [];
193     foreach (var Z in mesh2Dim.nodesZ)
194         foreach (var R in mesh2Dim.nodesR)
195             TheorAnswer.Add(Function.U(R, Z, 0.0D));
196     for (int j = 0; j < A_phi[0].Size; j++)
197     {
198         double absDiff = Math.Abs(A_phi[0][j] - TheorAnswer[j]);
199         double currDisc = Math.Abs((A_phi[0][j] - TheorAnswer[j]) /
200             ↳ TheorAnswer[j]);
201
202         if (Math.Abs(maxDisc) < Math.Abs(currDisc))
203             maxDisc = currDisc;
204
205         if (!double.IsNaN(currDisc) && currDisc > 1E-14)
206         {
207             avgDisc += currDisc;
208             NotNaNamount++;
209             sumU += absDiff * absDiff;
210             sumD += TheorAnswer[j] * TheorAnswer[j];
211         }
212         sw_d.WriteLine($"{absDiff:E8} {currDisc:E8}");
213     }
214     avgDisc = Math.Sqrt(sumU) / Math.Sqrt(sumD);
215     sw_d.WriteLine($"Средняя невязка: {avgDisc:E15}");
216     sw_d.WriteLine($"Максимальная невязка: {maxDisc:E15}");
217     sw_d.WriteLine($"C: {avgDisc:E7}");
218     sw_d.WriteLine($"M: {maxDisc:E7}");
219     sw_d.Close();
220 }
221 }
222
223 public void GenerateVectorEphi()
224 {
225     E_phi = new GlobalVector[A_phi.Length];
226     for (int i = 0; i < E_phi.Length; i++)
227     {
228         if (i == 0)
229             E_phi[i] = new GlobalVector(A_phi[i].Size);
230         else
231             E_phi[i] = -1.0D / (Time[i] - Time[i - 1]) * (A_phi[i] - A_phi[i - 1]);
232     }
233 }
234
235 internal List<int>? GetElem(double r, double z)
236 {
237     if (r < mesh2Dim.nodesR[0] || mesh2Dim.nodesR[^1] < r || z < mesh2Dim.nodesZ[0]
238         ↳ || mesh2Dim.nodesZ[^1] < z)
239         return null;
240     int i = 0;
241     for (; i < mesh2Dim.nodesR.Count - 1 && r >= 0.001; i++)
242         if (mesh2Dim.nodesR[i] <= r && r <= mesh2Dim.nodesR[i + 1])

```

```

240         break;
241     int j = 0;
242     for (; j < mesh2Dim.nodesZ.Count - 1; j++)
243         if (mesh2Dim.nodesZ[j] <= z && z <= mesh2Dim.nodesZ[j + 1])
244             break;
245     return elemsArr[j * (mesh2Dim.nodesR.Count - 1) + i].Arr;
246 }
247
248 public double GetA_phiAt(double r, double z, double t)
249 {
250     for (int tt = 0; tt < Time.Count; tt++)
251     {
252         if (Time[tt] == t)
253         {
254             var elem = GetElem(r, z);
255             if (elem is null) return 0.0D;
256             double[] q = new double[4];
257             for (int i = 0; i < 4; i++)
258                 q[i] = A_phi[tt][elem[i]];
259             double r0 = pointsArr[elem[0]].R;
260             double r1 = pointsArr[elem[3]].R;
261             double z0 = pointsArr[elem[0]].Z;
262             double z1 = pointsArr[elem[3]].Z;
263             return BasisFunctions2D.GetValue(q[0], q[1], q[2], q[3], r0, r1, z0, z1,
264                 ↪ r, z);
265         }
266     }
267     throw new Exception("Out of mesh borders");
268 }
269
270 public double GetE_phiAt(double r, double z, double t)
271 {
272     for (int tt = 0; tt < Time.Count; tt++)
273     {
274         if (Time[tt] == t)
275         {
276             var elem = GetElem(r, z);
277             if (elem is null) return 0.0D;
278             double[] q = new double[4];
279             for (int i = 0; i < 4; i++)
280                 q[i] = E_phi[tt][elem[i]];
281             double r0 = pointsArr[elem[0]].R;
282             double r1 = pointsArr[elem[3]].R;
283             double z0 = pointsArr[elem[0]].Z;
284             double z1 = pointsArr[elem[3]].Z;
285             return BasisFunctions2D.GetValue(q[0], q[1], q[2], q[3], r0, r1, z0, z1,
286                 ↪ r, z);
287         }
288     }
289     throw new Exception("Out of mesh borders");
290 }
291
292 public void ReadAnswer(string AnswerPath)
293 {
294     string file = string.Empty;
295     if (equationType == EquationType.Elliptic)
296     {
297         file = "Answer.dat";
298         var fileData = File.ReadAllText(AnswerPath + "A_phi/Answer/" +
299             ↪ file).Split("\n");
300         A_phi[0] = new GlobalVector(fileData.Length - 1);
301         for (int i = 0; i < fileData.Length - 1; i++)
302             A_phi[0][i] = double.Parse(fileData[i]);
303         fileData = File.ReadAllText(AnswerPath + "E_phi/Answer/" + file).Split("\n");
304         E_phi[0] = new GlobalVector(fileData.Length - 1);
305         for (int i = 0; i < fileData.Length - 1; i++)
306             E_phi[0][i] = double.Parse(fileData[i]);
307     }
308     else
309     {
310         for (int t = 0; t < Time.Count; t++)
311         {
312             file = $"Answer_Aphi_time={Time[t]}.dat";
313             var fileData = File.ReadAllText(AnswerPath + "A_phi/Answer/" +
314                 ↪ file).Split("\n");

```

```

311         A_phi[t] = new GlobalVector(fileData.Length - 1);
312         for (int i = 0; i < fileData.Length - 1; i++)
313             A_phi[t][i] = double.Parse(fileData[i]);
314         file = $"Answer_Ephi_time={Time[t]}.dat";
315         fileData = File.ReadAllText(AnswerPath + "E_phi/Answer/" +
            ↪ file).Split("\n");
316         E_phi[t] = new GlobalVector(fileData.Length - 1);
317         for (int i = 0; i < fileData.Length - 1; i++)
318             E_phi[t][i] = double.Parse(fileData[i]);
319     }
320 }
321 }
322
323 public void MeasureValuesOnReceivers(List<Point3D> receivers, string OutputPath)
324 {
325     using var sw_a = new StreamWriter(OutputPath + "A.txt");
326     using var sw_e = new StreamWriter(OutputPath + "E.txt");
327     List<(double, double)> pnt2D = [];
328     foreach (var receiver in receivers)
329     {
330         pnt2D.Add((Math.Sqrt(receiver.X * receiver.X + receiver.Y * receiver.Y),
            ↪ receiver.Z));
331     }
332     for (int t = 0; t < Time.Count; t++)
333     {
334         var a_a = GetA_phiAt(pnt2D[0].Item1, pnt2D[0].Item2, Time[t]);
335         var b_a = GetA_phiAt(pnt2D[1].Item1, pnt2D[1].Item2, Time[t]);
336         var c_a = GetA_phiAt(pnt2D[2].Item1, pnt2D[2].Item2, Time[t]);
337         var d_a = GetA_phiAt(pnt2D[3].Item1, pnt2D[3].Item2, Time[t]);
338         var a_e = GetE_phiAt(pnt2D[0].Item1, pnt2D[0].Item2, Time[t]);
339         var b_e = GetE_phiAt(pnt2D[1].Item1, pnt2D[1].Item2, Time[t]);
340         var c_e = GetE_phiAt(pnt2D[2].Item1, pnt2D[2].Item2, Time[t]);
341         var d_e = GetE_phiAt(pnt2D[3].Item1, pnt2D[3].Item2, Time[t]);
342         sw_a.WriteLine($"{Time[t]} {a_a} {b_a} {c_a} {d_a}");
343         sw_e.WriteLine($"{Time[t]} {a_e} {b_e} {c_e} {d_e}");
344     }
345     sw_a.Close();
346     sw_e.Close();
347 }
348
349 public void WritePointsToDraw(string pathA, string pathE)
350 {
351     double hr = (mesh2Dim.nodesR[^1] - mesh2Dim.nodesR[0]) / 150;
352     double hz = (mesh2Dim.nodesZ[^1] - mesh2Dim.nodesZ[0]) / 150;
353     for (int t = 0; t < Time.Count; t++)
354     {
355         using var swa = new StreamWriter(pathA + $"Answer_A_time_layer_{t}.txt");
356         for (int j = 0; j < 150; j++)
357         {
358             for (int i = 0; i < 150; i++)
359             {
360                 double rCurr = mesh2Dim.nodesR[0] + i * hr;
361                 double zCurr = mesh2Dim.nodesZ[0] + j * hz;
362                 swa.WriteLine($"{rCurr:E15} {zCurr:E15} {GetA_phiAt(rCurr, zCurr,
                    ↪ Time[t]):E15}");
363             }
364         }
365         swa.Close();
366     }
367     for (int t = 0; t < Time.Count; t++)
368     {
369         using var swe = new StreamWriter(pathE + $"Answer_E_time_layer_{t}.txt");
370         for (int j = 0; j < 150; j++)
371         {
372             for (int i = 0; i < 150; i++)
373             {
374                 double rCurr = mesh2Dim.nodesR[0] + i * hr;
375                 double zCurr = mesh2Dim.nodesZ[0] + j * hz;
376                 swe.WriteLine($"{rCurr:E15} {zCurr:E15} {GetE_phiAt(rCurr, zCurr,
                    ↪ Time[t]):E15}");
377             }
378         }
379         swe.Close();
380     }
381 }

```



## FEM3D.cs

```

1  using MathObjects;
2  using Grid;
3  using DataStructs;
4  using Functions;
5  using System.Diagnostics;
6
7
8
9  namespace Project;
10
11 public class FEM3D : FEM
12 {
13     private static readonly double mu0 = 4.0D * Math.PI * Math.Pow(10.0D, -7);
14     public ArrayOfPoints3D pointsArr;
15     public List<GlobalVector> A;
16     public List<GlobalVector> E;
17     public List<GlobalVector> B;
18     public List<GlobalVector> H;
19     public ArrayOfRibs? ribsArr;
20     private readonly Mesh3Dim mesh3Dim;
21     private GlobalMatrix? G;
22     List<FEM3D> additionalFields = [];
23     private readonly FEM3D? _originalFEM;
24     private List<GlobalVector>? _originalE;
25     private GlobalMatrix? M;
26     internal static List<int> ConvertGlobalToLocalNumeration(List<int> global) =>
27         [global[0], global[3], global[8], global[11],
28          global[1], global[2], global[9], global[10],
29          global[4], global[5], global[6], global[7]];
30
31     public FEM3D(Mesh3Dim mesh, TimeMesh timeMesh) : base(timeMesh)
32     {
33         string pointsPath = _3dValuesPath + $"AfterConvertation\\Points.poly";
34         string elemsPath = _3dValuesPath + $"AfterConvertation\\Elems.poly";
35         string bordersPath = _3dValuesPath + $"AfterConvertation\\Borders.poly";
36         pointsArr = new ArrayOfPoints3D(pointsPath);
37         elemsArr = new(elemsPath, 3);
38         bordersArr = new(bordersPath, 3);
39         ribsArr = mesh.arrayOfRibs;
40         equationType = timeMesh[0] == timeMesh[1] ? EquationType.Elliptic :
41             ↪ EquationType.Parabolic;
42         A = [];
43         E = [];
44         B = [];
45         H = [];
46         mesh3Dim = mesh;
47     }
48
49     public FEM3D(Mesh3Dim mesh, TimeMesh timeMesh, FEM3D originalFEM, int Num) :
50         ↪ base(timeMesh)
51     {
52         string pointsPath = _3dValuesPath + $"Anomaly{Num}\\Points.poly";
53         string elemsPath = _3dValuesPath + $"Anomaly{Num}\\Elems.poly";
54         string bordersPath = _3dValuesPath + $"Anomaly{Num}\\Borders.poly";
55         pointsArr = new(pointsPath);
56         elemsArr = new(elemsPath, 3);
57         bordersArr = new(bordersPath, 3);
58         ribsArr = mesh.arrayOfRibs;
59         _originalFEM = originalFEM;
60         _originalE = [];
61         equationType = timeMesh[0] == timeMesh[1] ? EquationType.Elliptic :
62             ↪ EquationType.Parabolic;
63         A = [];
64         E = [];
65         B = [];
66         H = [];
67         mesh3Dim = mesh;
68         ConstructMatrixes();
69     }
70
71     public (double, double, double) GetAAAt(double x, double y, double z, double t)
72     {
73         if (ribsArr is null) throw new ArgumentNullException("Array of ribs not
74             ↪ generated");
75     }

```

```

71     for (int tt = 0; tt < Time.Count; tt++)
72         if (Time[tt] == t)
73         {
74             var arr = GetElem(x, y, z);
75             if (arr is null) return (0.0D, 0.0D, 0.0D);
76             var elem = ConvertGlobalToLocalNumeration(arr);
77             double[] q = new double[12];
78             for (int i = 0; i < 12; i++)
79                 q[i] = A[tt][elem[i]];
80             double x0 = ribsArr[elem[0]].a.X;
81             double x1 = ribsArr[elem[0]].b.X;
82             double y0 = ribsArr[elem[4]].a.Y;
83             double y1 = ribsArr[elem[4]].b.Y;
84             double z0 = ribsArr[elem[8]].a.Z;
85             double z1 = ribsArr[elem[8]].b.Z;
86             double eps = (x - x0) / (x1 - x0);
87             double nu = (y - y0) / (y1 - y0);
88             double khi = (z - z0) / (z1 - z0);
89             var ans = BasisFunctions3DVec.GetValue(eps, nu, khi, q);
90             foreach (var solution in additionalFields)
91             {
92                 var arrCurr = solution.GetElem(x, y, z);
93                 if (arrCurr is null) continue;
94                 var elemCurr = ConvertGlobalToLocalNumeration(arrCurr);
95                 double[] qCurr = new double[12];
96                 for (int ii = 0; ii < 12; ii++)
97                     qCurr[ii] = solution.A[tt][elemCurr[ii]];
98                 double x0Curr = solution.ribsArr[elemCurr[0]].a.X;
99                 double x1Curr = solution.ribsArr[elemCurr[0]].b.X;
100                 double y0Curr = solution.ribsArr[elemCurr[4]].a.Y;
101                 double y1Curr = solution.ribsArr[elemCurr[4]].b.Y;
102                 double z0Curr = solution.ribsArr[elemCurr[8]].a.Z;
103                 double z1Curr = solution.ribsArr[elemCurr[8]].b.Z;
104                 double epsCurr = (x - x0Curr) / (x1Curr - x0Curr);
105                 double nuCurr = (y - y0Curr) / (y1Curr - y0Curr);
106                 double khiCurr = (z - z0Curr) / (z1Curr - z0Curr);
107                 var ansCurr = BasisFunctions3DVec.GetValue(epsCurr, nuCurr, khiCurr,
108                     ↪ qCurr);
109                 ans.Item1 += ansCurr.Item1;
110                 ans.Item2 += ansCurr.Item2;
111                 ans.Item3 += ansCurr.Item3;
112             }
113             return ans;
114         }
115     }
116     throw new Exception("Out of mesh borders");
117 }
118
119 public (double, double, double) AdditioanalGetEAt(double x, double y, double z,
120     ↪ double t)
121 {
122     if (ribsArr is null) throw new ArgumentNullException("Array of ribs not
123     ↪ generated");
124     for (int tt = 0; tt < Time.Count; tt++)
125         if (Time[tt] == t)
126         {
127             var ans = (0.0D, 0.0D, 0.0D);
128             foreach (var solution in additionalFields)
129             {
130                 var arrCurr = solution.GetElem(x, y, z);
131                 if (arrCurr is null) continue;
132                 var elemCurr = ConvertGlobalToLocalNumeration(arrCurr);
133                 double[] qCurr = new double[12];
134                 for (int ii = 0; ii < 12; ii++)
135                     qCurr[ii] = solution.E[tt][elemCurr[ii]];
136                 double x0Curr = solution.ribsArr[elemCurr[0]].a.X;
137                 double x1Curr = solution.ribsArr[elemCurr[0]].b.X;
138                 double y0Curr = solution.ribsArr[elemCurr[4]].a.Y;
139                 double y1Curr = solution.ribsArr[elemCurr[4]].b.Y;
140                 double z0Curr = solution.ribsArr[elemCurr[8]].a.Z;
141                 double z1Curr = solution.ribsArr[elemCurr[8]].b.Z;
142                 double epsCurr = (x - x0Curr) / (x1Curr - x0Curr);
143                 double nuCurr = (y - y0Curr) / (y1Curr - y0Curr);
144                 double khiCurr = (z - z0Curr) / (z1Curr - z0Curr);
145                 var ansCurr = BasisFunctions3DVec.GetValue(epsCurr, nuCurr, khiCurr,
146                     ↪ qCurr);

```

```

142         ans.Item1 += ansCurr.Item1;
143         ans.Item2 += ansCurr.Item2;
144         ans.Item3 += ansCurr.Item3;
145     }
146     return ans;
147 }
148 throw new Exception("Out of mesh borders");
149 }
150
151 public (double, double, double) GetEAt(double x, double y, double z, double t)
152 {
153     if (ribsArr is null) throw new ArgumentNullException("Array of ribs not
154     ↪ generated");
155     for (int tt = 0; tt < Time.Count; tt++)
156     {
157         if (Time[tt] == t)
158         {
159             var arr = GetElem(x, y, z);
160             if (arr is null) return (0.0D, 0.0D, 0.0D);
161             var elem = ConvertGlobalToLocalNumeration(arr);
162             double[] q = new double[12];
163             for (int i = 0; i < 12; i++)
164                 q[i] = E[tt][elem[i]];
165             double x0 = ribsArr[elem[0]].a.X;
166             double x1 = ribsArr[elem[0]].b.X;
167             double y0 = ribsArr[elem[4]].a.Y;
168             double y1 = ribsArr[elem[4]].b.Y;
169             double z0 = ribsArr[elem[8]].a.Z;
170             double z1 = ribsArr[elem[8]].b.Z;
171             double eps = (x - x0) / (x1 - x0);
172             double nu = (y - y0) / (y1 - y0);
173             double khi = (z - z0) / (z1 - z0);
174             var ans = BasisFunctions3DVec.GetValue(eps, nu, khi, q);
175             foreach (var solution in additionalFields)
176             {
177                 var arrCurr = solution.GetElem(x, y, z);
178                 if (arrCurr is null) continue;
179                 var elemCurr = ConvertGlobalToLocalNumeration(arrCurr);
180                 double[] qCurr = new double[12];
181                 for (int ii = 0; ii < 12; ii++)
182                     qCurr[ii] = solution.E[tt][elemCurr[ii]];
183                 double x0Curr = solution.ribsArr[elemCurr[0]].a.X;
184                 double x1Curr = solution.ribsArr[elemCurr[0]].b.X;
185                 double y0Curr = solution.ribsArr[elemCurr[4]].a.Y;
186                 double y1Curr = solution.ribsArr[elemCurr[4]].b.Y;
187                 double z0Curr = solution.ribsArr[elemCurr[8]].a.Z;
188                 double z1Curr = solution.ribsArr[elemCurr[8]].b.Z;
189                 double epsCurr = (x - x0Curr) / (x1Curr - x0Curr);
190                 double nuCurr = (y - y0Curr) / (y1Curr - y0Curr);
191                 double khiCurr = (z - z0Curr) / (z1Curr - z0Curr);
192                 var ansCurr = BasisFunctions3DVec.GetValue(epsCurr, nuCurr, khiCurr,
193                 ↪ qCurr);
194                 ans.Item1 += ansCurr.Item1;
195                 ans.Item2 += ansCurr.Item2;
196                 ans.Item3 += ansCurr.Item3;
197             }
198             return ans;
199         }
200     }
201     throw new Exception("Out of mesh borders");
202 }
203
204 public (double, double, double) GetBAAt(double x, double y, double z, double t)
205 {
206     if (ribsArr is null) throw new ArgumentNullException("Array of ribs not
207     ↪ generated");
208     for (int tt = 0; tt < Time.Count; tt++)
209     {
210         if (Time[tt] == t)
211         {
212             var arr = GetElem(x, y, z);
213             if (arr is null) return (0.0D, 0.0D, 0.0D);
214             var elem = ConvertGlobalToLocalNumeration(arr);
215             double[] q = new double[12];
216             for (int i = 0; i < 12; i++)
217                 q[i] = B[tt][elem[i]];
218             double x0 = ribsArr[elem[0]].a.X;
219             double x1 = ribsArr[elem[0]].b.X;

```

```

214         double y0 = ribsArr[elem[4]].a.Y;
215         double y1 = ribsArr[elem[4]].b.Y;
216         double z0 = ribsArr[elem[8]].a.Z;
217         double z1 = ribsArr[elem[8]].b.Z;
218         double eps = (x - x0) / (x1 - x0);
219         double nu = (y - y0) / (y1 - y0);
220         double khi = (z - z0) / (z1 - z0);
221         var ans = BasisFunctions3DVec.GetValue(eps, nu, khi, q);
222         foreach (var solution in additionalFields)
223         {
224             var arrCurr = solution.GetElem(x, y, z);
225             if (arrCurr is null) continue;
226             var elemCurr = ConvertGlobalToLocalNumeration(arrCurr);
227             double[] qCurr = new double[12];
228             for (int ii = 0; ii < 12; ii++)
229                 qCurr[ii] = solution.B[tt][elemCurr[ii]];
230             double x0Curr = solution.ribsArr[elemCurr[0]].a.X;
231             double x1Curr = solution.ribsArr[elemCurr[0]].b.X;
232             double y0Curr = solution.ribsArr[elemCurr[4]].a.Y;
233             double y1Curr = solution.ribsArr[elemCurr[4]].b.Y;
234             double z0Curr = solution.ribsArr[elemCurr[8]].a.Z;
235             double z1Curr = solution.ribsArr[elemCurr[8]].b.Z;
236             double epsCurr = (x - x0Curr) / (x1Curr - x0Curr);
237             double nuCurr = (y - y0Curr) / (y1Curr - y0Curr);
238             double khiCurr = (z - z0Curr) / (z1Curr - z0Curr);
239             var ansCurr = BasisFunctions3DVec.GetValue(epsCurr, nuCurr, khiCurr,
240                 ↪ qCurr);
241             ans.Item1 += ansCurr.Item1;
242             ans.Item2 += ansCurr.Item2;
243             ans.Item3 += ansCurr.Item3;
244         }
245         return ans;
246     }
247     throw new Exception("Out of mesh borders");
248 }
249 public (double, double, double) GetHAt(double x, double y, double z, double t)
250 {
251     if (ribsArr is null) throw new ArgumentNullException("Array of ribs not
252         ↪ generated");
253     for (int tt = 0; tt < Time.Count; tt++)
254         if (Time[tt] == t)
255         {
256             var arr = GetElem(x, y, z);
257             if (arr is null) return (0.0D, 0.0D, 0.0D);
258             var elem = ConvertGlobalToLocalNumeration(arr);
259             double[] q = new double[12];
260             for (int i = 0; i < 12; i++)
261                 q[i] = H[tt][elem[i]];
262             double x0 = ribsArr[elem[0]].a.X;
263             double x1 = ribsArr[elem[0]].b.X;
264             double y0 = ribsArr[elem[4]].a.Y;
265             double y1 = ribsArr[elem[4]].b.Y;
266             double z0 = ribsArr[elem[8]].a.Z;
267             double z1 = ribsArr[elem[8]].b.Z;
268             double eps = (x - x0) / (x1 - x0);
269             double nu = (y - y0) / (y1 - y0);
270             double khi = (z - z0) / (z1 - z0);
271             var ans = BasisFunctions3DVec.GetValue(eps, nu, khi, q);
272             foreach (var solution in additionalFields)
273             {
274                 var arrCurr = solution.GetElem(x, y, z);
275                 if (arrCurr is null) continue;
276                 var elemCurr = ConvertGlobalToLocalNumeration(arrCurr);
277                 double[] qCurr = new double[12];
278                 for (int ii = 0; ii < 12; ii++)
279                     qCurr[ii] = solution.H[tt][elemCurr[ii]];
280                 double x0Curr = solution.ribsArr[elemCurr[0]].a.X;
281                 double x1Curr = solution.ribsArr[elemCurr[0]].b.X;
282                 double y0Curr = solution.ribsArr[elemCurr[4]].a.Y;
283                 double y1Curr = solution.ribsArr[elemCurr[4]].b.Y;
284                 double z0Curr = solution.ribsArr[elemCurr[8]].a.Z;
285                 double z1Curr = solution.ribsArr[elemCurr[8]].b.Z;
286                 double epsCurr = (x - x0Curr) / (x1Curr - x0Curr);
287                 double nuCurr = (y - y0Curr) / (y1Curr - y0Curr);

```

```

287         double khiCurr = (z - z0Curr) / (z1Curr - z0Curr);
288         var ansCurr = BasisFunctions3DVec.GetValue(epsCurr, nuCurr, khiCurr,
289             ↪ qCurr);
289         ans.Item1 += ansCurr.Item1;
290         ans.Item2 += ansCurr.Item2;
291         ans.Item3 += ansCurr.Item3;
292     }
293     return ans;
294 }
295 throw new Exception("Out of mesh borders");
296 }
297
298 // B = rot A
299 public void GenerateVectorB()
300 {
301     if (A is []) throw new Exception("Vector B isn't generated");
302     if (ribsArr is null) throw new Exception("Array of ribs isn't generated");
303     B = new(A.Count);
304     for (int t = 0; t < Time.Count; t++)
305     {
306         B.Add(new GlobalVector(ribsArr.Count));
307         for (int i = 0; i < A[t].Size; i++)
308         {
309             double ht = Math.Pow(10, -10);
310             var pnt = ribsArr[i].GetMiddlePoint();
311             var tan = ribsArr[i].GetTangent();
312             var vec1 = GetAAAt(pnt.X, pnt.Y, pnt.Z + ht, Time[t]);
313             var vec2 = GetAAAt(pnt.X, pnt.Y, pnt.Z - ht, Time[t]);
314             var Bx = -1.0D * (vec1.Item2 - vec2.Item2) / (2.0D * ht);
315             vec1 = GetAAAt(pnt.X, pnt.Y, pnt.Z + ht, Time[t]);
316             vec2 = GetAAAt(pnt.X, pnt.Y, pnt.Z - ht, Time[t]);
317             var By = (vec1.Item1 - vec2.Item1) / (2.0D * ht);
318             vec1 = GetAAAt(pnt.X + ht, pnt.Y, pnt.Z, Time[t]);
319             vec2 = GetAAAt(pnt.X - ht, pnt.Y, pnt.Z, Time[t]);
320             var Bz1 = (vec1.Item2 - vec2.Item2) / (2.0D * ht);
321             vec1 = GetAAAt(pnt.X, pnt.Y + ht, pnt.Z, Time[t]);
322             vec2 = GetAAAt(pnt.X, pnt.Y - ht, pnt.Z, Time[t]);
323             var Bz2 = (vec1.Item1 - vec2.Item1) / (2.0D * ht);
324             B[t][i] = Bx * tan.Item1 + By * tan.Item2 + (Bz1 - Bz2) * tan.Item3;
325         }
326     }
327 }
328
329 // H = B / mu_0
330 public void GenerateVectorH()
331 {
332     if (B is []) throw new Exception("Vector B isn't generated");
333     H = new(B.Count);
334     for (int t = 0; t < B.Count; t++)
335     {
336         H.Add(new GlobalVector(B[t].Size));
337         for (int i = 0; i < B[i].Size; i++)
338             H[t][i] = B[t][i] / mu0;
339     }
340 }
341
342 // E = - dA / dt
343 public void GenerateVectorE()
344 {
345     E = new(A.Count);
346     for (int i = 0; i < A.Count; i++)
347     {
348         if (i == 0)
349             E.Add(new GlobalVector(A[1].Size));
350         else
351         {
352             if (A[i - 1].Size == 0) A[i - 1] = new GlobalVector(ribsArr.Count);
353             if (A[i].Size == 0) A[i] = new GlobalVector(ribsArr.Count);
354             E.Add(-1.0D / (Time[i] - Time[i - 1]) * (A[i] - A[i - 1]));
355         }
356     }
357 }
358
359 public void AddSolution(FEM3D fem) => additionalFields.Add(fem);
360

```

```

361 public List<int>? GetElem(double x, double y, double z)
362 {
363     if (x < mesh3Dim.nodesX[0] || mesh3Dim.nodesX[^1] < x ||
364         y < mesh3Dim.nodesY[0] || mesh3Dim.nodesY[^1] < y ||
365         z < mesh3Dim.nodesZ[0] || mesh3Dim.nodesZ[^1] < z)
366         return null;
367     int i = 0;
368     for (; i < mesh3Dim.nodesX.Count - 1; i++)
369         if (mesh3Dim.nodesX[i] <= x && x <= mesh3Dim.nodesX[i + 1])
370             break;
371     int j = 0;
372     for (; j < mesh3Dim.nodesY.Count - 1; j++)
373         if (mesh3Dim.nodesY[j] <= y && y <= mesh3Dim.nodesY[j + 1])
374             break;
375     int k = 0;
376     for (; k < mesh3Dim.nodesZ.Count - 1; k++)
377         if (mesh3Dim.nodesZ[k] <= z && z <= mesh3Dim.nodesZ[k + 1])
378             break;
379     return elemsArr[k * (mesh3Dim.nodesX.Count - 1) * (mesh3Dim.nodesY.Count - 1) + j
        ↪ * (mesh3Dim.nodesX.Count - 1) + i].Arr;
380 }
381
382 public void ConvertResultTo3Dim(FEM2D fem2d)
383 {
384     if (fem2d.pointsArr is null) throw new ArgumentNullException();
385     if (ribsArr is null) throw new ArgumentNullException();
386     for (int i = 0; i < Time.Count; i++)
387     {
388         A.Add(new GlobalVector(ribsArr.Count));
389         E.Add(new GlobalVector(ribsArr.Count));
390         for (int j = 0; j < ribsArr.Count; j++)
391         {
392             var X = 0.5D * (ribsArr[j].a.X + ribsArr[j].b.X);
393             var Y = 0.5D * (ribsArr[j].a.Y + ribsArr[j].b.Y);
394             var Z = 0.5D * (ribsArr[j].a.Z + ribsArr[j].b.Z);
395             var antinormal = ((ribsArr[j].b.X - ribsArr[j].a.X) / ribsArr[j].Length,
396                             ↪ (ribsArr[j].b.Y - ribsArr[j].a.Y) / ribsArr[j].Length,
397                             ↪ (ribsArr[j].b.Z - ribsArr[j].a.Z) / ribsArr[j].Length);
398             double fa = 0.0;
399             double fe = 0.0;
400             var elem = fem2d.GetElem(Math.Sqrt(X * X + Y * Y), Z);
401             if (elem is not null)
402             {
403                 fa = BasisFunctions2D.GetValue(
404                     fem2d.A_phi[i][elem[0]], fem2d.A_phi[i][elem[1]],
405                     fem2d.A_phi[i][elem[2]], fem2d.A_phi[i][elem[3]],
406                     ↪ fem2d.pointsArr[elem[0]].R,
407                     ↪ fem2d.pointsArr[elem[1]].R,
408                     ↪ fem2d.pointsArr[elem[0]].Z,
409                     ↪ fem2d.pointsArr[elem[3]].Z,
410                     ↪ Math.Sqrt(X * X + Y * Y), Z);
411                 fe = BasisFunctions2D.GetValue(
412                     fem2d.E_phi[i][elem[0]], fem2d.E_phi[i][elem[1]],
413                     fem2d.E_phi[i][elem[2]], fem2d.E_phi[i][elem[3]],
414                     ↪ fem2d.pointsArr[elem[0]].R,
415                     ↪ fem2d.pointsArr[elem[1]].R,
416                     ↪ fem2d.pointsArr[elem[0]].Z,
417                     ↪ fem2d.pointsArr[elem[3]].Z,
418                     ↪ Math.Sqrt(X * X + Y * Y), Z);
419             }
420             var Ax = X == 0 && Y == 0 ? 0.0D : -1.0D * (Y / Math.Sqrt(X * X + Y * Y))
421                 ↪ * fa;
422             var Ay = X == 0 && Y == 0 ? 0.0D : X / Math.Sqrt(X * X + Y * Y) * fa;
423             var Az = 0.0D;
424             var Ex = X == 0 && Y == 0 ? 0.0D : -1.0D * (Y / Math.Sqrt(X * X + Y *
425                 ↪ Y)) * fe;
426             var Ey = X == 0 && Y == 0 ? 0.0D : X / Math.Sqrt(X * X + Y * Y) * fe;
427             var Ez = 0.0D;
428             A[i][j] = Ax * antinormal.Item1 + Ay * antinormal.Item2 + Az *
429                 ↪ antinormal.Item3;
430             E[i][j] = Ex * antinormal.Item1 + Ey * antinormal.Item2 + Ez *
431                 ↪ antinormal.Item3;
432         }
433     }
434 }
435
436 }

```

```

427
428 public void CheckSolution(List<Point3D> receivers)
429 {
430     using var sw = new StreamWriter("C:\\Users\\USER\\Desktop\\Test.txt");
431     GenerateVectorB();
432     GenerateVectorH();
433     for (int t = 0; t < Time.Count - 1; t++)
434     {
435         sw.WriteLine($"Time: {Time[t]}:E15");
436         foreach (var receiver in receivers)
437         {
438             var Bat = GetBAT(receiver.X, receiver.Y, receiver.Z, Time[t]);
439             var BAT_1 = GetBAT(receiver.X, receiver.Y, receiver.Z, Time[t + 1]);
440             var dBdt = ((BAT_1.Item1 - BAT.Item1) / (Time[t + 1] - Time[t]),
441                         (BAT_1.Item2 - BAT.Item2) / (Time[t + 1] - Time[t]),
442                         (BAT_1.Item3 - BAT.Item3) / (Time[t + 1] - Time[t]));
443
444             var Ex_1 = GetEAT(receiver.X - 1E-10, receiver.Y, receiver.Z, Time[t]);
445             var Ex_2 = GetEAT(receiver.X + 1E-10, receiver.Y, receiver.Z, Time[t]);
446             var Ey_1 = GetEAT(receiver.X, receiver.Y - 1E-10, receiver.Z, Time[t]);
447             var Ey_2 = GetEAT(receiver.X, receiver.Y + 1E-10, receiver.Z, Time[t]);
448             var Ez_1 = GetEAT(receiver.X, receiver.Y, receiver.Z - 1E-10, Time[t]);
449             var Ez_2 = GetEAT(receiver.X, receiver.Y, receiver.Z + 1E-10, Time[t]);
450             var rotE = ((Ey_2.Item3 - Ey_1.Item3) / (2.0 * 1E-10) - (Ez_2.Item2 -
451                         ↪ Ez_1.Item2) / (2.0 * 1E-10),
452                         -1.0D * ((Ex_2.Item3 - Ex_1.Item3) / (2.0 * 1E-10) - (Ez_2.Item1 -
453                         ↪ Ez_1.Item1) / (2.0 * 1E-10)),
454                         (Ex_2.Item2 - Ex_1.Item2) / (2.0 * 1E-10) - (Ey_2.Item1 -
455                         ↪ Ey_1.Item1) / (2.0 * 1E-10));
456             sw.WriteLine($"receiver: ({receiver.X:E15}, {receiver.Y:E15},
457                         ↪ {receiver.Z:E15})");
458             sw.WriteLine($"rot E: ({rotE.Item1:E15}, {rotE.Item2:E15},
459                         ↪ {rotE.Item3:E15})");
460             sw.WriteLine($"dBdt: ({dBdt.Item1:E15}, {dBdt.Item2:E15},
461                         ↪ {dBdt.Item3:E15})");
462             sw.WriteLine($"discep.: ({Math.Abs(rotE.Item1 - dBdt.Item1):E15},
463                         ↪ {Math.Abs(rotE.Item2 - dBdt.Item2):E15}, {Math.Abs(rotE.Item3 -
464                         ↪ dBdt.Item3):E15})");
465         }
466         sw.WriteLine();
467     }
468     sw.Close();
469 }
470
471 public void ConstructMatrixes()
472 {
473     if (ribsArr is null) throw new ArgumentNullException("ribsArr is null");
474     var sparseMatrix = new GlobalMatrix(ribsArr.Count);
475     Generator.BuildPortait(ref sparseMatrix, ribsArr.Count, elemsArr, true);
476     G = new GlobalMatrix(sparseMatrix);
477     Generator.FillMatrixG(ref G, ribsArr, elemsArr);
478     M = new GlobalMatrix(sparseMatrix);
479     Generator.FillMatrixM(ref M, ribsArr, elemsArr, mesh3Dim, _originalFEM.mesh3Dim);
480 }
481
482 public void Solve()
483 {
484     if (solver is null) throw new ArgumentNullException("Solver is null");
485     if (ribsArr is null) throw new ArgumentNullException("ribs array is null");
486     if (_originalFEM is null) throw new ArgumentNullException("original E is null");
487     if (G is null) throw new ArgumentNullException();
488     if (M is null) throw new ArgumentNullException();
489     Stopwatch solutionStopwatch = new();
490     solutionStopwatch.Start();
491     Solutions = new GlobalVector[Time.Count];
492     Discrepancy = new GlobalVector[Time.Count];
493     (Solutions[0], Discrepancy[0]) = (new GlobalVector(ribsArr.Count), new
494     ↪ GlobalVector(ribsArr.Count));
495     if (Time.Count > 1)
496     {
497         (Solutions[1], Discrepancy[1]) = (Solutions[0], Discrepancy[0]);
498         for (int i = 1; i < Time.Count; i++)
499         {
500             Console.WriteLine($"\\n {i} / {Time.Count - 1}. Time layer: {Time[i]}");
501         }
502     }
503 }

```

```

491         Thread.Sleep(1500);
492
493         double delT = Time[i] - Time[i - 2];
494         double delT0 = Time[i] - Time[i - 1];
495         double delT1 = Time[i - 1] - Time[i - 2];
496         double tau0 = (delT + delT0) / (delT * delT0);
497         double tau1 = delT / (delT1 * delT0);
498         double tau2 = delT0 / (delT * delT1);
499         double delT = Time[i] - Time[i - 1];
500         double tau = 1.0D / delT;
501         Matrix = G + tau0 * M;
502         var b = new GlobalVector(ribsArr.Count);
503         Generator.FillVector3D(ref b, _originalFEM.GetEAt, ribsArr, elemsArr,
504             ↪ mesh3Dim, _originalFEM.mesh3Dim, Time[i]);
505         Vector = b + (tau1 * (M * Solutions[i - 1])) - (tau2 * (M * Solutions[i -
506             ↪ 2]));
507         Generator.ConsiderBoundaryConditions(ref Matrix, ref Vector, ribsArr,
508             ↪ bordersArr, Time[i]);
509         var localStopWatch = Stopwatch.StartNew();
510         (Solutions[i], Discrepancy[i]) = solver.Solve(Matrix, Vector);
511         localStopWatch.Stop();
512         var localMS = localStopWatch.ElapsedMilliseconds;
513         Console.WriteLine($"Current iteration for {localMS / 60000} min {(localMS
514             ↪ % 60000) / 1000} sec");
515     }
516 }
517
518 A = [... Solutions];
519 solutionStopwatch.Stop();
520 var milseconds = solutionStopwatch.ElapsedMilliseconds;
521 Console.WriteLine($"Lin eq solved for {milseconds / 60000} min {(milseconds %
522     ↪ 60000) / 1000} sec");
523 }
524
525 public void WriteData(string path)
526 {
527     if (Solutions is null) throw new ArgumentNullException("No solutions");
528     for (int t = 0; t < Time.Count; t++)
529     {
530         using var sw = new StreamWriter(path + $"Answer_{Time[t]}.txt");
531         for (int i = 0; i < A[t].Size; i++)
532             sw.WriteLine($"{i} {A[t][i]:E8}");
533         sw.Close();
534     }
535 }
536
537 public void WriteDrawingForFirst(string path)
538 {
539     double hx = (50000.0D) / 300.0D;
540     double hy = (25000.0D) / 300.0D;
541     double hz = (mesh3Dim.nodesZ[1] - mesh3Dim.nodesZ[0]) / 300.0D;
542
543     for (int t = 0; t < Time.Count; t++)
544     {
545         using var swe = new StreamWriter(path + $"E\\Answer_E_time_layer_{t}.txt");
546         for (int k = 0; k < 300; k++)
547         {
548             for (int i = 0; i < 300; i++)
549             {
550                 double zCurr = mesh3Dim.nodesZ[0] + k * hz;
551                 double xCurr = 0.0D + i * hx;
552                 double yCurr = 0.0D + i * hy;
553                 var vec = GetEAt(xCurr, yCurr, zCurr, Time[t]);
554                 var ans = Math.Sqrt(vec.Item1 * vec.Item1 + vec.Item2 * vec.Item2);
555                 var rCurr = Math.Sqrt(xCurr * xCurr + yCurr * yCurr);
556                 swe.WriteLine($"{rCurr:E15} {zCurr:E15} {ans:E15}");
557             }
558         }
559         swe.Close();
560     }
561 }
562
563 public void WriteDrawingForSecond(string path)
564 {
565     double hx = (50000.0D) / 300.0D;
566     double hy = -1.0D * (12500.0D) / 300.0D;

```



```

561     double hz = (mesh3Dim.nodesZ[1] - mesh3Dim.nodesZ[0]) / 300.0D;
562     for (int t = 0; t < Time.Count; t++)
563     {
564         using var swe = new StreamWriter(path + $"E\\Answer_E_time_layer_{t}.txt");
565         for (int k = 0; k < 300; k++)
566         {
567             for (int i = 0; i < 300; i++)
568             {
569                 double zCurr = mesh3Dim.nodesZ[0] + k * hz;
570                 double xCurr = 0.0D + i * hx;
571                 double yCurr = 0.0D + i * hy;
572                 var vec = GetEAt(xCurr, yCurr, zCurr, Time[t]);
573                 var ans = Math.Sqrt(vec.Item1 * vec.Item1 + vec.Item2 * vec.Item2 +
574                                     ↪ vec.Item3 * vec.Item3);
575                 var rCurr = Math.Sqrt(xCurr * xCurr + yCurr * yCurr);
576                 swe.WriteLine($"{rCurr:E15} {zCurr:E15} {ans:E15}");
577             }
578             swe.Close();
579         }
580     }
581     public void WriteDataToDraw2DimSolution(string path)
582     {
583         double hx = (25500.0D) / 300.0D;
584         double hy = (25500.0D) / 300.0D;
585         double hz = (mesh3Dim.nodesZ[1] - mesh3Dim.nodesZ[0]) / 300.0D;
586         for (int t = 0; t < Time.Count; t++)
587         {
588             using var swe = new StreamWriter(path + $"E\\Answer_E_time_layer_{t}.txt");
589             for (int k = 0; k < 300; k++)
590             {
591                 for (int i = 0; i < 300; i++)
592                 {
593                     double zCurr = mesh3Dim.nodesZ[0] + k * hz;
594                     double xCurr = 0.0D + i * hx;
595                     double yCurr = 0.0D + i * hy;
596                     var vec = GetEAt(xCurr, yCurr, zCurr, Time[t]);
597                     var ans = Math.Sqrt(vec.Item1 * vec.Item1 + vec.Item2 * vec.Item2 +
598                                         ↪ vec.Item3 * vec.Item3);
599                     var rCurr = Math.Sqrt(xCurr * xCurr + yCurr * yCurr);
600                     swe.WriteLine($"{rCurr:E15} {zCurr:E15} {ans:E15}");
601                 }
602             }
603             swe.Close();
604         }
605     }
606     public void WriteDataAtLine(string path)
607     {
608         double x0 = -1177.5;
609         double hy = (mesh3Dim.nodesY[1] - mesh3Dim.nodesY[0]) / 300.0D;
610         double z0 = -1050.0D;
611         List<double> times = [Time[0], Time[Time.Count / 2], Time[1]];
612         for (int t = 0; t < times.Count; t++)
613         {
614             using var swa = new StreamWriter(path + $"A_With_anomaly_{times[t]}.txt");
615             for (int i = 0; i < 300; i++)
616             {
617                 double xCurr = x0;
618                 double yCurr = mesh3Dim.nodesY[0] + i * hy;
619                 double zCurr = z0;
620                 var vec = GetAAt(xCurr, yCurr, zCurr, times[t]);
621                 var ans = vec.Item1;
622                 swa.WriteLine($"{yCurr:E15} {ans:E15}");
623             }
624             swa.Close();
625         }
626         for (int t = 0; t < times.Count; t++)
627         {
628             using var swe = new StreamWriter(path + $"E_With_anomaly_{times[t]}.txt");
629             for (int i = 0; i < 300; i++)
630             {
631                 double xCurr = x0;
632                 double yCurr = mesh3Dim.nodesY[0] + i * hy;
633                 double zCurr = z0;
634

```

```

635         var vec = GetEAt(xCurr, yCurr, zCurr, times[t]);
636         var ans = vec.Item1;
637         swe.WriteLine($"{yCurr:E15} {ans:E15}");
638     }
639     swe.Close();
640 }
641 }
642
643 public void WriteDataToDraw(string path)
644 {
645     double hx = (mesh3Dim.nodesX[^1] - mesh3Dim.nodesX[0]) / 10.0D;
646     double hy = (mesh3Dim.nodesY[^1] - mesh3Dim.nodesY[0]) / 10.0D;
647     double hz = (mesh3Dim.nodesZ[^1] - mesh3Dim.nodesZ[0]) / 10.0D;
648     double x0 = mesh3Dim.nodesX[0];
649     double y0 = mesh3Dim.nodesY[0];
650     double z0 = mesh3Dim.nodesZ[0];
651     List<Point3D> points = [];
652     int i = 0;
653     int j = 0;
654     int k = 0;
655     while (z0 + hz * k <= mesh3Dim.nodesZ[^1])
656     {
657         j = 0;
658         while (y0 + hy * j <= mesh3Dim.nodesY[^1])
659         {
660             i = 0;
661             while (x0 + hx * i <= mesh3Dim.nodesX[^1])
662             {
663                 points.Add(new Point3D(x0 + i * hx, y0 + j * hy, z0 + k * hz));
664                 i++;
665             }
666             j++;
667         }
668         k++;
669     }
670     for (int t = 0; t < Time.Count; t++)
671     {
672         using var sw = new StreamWriter(path + $"Answer{t}.txt");
673         sw.WriteLine($"{mesh3Dim.nodesX[0]:E15} {mesh3Dim.nodesX[^1]:E15}
        ↳ {mesh3Dim.nodesY[0]:E15} {mesh3Dim.nodesY[^1]:E15}
        ↳ {mesh3Dim.nodesZ[0]:E15} {mesh3Dim.nodesZ[^1]:E15}");
674         foreach (var point in points)
675         {
676             var ans = GetEAt(point.X, point.Y, point.Z, Time[t]);
677             sw.WriteLine($"{point.X:E15} {point.Y:E15} {point.Z:E15} {ans.Item1:E15}
        ↳ {ans.Item2:E15} {ans.Item3:E15}");
678         }
679         sw.Close();
680     }
681 }
682
683 public void ReadData(string AnswerPath)
684 {
685     A = new(Time.Count);
686     string file = string.Empty;
687     for (int t = 0; t < Time.Count; t++)
688     {
689         file = $"Answer_{Time[t]}.txt";
690         var fileData = File.ReadAllText(AnswerPath + file).Split("\n");
691         A.Add(new GlobalVector(fileData.Length - 1));
692         for (int i = 0; i < fileData.Length - 1; i++)
693         {
694             var val = fileData[i].Split(" ")[1];
695             A[t][i] = double.Parse(val);
696         }
697     }
698 }
699
700 public void TestOutput(string path)
701 {
702     using var sw = new StreamWriter(path + "/A_phi/Answer3D/Answer_Test.txt");
703     var absDiscX = 0.0D;
704     var absDiscY = 0.0D;
705     var absDiscZ = 0.0D;
706     var absDivX = 0.0D;
707     var absDivY = 0.0D;

```

```

708     var absDivZ = 0.0D;
709     var relDiscX = 0.0D;
710     var relDiscY = 0.0D;
711     var relDiscZ = 0.0D;
712     var relDivX = 0.0D;
713     var relDivY = 0.0D;
714     var relDivZ = 0.0D;
715     int iter = 0;
716     foreach (Elem elem in elemsArr)
717     {
718         int[] elem_local = [elem[0], elem[3], elem[8], elem[11],
719                             elem[1], elem[2], elem[9], elem[10],
720                             elem[4], elem[5], elem[6], elem[7]];
721         var x = 0.5D * (ribsArr[elem_local[0]].a.X + ribsArr[elem_local[0]].b.X);
722         var y = 0.5D * (ribsArr[elem_local[4]].a.Y + ribsArr[elem_local[4]].b.Y);
723         var z = 0.5D * (ribsArr[elem_local[8]].a.Z + ribsArr[elem_local[8]].b.Z);
724         sw.WriteLine($"Points {x:E15} {y:E15} {z:E15}");
725         var eps = (x - ribsArr[elem_local[0]].a.X) / (ribsArr[elem_local[0]].b.X -
726             ↪ ribsArr[elem_local[0]].a.X);
727         var nu = (y - ribsArr[elem_local[4]].a.Y) / (ribsArr[elem_local[4]].b.Y -
728             ↪ ribsArr[elem_local[4]].a.Y);
729         var khi = (z - ribsArr[elem_local[8]].a.Z) / (ribsArr[elem_local[8]].b.Z -
730             ↪ ribsArr[elem_local[8]].a.Z);
731         double[] q = [Solutions[0][elem_local[0]], Solutions[0][elem_local[1]],
732             ↪ Solutions[0][elem_local[2]], Solutions[0][elem_local[3]],
733             ↪ Solutions[0][elem_local[4]], Solutions[0][elem_local[5]],
734             ↪ Solutions[0][elem_local[6]], Solutions[0][elem_local[7]],
735             ↪ Solutions[0][elem_local[8]], Solutions[0][elem_local[9]],
736             ↪ Solutions[0][elem_local[10]], Solutions[0][elem_local[11]]];
737         var ans = BasisFunctions3DVec.GetValue(eps, nu, khi, q);
738         var theorValue = Function.A(x, y, z, 0.0D);
739         sw.WriteLine($"FEM A {ans.Item1:E15} {ans.Item2:E15} {ans.Item3:E15}");
740         sw.WriteLine($"Theor {theorValue.Item1:E15} {theorValue.Item2:E15}
741             ↪ {theorValue.Item3:E15}");
742         var currAbsDiscX = Math.Abs(ans.Item1 - theorValue.Item1);
743         var currAbsDiscY = Math.Abs(ans.Item2 - theorValue.Item2);
744         var currAbsDiscZ = Math.Abs(ans.Item3 - theorValue.Item3);
745         var currRelDiscX = currAbsDiscX / Math.Abs(theorValue.Item1);
746         var currRelDiscY = currAbsDiscY / Math.Abs(theorValue.Item2);
747         var currRelDiscZ = currAbsDiscZ / Math.Abs(theorValue.Item3);
748         sw.WriteLine($"CurrAD {currAbsDiscX:E15} {currAbsDiscY:E15}
749             ↪ {currAbsDiscZ:E15}");
750         sw.WriteLine($"CurrRD {currRelDiscX:E15} {currRelDiscY:E15}
751             ↪ {currRelDiscZ:E15}\n");
752         absDiscX += currAbsDiscX;
753         absDiscY += currAbsDiscY;
754         absDiscZ += currAbsDiscZ;
755         absDivX += theorValue.Item1;
756         absDivY += theorValue.Item2;
757         absDivZ += theorValue.Item3;
758         relDiscX += currRelDiscX * currRelDiscX;
759         relDiscY += currRelDiscY * currRelDiscY;
760         relDiscZ += currRelDiscZ * currRelDiscZ;
761         relDivX += theorValue.Item1 * theorValue.Item1;
762         relDivY += theorValue.Item2 * theorValue.Item2;
763         relDivZ += theorValue.Item3 * theorValue.Item3;
764         iter++;
765     }
766     sw.WriteLine($"Avg disc: {absDiscX / iter:E15} {absDiscY / iter:E15} {absDiscZ /
767         ↪ iter:E15}");
768     sw.WriteLine($"Rel disc: {Math.Sqrt(relDiscX / relDivX):E15} {Math.Sqrt(relDiscY /
769         ↪ relDivY):E15} {Math.Sqrt(relDiscZ / relDivZ):E15}");
770     sw.Close();
771 }
772
773 public void MeasureValuesOnReceiversWithoutNormal(List<Point3D> receivers, string
774     ↪ OutputPath)
775 {
776     using var sw_e = new StreamWriter(OutputPath + "E.txt");
777     for (int t = 0; t < Time.Count; t++)
778     {
779         var a_e = AdditioanalGetEAt(receivers[0].X, receivers[0].Y, receivers[0].Z,
780             ↪ Time[t]);
781         var b_e = AdditioanalGetEAt(receivers[1].X, receivers[1].Y, receivers[1].Z,
782             ↪ Time[t]);
783     }
784 }

```

```

769         var c_e = AdditioanalGetEAt(recivers[2].X, recivers[2].Y, recivers[2].Z,
770             ↪ Time[t]);
771         var d_e = AdditioanalGetEAt(recivers[3].X, recivers[3].Y, recivers[3].Z,
772             ↪ Time[t]);
773         var f_a_e = Math.Sqrt(a_e.Item1 * a_e.Item1 + a_e.Item2 * a_e.Item2 +
774             ↪ a_e.Item3 * a_e.Item3);
775         var f_b_e = Math.Sqrt(b_e.Item1 * b_e.Item1 + b_e.Item2 * b_e.Item2 +
776             ↪ b_e.Item3 * b_e.Item3);
777         var f_c_e = Math.Sqrt(c_e.Item1 * c_e.Item1 + c_e.Item2 * c_e.Item2 +
778             ↪ c_e.Item3 * c_e.Item3);
779         var f_d_e = Math.Sqrt(d_e.Item1 * d_e.Item1 + d_e.Item2 * d_e.Item2 +
780             ↪ d_e.Item3 * d_e.Item3);
781         sw_e.WriteLine($"{Time[t]} {f_a_e} {f_b_e} {f_c_e} {f_d_e}");
782     }
783     sw_e.Close();
784 }
785
786 public void MeasureValuesOnReceivers(List<Point3D> recivers, string OutputPath)
787 {
788     using var sw_a = new StreamWriter(OutputPath + "A.txt");
789     using var sw_e = new StreamWriter(OutputPath + "E.txt");
790     for (int t = 0; t < Time.Count; t++)
791     {
792         var a_a = GetAAt(recivers[0].X, recivers[0].Y, recivers[0].Z, Time[t]);
793         var b_a = GetAAt(recivers[1].X, recivers[1].Y, recivers[1].Z, Time[t]);
794         var c_a = GetAAt(recivers[2].X, recivers[2].Y, recivers[2].Z, Time[t]);
795         var d_a = GetAAt(recivers[3].X, recivers[3].Y, recivers[3].Z, Time[t]);
796         var f_a_a = Math.Sqrt(a_a.Item1 * a_a.Item1 + a_a.Item2 * a_a.Item2 +
797             ↪ a_a.Item3 * a_a.Item3);
798         var f_b_a = Math.Sqrt(b_a.Item1 * b_a.Item1 + b_a.Item2 * b_a.Item2 +
799             ↪ b_a.Item3 * b_a.Item3);
800         var f_c_a = Math.Sqrt(c_a.Item1 * c_a.Item1 + c_a.Item2 * c_a.Item2 +
801             ↪ c_a.Item3 * c_a.Item3);
802         var f_d_a = Math.Sqrt(d_a.Item1 * d_a.Item1 + d_a.Item2 * d_a.Item2 +
803             ↪ d_a.Item3 * d_a.Item3);
804         var a_e = GetEAt(recivers[0].X, recivers[0].Y, recivers[0].Z, Time[t]);
805         var b_e = GetEAt(recivers[1].X, recivers[1].Y, recivers[1].Z, Time[t]);
806         var c_e = GetEAt(recivers[2].X, recivers[2].Y, recivers[2].Z, Time[t]);
807         var d_e = GetEAt(recivers[3].X, recivers[3].Y, recivers[3].Z, Time[t]);
808         var f_a_e = Math.Sqrt(a_e.Item1 * a_e.Item1 + a_e.Item2 * a_e.Item2 +
809             ↪ a_e.Item3 * a_e.Item3);
810         var f_b_e = Math.Sqrt(b_e.Item1 * b_e.Item1 + b_e.Item2 * b_e.Item2 +
811             ↪ b_e.Item3 * b_e.Item3);
812         var f_c_e = Math.Sqrt(c_e.Item1 * c_e.Item1 + c_e.Item2 * c_e.Item2 +
813             ↪ c_e.Item3 * c_e.Item3);
814         var f_d_e = Math.Sqrt(d_e.Item1 * d_e.Item1 + d_e.Item2 * d_e.Item2 +
815             ↪ d_e.Item3 * d_e.Item3);
816         sw_a.WriteLine($"{Time[t]} {f_a_a} {f_b_a} {f_c_a} {f_d_a}");
817         sw_e.WriteLine($"{Time[t]} {f_a_e} {f_b_e} {f_c_e} {f_d_e}");
818     }
819     sw_a.Close();
820     sw_e.Close();
821 }
822 }

```

## Mesh.cs

```

1  using DataStructs;
2
3  namespace Grid;
4
5  public abstract class Mesh(List<Elem> elems) : ICloneable
6  {
7      public abstract int ElemsAmount { get; set; }
8      internal int bordersAmount;
9      public List<Elem> Elems = elems;
10     public abstract int NodesAmountTotal { get; }
11     public abstract object Clone();
12 }

```

## Mesh2Dim.cs

```
1 using System.Collections.Immutable;
2 using DataStructs;
3
4 namespace Grid;
5
6 public class Mesh2Dim(List<double> nodesR, string infoAboutR,
7                      List<double> nodesZ, string infoAboutZ,
8                      List<Elem> elems, double lastR) : Mesh(elems)
9 {
10     public override int NodesAmountTotal => NodesAmountR * NodesAmountZ;
11     public List<double> nodesR = [.. nodesR, lastR];
12     public List<double> nodesZ = nodesZ;
13     public override int ElemsAmount
14     {
15         get => (NodesAmountR - 1) * (NodesAmountZ - 1);
16         set => ElemsAmount = value;
17     }
18     public int NodesAmountR => nodesR.Count;
19     public int NodesAmountZ => nodesZ.Count;
20     public List<int> NodesR_Refs = [0];
21     public List<int> NodesZ_Refs = [0];
22     internal ImmutableArray<double> NodesRWithoutFragmentation { get; set; } = [..
23     ↪ nodesR, lastR];
24     public ImmutableArray<double> NodesZWithoutFragmentation { get; set; } = [.. nodesZ];
25     internal string infoAboutR = infoAboutR;
26     internal string infoAboutZ = infoAboutZ;
27     internal List<Border2D> borders = [];
28     public void SetLastR(double val)
29     {
30         int i = 1;
31         if (val <= nodesR[^i])
32         {
33             while (val < nodesR[^i]) i++;
34             nodesR[^i] = val;
35             nodesR = nodesR.Take(i + 1).ToList();
36         }
37         else
38             nodesR.Add(val);
39     }
40     public void SetBorders(List<Border3D> borders3D)
41     {
42         // Set lower border.
43         borders.Add(new Border2D(borders3D[0].BorderType, borders3D[0].BorderFormula,
44                                0, NodesRWithoutFragmentation.Length - 1, 0, 0));
45         // Set left border.
46         borders.Add(new Border2D(borders3D[1].BorderType, borders3D[1].BorderFormula,
47                                0, 0, 0, NodesZWithoutFragmentation.Length - 1));
48         // Set right border.
49         borders.Add(new Border2D(borders3D[3].BorderType, borders3D[3].BorderFormula,
50                                NodesRWithoutFragmentation.Length - 1,
51                                NodesRWithoutFragmentation.Length - 1,
52                                0, NodesZWithoutFragmentation.Length - 1));
53         // Set upper border.
54         borders.Add(new Border2D(borders3D[^1].BorderType, borders3D[^1].BorderFormula,
55                                0, NodesRWithoutFragmentation.Length - 1,
56                                NodesZWithoutFragmentation.Length - 1,
57                                NodesZWithoutFragmentation.Length - 1));
58     }
59     public override Mesh2Dim Clone() => (Mesh2Dim)MemberwiseClone();
60 }
61
```

## Mesh3Dim.cs

```
1 using System.Collections.Immutable;
2 using DataStructs;
3
4 namespace Grid;
5
```

```

6 public class Mesh3Dim(List<double> nodesX, string infoAboutX,
7                       List<double> nodesY, string infoAboutY,
8                       List<double> nodesZ, string infoAboutZ,
9                       List<Elem> elems, List<Border3D> borders) : Mesh(elems)
10 {
11     public override int NodesAmountTotal
12     {
13         get => NodesAmountX * NodesAmountY * NodesAmountZ;
14     }
15
16     public override int ElemsAmount
17     {
18         get => (NodesAmountX - 1) * (NodesAmountY - 1) * (NodesAmountZ - 1);
19         set => ElemsAmount = value;
20     }
21
22     public int NodesAmountX => nodesX.Count;
23     public int NodesAmountY => nodesY.Count;
24     public int NodesAmountZ => nodesZ.Count;
25     public List<double> nodesX = nodesX;
26     public List<double> nodesY = nodesY;
27     public List<double> nodesZ = nodesZ;
28     public void CommitFieldBorders(List<int> ints) => FieldBorders = ints;
29     public void CommitAnomalyBorders(List<int> ints) => AnomalyBorders = ints;
30     public void CommitSecondAnomalyBorders(List<int> ints) => SecondAnomaly = ints;
31     public List<int> FieldBorders = [];
32     public List<int> AnomalyBorders = [];
33     public List<int> SecondAnomaly = [];
34     internal ImmutableArray<double> NodesXWithoutFragmentation { get; set; } = [..
35         ↪ nodesX];
36     internal ImmutableArray<double> NodesYWithoutFragmentation { get; set; } = [..
37         ↪ nodesY];
38     public ImmutableArray<double> NodesZWithoutFragmentation { get; set; } = [.. nodesZ];
39     internal string infoAboutX = infoAboutX;
40     internal string infoAboutY = infoAboutY;
41     internal string infoAboutZ = infoAboutZ;
42     public List<int> NodesXRefs = [0];
43     public List<int> NodesYRefs = [0];
44     public List<int> NodesZRefs = [0];
45     public List<Border3D> borders = borders;
46     public ArrayOfRibs? arrayOfRibs;
47     public override Mesh3Dim Clone() => (Mesh3Dim)MemberwiseClone();
48 }

```

## LocalMatrix3D.cs

```

1 namespace MathObjects;
2
3 public class LocalMatrixG3D (double mu, double hx, double hy, double hz) : Matrix
4 {
5     private readonly double _mu = mu;
6     private readonly double _hx = hx;
7     private readonly double _hy = hy;
8     private readonly double _hz = hz;
9     private readonly double[,] G1 = {{ 2.0D, 1.0D, -2.0D, -1.0D},
10                                     { 1.0D, 2.0D, -1.0D, -2.0D},
11                                     {-2.0D, -1.0D, 2.0D, 1.0D},
12                                     {-1.0D, -2.0D, 1.0D, 2.0D}};
13     private readonly double[,] G2 = {{ 2.0D, -2.0D, 1.0D, -1.0D},
14                                     {-2.0D, 2.0D, -1.0D, 1.0D},
15                                     { 1.0D, -1.0D, 2.0D, -2.0D},
16                                     {-1.0D, 1.0D, -2.0D, 2.0D}};
17     private readonly double[,] G3 = {{-2.0D, 2.0D, -1.0D, 1.0D},
18                                     {-1.0D, 1.0D, -2.0D, 2.0D},
19                                     { 2.0D, -2.0D, 1.0D, -1.0D},
20                                     { 1.0D, -1.0D, 2.0D, -2.0D}};
21
22     public override double this[int i, int j]
23     {
24         get
25         {
26             return (i / 4, j / 4)
27             switch

```

```

28     {
29         (0, 0) => (_hx * _hy / (6.0D * _hz) * G1[i % 4, j % 4] + _hx * _hz /
30             ↪ (6.0D * _hy) * G2[i % 4, j % 4]) / _mu,
31         (0, 1) or (1, 0) => -1.0D * (_hz / 6.0D) * G2[i % 4, j % 4] / _mu,
32         (0, 2) => _hy / 6.0D * G3[i % 4, j % 4] / _mu,
33         (1, 1) => (_hx * _hy / (6.0D * _hz) * G1[i % 4, j % 4] + _hy * _hz /
34             ↪ (6.0D * _hx) * G2[i % 4, j % 4]) / _mu,
35         (1, 2) or (2, 1) => -1.0D * _hx / 6.0D * G1[i % 4, j % 4] / _mu,
36         (2, 0) => _hy / 6.0D * G3[j % 4, i % 4] / _mu,
37         (2, 2) => (_hx * _hz / (6.0D * _hy) * G1[i % 4, j % 4] + _hy * _hz /
38             ↪ (6.0D * _hx) * G2[i % 4, j % 4]) / _mu,
39         _ => throw new ArgumentOutOfRangeException("Out of local matrix 3d
40             ↪ range"),
41     };
42 }
43 set{}
44 }
45 }
46
47 public class LocalMatrixM3D(double gamma, double hx, double hy, double hz) : Matrix
48 {
49     private readonly double _gamma = gamma;
50     private readonly double _hx = hx;
51     private readonly double _hy = hy;
52     private readonly double _hz = hz;
53     private readonly double[,] D = {{4.0D, 2.0D, 2.0D, 1.0D},
54                                     {2.0D, 4.0D, 1.0D, 2.0D},
55                                     {2.0D, 1.0D, 4.0D, 2.0D},
56                                     {1.0D, 2.0D, 2.0D, 4.0D}};
57
58     public override double this[int i, int j]
59     {
60         get
61         {
62             return (i / 4, j / 4)
63             switch
64             {
65                 (0, 0) or (1, 1) or (2, 2) => _gamma * _hx * _hy * _hz / 36.0D * D[i % 4,
66                     ↪ j % 4],
67                 (0, 1) or (0, 2) or (1, 0) or (1, 2) or (2, 0) or (2, 1) => 0.0D,
68                 _ => throw new ArgumentOutOfRangeException("Out of local matrix 3d
69                     ↪ range"),
70             };
71         }
72         set
73         {}
74     }
75 }

```

## LocalVector3D.cs

```

1  using static Functions.Function;
2
3  namespace MathObjects;
4
5
6  public class LocalVector3D(Egetter egetter, double x0, double x1, double y0, double y1,
7      ↪ double z0, double z1, double t) : Vector
8  {
9      private readonly double x0 = x0;
10     private readonly double x1 = x1;
11     private readonly double y0 = y0;
12     private readonly double y1 = y1;
13     private readonly double z0 = z0;
14     private readonly double z1 = z1;
15     private readonly double xm = 0.5D * (x1 + x0);
16     private readonly double ym = 0.5D * (y1 + y0);
17     private readonly double zm = 0.5D * (z1 + z0);
18     private readonly double t = t;
19
20     private readonly LocalMatrixM3D M = new(1.0, x1 - x0, y1 - y0, z1 - z0);
21     private readonly Egetter _egetter = egetter;

```

```

22 public override double this[int i]
23 {
24     get
25     {
26         static double ScalarMult((double, double, double) a, (double, double, double)
           ↪ b)
27         => a.Item1 * b.Item1 + a.Item2 * b.Item2 + a.Item3 * b.Item3;
28         List<double> vect = [
29             ScalarMult(_egetter(xm, y0, z0, t), (1.0D, 0.0D, 0.0D)),
30             ScalarMult(_egetter(xm, y1, z0, t), (1.0D, 0.0D, 0.0D)),
31             ScalarMult(_egetter(xm, y0, z1, t), (1.0D, 0.0D, 0.0D)),
32             ScalarMult(_egetter(xm, y1, z1, t), (1.0D, 0.0D, 0.0D)),
33             ScalarMult(_egetter(x0, ym, z0, t), (0.0D, 1.0D, 0.0D)),
34             ScalarMult(_egetter(x1, ym, z0, t), (0.0D, 1.0D, 0.0D)),
35             ScalarMult(_egetter(x0, ym, z1, t), (0.0D, 1.0D, 0.0D)),
36             ScalarMult(_egetter(x1, ym, z1, t), (0.0D, 1.0D, 0.0D)),
37             ScalarMult(_egetter(x0, y0, zm, t), (0.0D, 0.0D, 1.0D)),
38             ScalarMult(_egetter(x1, y0, zm, t), (0.0D, 0.0D, 1.0D)),
39             ScalarMult(_egetter(x0, y1, zm, t), (0.0D, 0.0D, 1.0D)),
40             ScalarMult(_egetter(x1, y1, zm, t), (0.0D, 0.0D, 1.0D))
41         ];
42         double ans = 0.0D;
43         for (int j = 0; j < vect.Count; j++)
44             ans += M[i, j] * vect[j];
45         return ans;
46     }
47 }
48 }

```

## MathOperations.cs

```

1 using System.Threading.Tasks;
2
3 namespace MathObjects;
4
5 public static class MathOperations
6 {
7     public static GlobalVector Diff(GlobalVector gv1, GlobalVector gv2)
8     {
9         if (gv1.Size != gv2.Size)
10             throw new Exception("Найти разность векторов не возможно, т.к. они имеют
           ↪ разные размеры.");
11
12         GlobalVector gv = new(gv1.Size);
13         for (int i = 0; i < gv.Size; i++)
14             gv[i] = gv1[i] - gv2[i];
15
16         return gv;
17     }
18
19     public static GlobalVector DiffPar(GlobalVector gv1, GlobalVector gv2)
20     {
21         if (gv1.Size != gv2.Size)
22             throw new Exception("Найти разность векторов не возможно, т.к. они имеют
           ↪ разные размеры.");
23         GlobalVector gv = new(gv1.Size);
24         Parallel.For(0, gv1.Size, i => {
25             gv[i] = gv1[i] - gv2[i];
26         });
27         return gv;
28     }
29
30     public static GlobalVector Sum(GlobalVector gv1, GlobalVector gv2)
31     {
32         if (gv1.Size != gv2.Size)
33             throw new Exception("Найти разность векторов не возможно, т.к. они имеют
           ↪ разные размеры.");
34
35         GlobalVector gv = new(gv1.Size);
36         for (int i = 0; i < gv.Size; i++)
37             gv[i] = gv1[i] + gv2[i];
38

```



```

39     return gv;
40 }
41
42 public static GlobalVector SumPar(GlobalVector gv1, GlobalVector gv2)
43 {
44     if (gv1.Size != gv2.Size)
45         throw new Exception("Найти разность векторов не возможно, т.к. они имеют
46             ↪ разные размеры.");
47
48     GlobalVector gv = new(gv1.Size);
49     Parallel.For(0, gv1.Size, i => {
50         gv[i] = gv1[i] + gv2[i];
51     });
52     return gv;
53 }
54
55 public static GlobalVector Multiply(double a, GlobalVector gv)
56 {
57     GlobalVector _gv = new(gv.Size);
58     for (int i = 0; i < gv.Size; i++)
59         _gv[i] = a * gv[i];
60     return _gv;
61 }
62
63 public static GlobalVector MultiplyPar(double a, GlobalVector gv)
64 {
65     GlobalVector _gv = new(gv.Size);
66     Parallel.For(0, gv.Size, i => {
67         _gv[i] = a * gv[i];
68     });
69     return _gv;
70 }
71
72 public static double Multiply(GlobalVector gv1, GlobalVector gv2)
73 {
74     if (gv1.Size != gv2.Size) throw new Exception("Невозможно найти скалярное
75         ↪ умножение векторов, из-за разности в размерах.");
76     double ans = 0.0D;
77     for (int i = 0; i < gv1.Size; i++)
78         ans += gv1[i] * gv2[i];
79     return ans;
80 }
81
82 public static double MultiplyPar(GlobalVector gv1, GlobalVector gv2)
83 {
84     if (gv1.Size != gv2.Size) throw new Exception("Невозможно найти скалярное
85         ↪ умножение векторов, из-за разности в размерах.");
86     double ans = 0.0D;
87     Parallel.For(0, gv1.Size, i => {
88         ans = gv1[i] * gv2[i];
89     });
90     return ans;
91 }
92
93 public static GlobalVector Multiply(GlobalMatrix _gm, GlobalVector _gv)
94 {
95     if (_gm.Size != _gv.Size)
96         throw new Exception("Невозможно перемножить матрицу на вектор.");
97     GlobalVector ans = new(_gv.Size);
98
99     for (int i = 0; i < _gv.Size; i++)
100     {
101         for (int j = 0; j < _gm._ig[i + 1] - _gm._ig[i]; j++)
102         {
103             ans[i] += _gm._al[_gm._ig[i] + j] * _gv[_gm._jg[_gm._ig[i] + j]];
104             ans[_gm._jg[_gm._ig[i] + j]] += _gm._au[_gm._ig[i] + j] * _gv[i];
105         }
106         ans[i] += _gm._diag[i] * _gv[i];
107     }
108     return ans;
109 }
110
111 public static GlobalVector CustomMultiply(GlobalMatrix _gm, GlobalVector _gv)
112 {
113     if (_gm.Size != _gv.Size)

```

```

112         throw new Exception("Невозможно перемножить матрицу на вектор.");
113     GlobalVector ans = new(_gv.Size);
114
115     for (int i = 0; i < _gv.Size; i++)
116     {
117         for (int j = _gm._ig[i]; j < _gm._ig[i + 1]; j++)
118         {
119             ans[i] += _gm._al[j] * _gv[_gm._jg[j]];
120             ans[_gm._jg[j]] += _gm._au[j] * _gv[i];
121         }
122         ans[i] += _gm._diag[i] * _gv[i];
123     }
124     return ans;
125 }
126
127
128 public static GlobalVector MultiplyPar(GlobalMatrix _gm, GlobalVector _gv)
129 {
130     if (_gm.Size != _gv.Size)
131         throw new Exception("Невозможно перемножить матрицу на вектор.");
132     GlobalVector ans = new(_gv.Size);
133
134     for (int i = 0; i < _gv.Size; i++)
135     {
136         Parallel.For(0, _gm._ig[i + 1] - _gm._ig[i], j => {
137             ans[i] += _gm._al[_gm._ig[i] + j] * _gv[_gm._jg[_gm._ig[i] + j]];
138         });
139         Parallel.For(0, _gm._ig[i + 1] - _gm._ig[i], j => {
140             ans[_gm._jg[_gm._ig[i] + j]] += _gm._au[_gm._ig[i] + j] * _gv[i];
141         });
142         ans[i] += _gm._diag[i] * _gv[i];
143     }
144     return ans;
145 }
146
147
148 public static GlobalMatrix Multiply(double a, GlobalMatrix gm)
149 {
150     var ans = new GlobalMatrix(gm);
151     for (int i = 0; i < ans.Size; i++)
152     {
153         for (int j = 0; j < ans._ig[i + 1] - ans._ig[i]; j++)
154         {
155             ans._al[ans._ig[i] + j] *= a;
156             ans._au[ans._ig[i] + j] *= a;
157         }
158         ans._diag[i] *= a;
159     }
160     return ans;
161 }
162
163
164 public static GlobalMatrix MultiplyPar(double a, GlobalMatrix gm)
165 {
166     var ans = new GlobalMatrix(gm);
167     Parallel.For(0, ans.Size, i => {
168         for (int j = 0; j < ans._ig[i + 1] - ans._ig[i]; j++)
169         {
170             ans._al[ans._ig[i] + j] *= a;
171             ans._au[ans._ig[i] + j] *= a;
172         }
173         ans._diag[i] *= a;
174     });
175     return ans;
176 }
177
178
179 public static GlobalMatrix Sum(GlobalMatrix gm1, GlobalMatrix gm2)
180 {
181     if (!gm1.CheckPortrait(gm2)) throw new ArgumentException("Different matrixes
182     ⇨ portrait!");
183     GlobalMatrix ans = new(gm1);
184     for (int i = 0; i < ans.Size; i++)
185     {
186         for (int j = 0; j < ans._ig[i + 1] - ans._ig[i]; j++)

```

```

187         ans._al[ans._ig[i] + j] += gm2._al[gm2._ig[i] + j];
188         ans._au[ans._ig[i] + j] += gm2._au[gm2._ig[i] + j];
189     }
190     ans._diag[i] += gm2._diag[i];
191 }
192 return ans;
193 }
194
195
196 public static GlobalMatrix SumPar(GlobalMatrix gm1, GlobalMatrix gm2)
197 {
198     if (!gm1.CheckPortrait(gm2)) throw new ArgumentException("Different matrixes
199     ↪ portrait!");
200     GlobalMatrix ans = new(gm1);
201     Parallel.For(0, ans.Size, i => {
202         for (int j = 0; j < ans._ig[i + 1] - ans._ig[i]; j++)
203         {
204             ans._al[ans._ig[i] + j] += gm2._al[gm2._ig[i] + j];
205             ans._au[ans._ig[i] + j] += gm2._au[gm2._ig[i] + j];
206         }
207         ans._diag[i] += gm2._diag[i];
208     });
209     return ans;
210 }
211 }

```

## LULOS.cs

```

1 public class LU_LOS(int maxIter = 100_000, double eps = 1E-15) : ISolver
2 {
3     private int _maxIter = maxIter;
4     private double _eps = eps;
5
6     private static void PartitialLU(GlobalMatrix A)
7     {
8         for (int i = 0; i < A.Size; i++)
9         {
10             for (int j = A._ig[i]; j < A._ig[i + 1]; j++)
11             {
12                 int jCol = A._jg[j];
13                 int jk = A._ig[jCol];
14                 int k = A._ig[i];
15                 int sdvig = A._jg[A._ig[i]] - A._jg[A._ig[jCol]];
16                 if (sdvig > 0) jk += sdvig;
17                 else k -= sdvig;
18                 double sumL = 0.0;
19                 double sumU = 0.0;
20                 for (; k < j && jk < A._ig[jCol + 1]; k++, jk++)
21                 {
22                     sumL += A._al[k] * A._au[jk];
23                     sumU += A._au[k] * A._al[jk];
24                 }
25                 A._al[j] -= sumL;
26                 A._au[j] -= sumU;
27                 A._au[j] /= A._diag[jCol];
28             }
29             double sumD = 0.0;
30             for (int j = A._ig[i]; j < A._ig[i + 1]; j++)
31                 sumD += A._al[j] * A._au[j];
32             A._diag[i] -= sumD;
33         }
34     }
35
36     private static GlobalVector Forward(GlobalMatrix Matrix, GlobalVector b)
37     {
38         var result = new GlobalVector(b);
39         for (int i = 0; i < Matrix.Size; i++)
40         {
41             for (int j = Matrix._ig[i]; j < Matrix._ig[i + 1]; j++)
42                 result[i] -= Matrix._al[j] * result[Matrix._jg[j]];
43             result[i] /= Matrix._diag[i];

```

```

44     }
45     return result;
46 }
47
48 private static GlobalVector Backward(GlobalMatrix A, GlobalVector b)
49 {
50     var result = new GlobalVector(b);
51     for (int i = A.Size - 1; i >= 0; i--)
52         for (int j = A._ig[i + 1] - 1; j >= A._ig[i]; j--)
53             result[A._jg[j]] -= A._au[j] * result[i];
54     return result;
55 }
56
57 public (GlobalVector, GlobalVector) Solve(GlobalMatrix A, GlobalVector b)
58 {
59     GlobalVector x = new(b.Size);
60     GlobalVector x_ = new(b.Size);
61     GlobalMatrix LU = new(A);
62     PartititalLU(LU);
63     GlobalVector r = Forward(LU, b - A * x);
64     var r0 = new GlobalVector(r);
65     GlobalVector z = Backward(LU, r);
66     GlobalVector p = Forward(LU, A * z);
67     GlobalVector tmp = new(b.Size);
68     GlobalVector r_ = new(b.Size);
69     GlobalVector z_ = new(b.Size);
70     GlobalVector p_ = new(b.Size);
71     double alph = 0.0D;
72     double beta = 0.0D;
73     int iter = 0;
74     do
75     {
76         x_ = x;
77         z_ = z;
78         r_ = r;
79         p_ = p;
80         alph = (p_ * r_) / (p_ * p_);
81         x = x_ + alph * z_;
82         r = r_ - alph * p_;
83         tmp = Forward(LU, A * Backward(LU, r));
84         beta = -1.0D * (p_ * tmp) / (p_ * p_);
85         z = Backward(LU, r) + beta * z_;
86         p = tmp + beta * p_;
87         iter++;
88         if (iter % 10 == 0)
89             Console.WriteLine($"{(r.Norma() * r.Norma()) / (r0.Norma() *
90                 ↪ r0.Norma()):E15}");
91     } while (iter < _maxIter && (r.Norma() * r.Norma()) / (r0.Norma() * r0.Norma())
92         ↪ >= _eps * _eps);
93     Console.WriteLine(
94         $"@Computing finished!
95         Total iterations: {iter}
96         Relative residuality: {r.Norma() / b.Norma():E15}");
97     return (x, x_);
98 }

```